



TECHNISCHE
UNIVERSITÄT
WIEN
Vienna University of Technology

BACHELORARBEIT

Stabile Implementierung der Randelementmethode auf anisotrop verfeinerten Gittern in 3D

Ausgeführt am Institut für
Analysis und Scientific Computing
der Technischen Universität Wien

unter der Anleitung von
Ao.Univ.Prof. Dr. Dirk Praetorius
Dr. Michael Karkulik
Dipl.-Ing. Michael Feischl

durch
Peter Matthias Schaefer
e0825843@student.tuwien.ac.at
Volkertplatz 6/7
1020 Wien

Inhaltsverzeichnis

1	Einleitung	4
2	Randelementemethode	5
2.1	Galerkin-Verfahren	5
2.2	Netze	6
2.3	Verfeinern	8
3	Analytische und Semi-analytische Berechnung	10
3.1	Interpolation	10
3.2	Gauss-Quadratur	11
3.3	Volle Quadratur	12
3.4	Quadratur über ein Element	17
4	Analytische Berechnung	23
4.1	Integral über zwei Elemente	24
4.2	Bestimmtes Integral	25
5	Fastreguläre Partionierung in MATLAB	27
5.1	Datenstruktur	27
5.2	Verfeinern	27
5.3	Berechnung der A Matrix	29
5.4	Beispielnetz mit Verfeinerung	30
6	Numerische Experimente	33
6.1	Fehlerschätzer	33
6.2	Markieren	34
6.3	Adaptivität	35
6.4	Beispiel Quadrat-Schirm	35
6.4.1	Vergleich verschiedener Verfeinerungsstrategien	35
6.4.2	Vergleich verschiedener Quadraturgrade	38
6.4.3	Vergleich verschiedener Berechnungsarten	39
6.5	Beispiel Figuera Würfel	40
A	Anhang Code	43
A.1	C++	43
A.1.1	mex_build_V.cpp	43
A.1.2	slpRectangle.hpp	51
A.1.3	slpRectangle.cpp	52
A.1.4	gauss.hpp	62
A.2	Matlab	62
A.2.1	compute.m	62
A.2.2	refineQuad.m	67
A.2.3	mark.m	74
	Literatur	75

1 Einleitung

In dieser Arbeit beschäftigen wir uns mit der Randelementemethode für die homogene Laplace-Gleichung mit Dirichlet-Randbedingungen

$$\begin{aligned} -\Delta u &= 0 & \text{in } \Omega \subset \mathbb{R}^3, \\ u &= g & \text{auf } \Gamma := \partial\Omega, \end{aligned} \tag{1.1}$$

wobei $\Delta u := \partial_x^2 u + \partial_y^2 u + \partial_z^2 u$ den Laplace-Operator bezeichnet und $\Omega \subset \mathbb{R}^3$ eine beschränkte Teilmenge von \mathbb{R}^3 mit Lipschitz-Rand Γ ist.

In Abschnitt 2 stellen wir die Randelementemethode für die homogene Laplace-Gleichung mit Dirichlet-Randbedingungen vor. Dabei verwenden wir den indirekten Ansatz, um anschließend mithilfe des Galerkin-Verfahrens die Gleichung zu lösen. An dieser Stelle werden wir auch kurz die Parametrisierung des Randes vorstellen. Wir werden im Folgenden den Rand in affine achsenorientierte Rechtecke T zerlegen, das heißt, die Punkte in einem Rechteck liegen in einer zu den Achsen des Koordinatensystems parallelen Ebene.

In Abschnitt 3 werden wir uns mit der approximativen Berechnung des Doppelintegrals

$$\int_{T_j} \int_{T_k} \kappa(\mathbf{x}, \mathbf{y}) ds_{\mathbf{y}} ds_{\mathbf{x}} \tag{1.2}$$

beschäftigen. $\kappa(\mathbf{x}, \mathbf{y})$ sei hierbei eine asymptotisch glatte Kernfunktion. Speziell interessieren wir uns hierbei für die asymptotisch glatte Funktion $\kappa(\mathbf{x}, \mathbf{y}) = |\mathbf{x} - \mathbf{y}|^{-1}$. Ziel wird es sein, das äußere Integral durch eine Gauss-Quadratur zu ersetzen. Unter bestimmten Zulässigkeitsbedingungen werden wir zeigen, dass der Quadraturfehler exponentiell schnell gegen 0 konvergiert. Weiterhin betrachten wir die in Abschnitt 2 auftretende Matrix $A \in \mathbb{R}^{n \times n}$, deren Einträge A_{jk} durch (1.2) bestimmt werden. Wir werden eine approximative Matrix A_p aufstellen, welche das durch Quadratur approximierte Integral für die zulässigen Einträge und für alle anderen das exakte Integral verwendet. Hiermit können wir dann zeigen, dass die approximative Matrix A_p in der Frobenius-Norm exponentiell schnell gegen A konvergiert.

In Abschnitt 4 fassen wir kurz zusammen, wie wir das Doppelintegral in einfache Integrale zerlegen und anschließend voll analytisch berechnen können. Hierzu werden wir uns weitgehend an [4] orientieren.

Abschließend werden wir kurz die numerische Umsetzung der Techniken vorstellen und anhand von numerischen Beispielen vergleichen. Hierbei wird uns die voll analytische und approximative Berechnung sowie die adaptive und uniforme Netzverfeinerung besonders interessieren.

2 Randelementemethode

An dieser Stelle betrachten wir die homogene Laplace-Gleichung mit Dirichlet-Randbedingungen

$$\begin{aligned} -\Delta u &= 0 & \text{in } \Omega \subset \mathbb{R}^3, \\ u &= g & \text{auf } \Gamma := \partial\Omega, \end{aligned} \tag{2.1}$$

wobei $\Delta u := \partial_x^2 u + \partial_y^2 u + \partial_z^2 u$ den Laplace-Operator bezeichnet und Ω eine beschränkte Teilmenge von \mathbb{R}^3 mit Lipschitz-Rand ist.

2.1 Galerkin-Verfahren

Die Fundamentallösung des Laplace-Operators [7, Kapitel 5.1] ist für $\Omega \subset \mathbb{R}^3$ gegeben durch

$$G(\mathbf{z}) := \frac{1}{4\pi|\mathbf{z}|}.$$

Weiterhin ist das Einfachschichtpotential \tilde{V} gegeben durch

$$\tilde{V}\phi(\mathbf{x}) := \int_{\Gamma} G(\mathbf{x} - \mathbf{y})\phi(\mathbf{y})ds_{\mathbf{y}} \quad \text{für } \mathbf{x} \in \Omega.$$

Das Integral ist hier als Oberflächenintegral zu verstehen. Mit γ_0 bezeichnen wir den Spuroperator, der für $C^\infty(\bar{\Omega})$ Funktionen über

$$\gamma_0 u = u|_{\Gamma}$$

definiert ist und durch stetige Fortsetzung zu einem Operator $\gamma_0 \in L(H^1(\Omega), H^{1/2}(\Gamma))$ wird. In der schwachen Formulierung lautet die Laplace-Gleichung

$$\begin{aligned} -\Delta u &= 0 & \text{in } H^{-1}(\Omega), \\ \gamma_0 u &= g & \text{auf } H^{1/2}(\Gamma). \end{aligned}$$

Gemäß [7, Kapitel 6.2 und 6.3] kann \tilde{V} auch als Operator $\tilde{V} \in L(H^{-1/2}(\Gamma), H^1(\Omega))$ aufgefasst werden und es gilt

$$-\Delta \tilde{V}\phi = 0 \in H^{-1}(\Omega) \quad \text{für alle } \phi \in H^{-1/2}(\Gamma)$$

Insbesondere ist auch die Spur

$$\gamma_0 \tilde{V} \in L(H^{-1/2}(\Gamma), H^{1/2}(\Gamma))$$

wohldefiniert. Wir machen nun einen indirekten Ansatz $u = \tilde{V}\phi$, wodurch

$$V\phi = g \tag{2.2}$$

mit $V := \gamma_0 \tilde{V}$ gilt. Ziel ist es nun, aus (2.2) eine Funktion ϕ zu bestimmen, die die obige Gleichung erfüllt. Dann ist $\tilde{V}\phi$ die Lösung des Problems (2.1).

Da wir das Problem (2.2) im Allgemeinen nicht exakt lösen können, werden wir es mithilfe des Galerkin-Verfahrens näherungsweise lösen. Die Idee dabei ist, $H^{-1/2}(\Gamma)$ durch einen endlich dimensionalen Unterraum zu ersetzen.

Bezeichne nun $\langle \cdot, \cdot \rangle$ das erweiterte L^2 -Skalarprodukt, so existiert, da das Einfachschichtpotential V ein symmetrischer und elliptischer Isomorphismus ist, auf $\tilde{H}^{-1/2}$ ein äquivalentes Skalarprodukt $\langle\langle \cdot, \cdot \rangle\rangle$ mit $\langle\langle \phi, \psi \rangle\rangle := \langle V\phi, \psi \rangle$ und der induzierten Norm $\|\cdot\|$. Sei nun ϕ die eindeutige Lösung von (2.2) und bezeichne g die Dirichlet-Daten am Rand. Dann gilt

$$\langle\langle \phi, \psi \rangle\rangle = \langle g, \psi \rangle \quad \text{für alle } \psi \in \tilde{H}^{-1/2}. \quad (2.3)$$

Sei nun $\mathcal{T}_\ell = \{T_1, T_2, \dots, T_N\}$ eine Partition des Randes Γ in N Randstücke mit den charakteristischen Funktionen

$$\chi_i(\mathbf{x}) = \begin{cases} 1 & \text{für alle } \mathbf{x} \in T_i \\ 0 & \text{sonst} \end{cases} \quad \text{für alle } i \in \{1, 2, \dots, N\}$$

und sei $P^0(\mathcal{T}_\ell) := \text{span}\{\chi_i : i = 1, \dots, N\}$ der aufgespannte Teilraum von $\tilde{H}^{-1/2}(\Gamma)$. Wir suchen also die Lösung $\phi_\ell \in P^0(\mathcal{T}_\ell)$ für

$$\langle\langle \phi_\ell, \psi_\ell \rangle\rangle = \langle f, \psi_\ell \rangle \quad \text{für alle } \psi_\ell \in P^0(\mathcal{T}_\ell),$$

was aufgrund der Basiseigenschaft von χ_i und dem Lemma von Lax-Milgram eindeutig und äquivalent ist zu

$$\langle\langle \phi_\ell, \chi_j \rangle\rangle = \langle f, \chi_j \rangle \quad \text{für alle } j \in \{1, 2, \dots, N\}. \quad (2.4)$$

Dadurch können wir das Problem als Summe anschreiben

$$\sum_{j=1}^N x_{\ell,j} \langle\langle \chi_j, \chi_i \rangle\rangle = \langle g, \chi_i \rangle,$$

wobei $\mathbf{x}_\ell = \{x_{\ell,1}, x_{\ell,2}, \dots, x_{\ell,N}\}$ der Koordinatenvektor von ϕ_ℓ zur Basis χ_1, \dots, χ_N ist. So schreiben wir

$$\mathbf{V} \mathbf{x}_\ell = \mathbf{g}_\ell, \quad (2.5)$$

mit $\mathbf{V} = (\langle\langle \chi_j, \chi_i \rangle\rangle)_{ij}$ und $\mathbf{g}_\ell = (\langle g, \chi_j \rangle)_j$. In Integralschreibweise können wir \mathbf{V} anschreiben als

$$\mathbf{V}_{ij} := \frac{1}{4\pi} \int_{T_j} \int_{T_k} \frac{1}{|\mathbf{x} - \mathbf{y}|} ds_{\mathbf{y}} ds_{\mathbf{x}}. \quad (2.6)$$

2.2 Netze

Für die Diskretisierung des Problems wollen wir nun einige Begriffe definieren. Zunächst wollen wir ein achsenorientiertes Rechteck beschreiben, dessen Seiten parallel zu den Achsen des kartesischen Koordinatensystems liegen.

Definition 2.1 Sei $\mathbf{v} \in \mathbb{R}^3$, $\mathbf{a}, \mathbf{b} \in \{(1, 0, 0)^T, (0, 1, 0)^T, (0, 0, 1)^T\}$ mit $\mathbf{a} \neq \mathbf{b}$ und $a, b \in \mathbb{R}$ mit $a, b > 0$. Dann nennen wir

$$T := \{\mathbf{v} + \lambda_1 \mathbf{a} \mathbf{a} + \lambda_2 \mathbf{b} \mathbf{b} \mid \lambda_1, \lambda_2 \in [0, 1]\}$$

achsenorientiertes Rechteck. Ferner sei

$$\gamma_T := [0, 1]^2 \rightarrow T : \lambda_1, \lambda_2 \mapsto \mathbf{v} + \lambda_1 \mathbf{a} \mathbf{a} + \lambda_2 \mathbf{b} \mathbf{b}$$

die zu T zugehörige Parametrisierung.

Bemerkung 2.2 Weiterhin werden wir die vier Eckpunkte des achsenorientierten Rechtecks, beginnend in \mathbf{v} , mit $\mathbf{k}_1, \dots, \mathbf{k}_4$, also $\mathbf{v} = \mathbf{k}_1$, bezeichnen, wobei die Menge aller Knoten des Rechtecks \mathcal{K}_T sei. Die Reihenfolge der Knoten sei dabei so gewählt, dass der Normalenvektor $\mathbf{n} = \overline{\mathbf{k}_1 \mathbf{k}_2} \times \overline{\mathbf{k}_1 \mathbf{k}_4}$ nach außen zeigt. Außerdem benennen wir die Menge der Kanten mit \mathcal{E}_T , bestehend aus den vier Kanten e_1, \dots, e_4 . In Abbildung 1 wurde ein Rechteck mit den Bezeichnungen kurz skizziert.

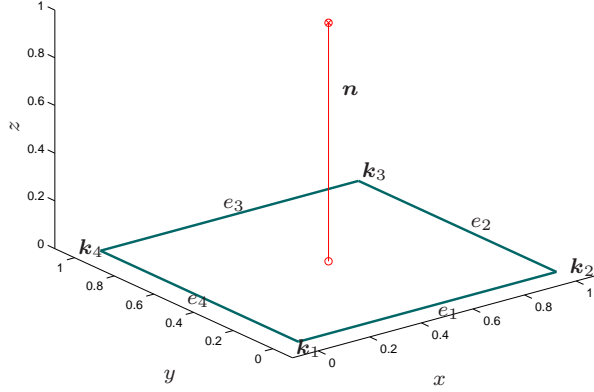


Abbildung 1: Achsenorientiertes Rechteck mit Beschriftung der Eckpunkte $\{\mathbf{k}_1, \dots, \mathbf{k}_4\}$, der Kanten $\{e_1, \dots, e_4\}$ und dem Normalenvektor \mathbf{n} entsprechend der Bemerkung 2.2.

Des Weiteren werden wir für die Berechnungen noch Aussagen über die Größe eines Elements sowie über den Abstand zweier Elemente festhalten.

Definition 2.3 Sei $a, b \in \mathbb{R}$ für T definiert wie in Definition 2.1, dann heißt

$$\mathcal{D}(T) = (a^2 + b^2)^{1/2}$$

Durchmesser von T . Weiterhin bezeichne

$$\mathcal{D}_{\mathbf{a}}(T) = a$$

die Seitenlänge des Rechtecks T in Richtung \mathbf{a} . Die Seitenlänge in Richtung \mathbf{b} definieren wir analog.

Definition 2.4 Der Abstand zweier Rechtecke T_j und T_k sei definiert durch

$$\text{dist}(T_j, T_k) = \min\{|\mathbf{x} - \mathbf{y}| \mid \mathbf{x} \in T_j, \mathbf{y} \in T_k\},$$

wobei das Minimum aufgrund der Kompaktheit von T_j, T_k angenommen wird. Weiterhin definieren wir auch den Abstand in einer bestimmten Richtung \mathbf{a} durch

$$\text{dist}_{\mathbf{a}}(T_j, T_k) = \min\{|\mathbf{a}^T \cdot (\mathbf{x} - \mathbf{y})| \mid \mathbf{x} \in T_j, \mathbf{y} \in T_k\}$$

mit dem Skalarprodukt (\cdot) und $\mathbf{a} \in \{(1, 0, 0)^T, (0, 1, 0)^T, (0, 0, 1)^T\}$.

Mit diesen Vorüberlegungen definieren wir uns die Diskretisierung des Randes Γ .

Definition 2.5 Sei $\mathcal{T}_{\ell} = \{T_1, T_2, \dots, T_N\}$ eine endliche Menge von achsenorientierten Rechtecken. Es bezeichne $\mathcal{K}_{\ell} := \bigcup_{T \in \mathcal{T}} \mathcal{K}_T$ die Menge aller Knoten von \mathcal{T}_{ℓ} und $\mathcal{E}_{\ell} := \bigcup_{T \in \mathcal{T}} \mathcal{E}_T$ die Menge aller Kanten. Wir nennen \mathcal{T}_{ℓ} eine Partition von Γ , falls

- $\bar{\Gamma} = \bigcup_{j=1}^N T_j$
- $|T_j \cap T_k| = 0$ für den Schnitt zweier Elemente $T_j, T_k \in \mathcal{T}_\ell$ mit $T_j \neq T_k$.

Hier bezeichne $|\cdot|$ das 2-dimensionale Oberflächenmaß. Weiterhin sei der Schnitt $T_j \cap T_k$ zweier Elemente $T_j, T_k \in \mathcal{T}_\ell$ mit $T_j \neq T_k$

- leer,
- oder ein gemeinsamer Knoten von T_j und T_k ,
- oder eine (nicht zwingend gemeinsame) Kante von T_j oder T_k .

Ferner liegen auf jeder Kante von \mathcal{T}_ℓ maximal 3 Knoten.

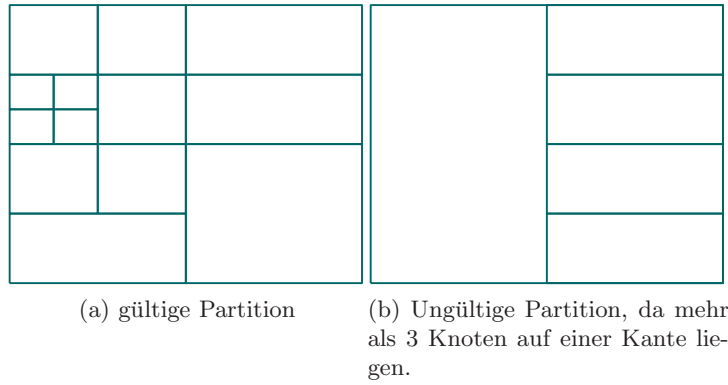


Abbildung 2: Beispiel Partitionen zur Definition 2.5

2.3 Verfeinern

Definition 2.6 (Lokale Verfeinerung) Ein Element $T \in \mathcal{T}$ wird isotrop in vier Elemente T_1, \dots, T_4 geteilt, wenn $T = \bigcup_{n=1}^4 T_n$ gilt und alle Söhne T_1, \dots, T_4 ähnlich sind zum Väterelement T . Weiterhin wird ein Element $T \in \mathcal{T}$ anisotrop in zwei Elemente T_1, T_2 geteilt, wenn ebenfalls $T = T_1 \cup T_2$ gilt und T_1, T_2 untereinander ähnlich sind. Hierbei kann T entweder horizontal oder vertikal geteilt werden, wie in Abbildung 3 gezeigt ist.

Definition 2.7 Für eine Partition \mathcal{T}_ℓ bezeichnen wir mit $\hat{\mathcal{T}}_\ell$ jene Partition die entsteht, wenn alle Elemente isotrop verfeinert werden.

Für das Verständnis des folgenden Algorithmus benötigen wir noch einige Beobachtungen:

- Sind $e, \tilde{e} \in \mathcal{E}_T$ Kanten von $T \in \mathcal{T}_\ell$ mit $e \cap \tilde{e} = \emptyset$, so liegen diese gegenüber und haben insbesondere dieselbe Länge. Falls e verfeinert werden soll, muss zwingend auch \tilde{e} verfeinert werden.
- Es bezeichnet $\mathcal{S}_\ell := \{(e, T) \mid T \in \mathcal{T}_\ell, e \in \mathcal{E}_T\}$ die Menge aller Elemente mit zugehörigen Kanten. Hierbei kann es aufgrund der maximal drei Knoten auf einer Kante vorkommen, dass eine Kante $e \in \mathcal{E}_\ell$, die im Inneren von Γ liegt, nur zu einem Element $T \in \mathcal{T}_\ell$ gehört und nicht zu zwei. In diesem Fall gibt es ein Element $\hat{T} \in \mathcal{T}_\ell$ mit Kante $\hat{e} \in \mathcal{E}_\ell$ in der e ganz enthalten ist. Sollte (e, T) verfeinert werden, so muss zwingend auch (\hat{e}, \hat{T}) verfeinert werden, damit nicht mehr als drei Knoten auf der Kante \hat{e} entstehen.

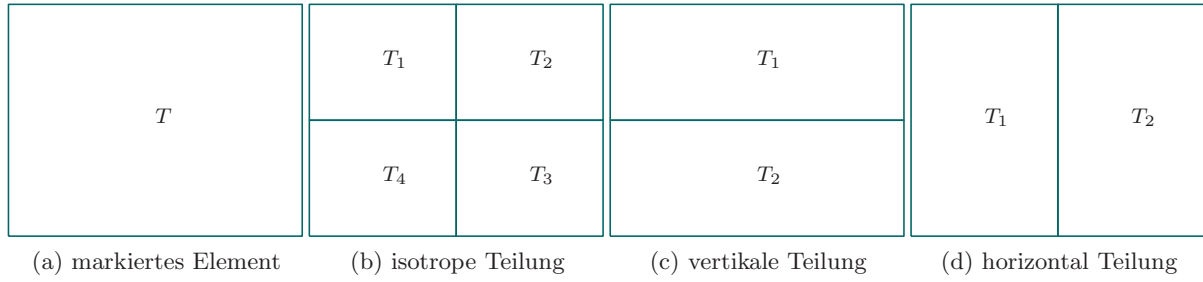


Abbildung 3: Entsprechend der Definition 2.6 wird ein markiertes Element durch isotrope Teilung in vier ähnliche Elemente geteilt. Durch vertikale Teilung werden die beiden vertikalen Kanten halbiert, wodurch zwei übereinander liegende ähnliche Elemente entstehen. Die beiden horizontalen Kanten werden durch horizontale Teilung halbiert, hierbei entstehen zwei ähnliche nebeneinander liegende Elemente.

Algorithmus 2.8 (Verfeinern) Sei \mathcal{T}_ℓ eine Partition und $\Pi_\ell \subseteq \mathcal{S}_\ell$ eine Menge markierter Kanten. Nun sei $\Pi_\ell^{(0)} := \Pi_\ell$ und $i = 0$. Dann gehe so vor:

- (i). $\Pi_\ell^{(i+1/2)} := \Pi_\ell^{(i)} \cup \{(e, T) \in \mathcal{S}_\ell \setminus \Pi_\ell^{(i)} \mid \exists (\hat{e}, \hat{T}) \in \Pi_\ell^{(i)} \text{ mit } e \supsetneq \hat{e}\}$
- (ii). $\Pi_\ell^{(i+1)} := \Pi_\ell^{(i+1/2)} \cup \{(e, T) \in \mathcal{S}_\ell \setminus \Pi_\ell^{(i+1/2)} \mid \exists (\tilde{e}, \tilde{T}) \in \Pi_\ell^{(i+1/2)} \text{ mit } T = \tilde{T} \text{ und } e \cap \tilde{e} = \emptyset\}$
- (iii). Falls $\Pi_\ell^{(i)} \subsetneq \Pi_\ell^{(i+1)}$, erhöhe Zähler $i \mapsto i + 1$ und gehe zu Schritt (i)
- (iv). Teile alle Elemente aus \mathcal{T}_ℓ bezüglich der markierten Kanten $\Pi_\ell^{(i)}$, Definition 2.6 erfüllend.

3 Analytische und Semi-analytische Berechnung

Ziel dieses Abschnitts ist die approximative Berechnung des Integrals

$$A_{jk} = \int_{T_j} \int_{T_k} \kappa(\mathbf{x}, \mathbf{y}) ds_{\mathbf{y}} ds_{\mathbf{x}}, \quad (3.1)$$

auf achsenorientierten Rechtecken $T_j, T_k \subset \mathbb{R}^3$, beziehungsweise als Spezialfall davon die Berechnung des Integrals

$$A_{jk} = \int_{T_j} \int_{T_k} \frac{1}{|\mathbf{x} - \mathbf{y}|} ds_{\mathbf{y}} ds_{\mathbf{x}}, \quad (3.2)$$

unter bestimmten Voraussetzungen an die affinen Randstücke T_j, T_k und den asymptotisch glatten Integranden $\kappa : \mathbb{R}^3 \times \mathbb{R}^3 \rightarrow \mathbb{R}$.

3.1 Interpolation

An dieser Stelle werden wir zunächst den Interpolationsoperator auf dem Intervall $[0, 1]$ definieren. Ferner wollen wir mithilfe von Chebyshev-Knoten eine Fehlerabschätzung für die Chebyshev'sche Interpolation auf d -dimensionalen Würfeln $[0, 1]^d$ mit $d \in \mathbb{N}$ definieren. Im Folgenden bezeichnet \mathcal{P}^p die Menge aller Polynome vom Grad höchstens p auf $[0, 1]$.

Definition 3.1 Für einen festen Grad $p \in \mathbb{N}$ und paarweise verschiedene Knoten $x_j \in [0, 1]$ lautet das Lagrange'sche Interpolationsproblem: Zu gegebenen Funktionswerten $y_j \in \mathbb{R}$ finde ein Polynom $q \in \mathcal{P}^p$ so, dass

$$q(x_j) = y_j \quad \text{für alle } j = 0, \dots, p.$$

Wir wissen aus [5, Theorem 1.6], dass für das Lagrange'sche Interpolationsproblem die eindeutige Lösung gegeben ist durch

$$q = \sum_{j=0}^p y_j L_j,$$

wobei die Lagrange-Polynome L_j definiert sind durch

$$L_j(x) = \prod_{\substack{i=0 \\ i \neq j}}^p \frac{x - x_i}{x_j - x_i}.$$

Mit diesem Wissen definieren wir uns nun den Interpolationsoperator $\mathcal{I}_p : \mathcal{C}[0, 1] \rightarrow \mathcal{P}^p$

$$\mathcal{I}_p u := \sum_{j=0}^p u(x_j) L_j.$$

Wie an der Fehlerabschätzung aus [5, Theorem 1.17] für den Interpolationsoperator

$$\|u - \mathcal{I}_p u\|_{\infty, [0, 1]} \leq \frac{\|u^{(p+1)}\|_{\infty, [0, 1]}}{(p+1)!} \max_{x \in [0, 1]} \prod_{j=0}^p |x - x_j| \quad \text{für alle } u \in \mathcal{C}^{p+1}([0, 1])$$

zu sehen ist, hängt diese noch von der Wahl der Knoten ab. Um den Fehler weiter zu verbessern, werden wir das Produkt

$$\max_{x \in [0,1]} \prod_{j=0}^p |x - x_j|$$

durch benutzen von Chebyshev-Knoten minimieren [5, Definition 1.22]. Diese sind für das Intervall $[-1, 1]$ gegeben durch

$$x_j = \cos\left(\frac{2j+1}{p+1} \frac{\pi}{2}\right) \quad \text{für } j = 0, \dots, p.$$

Durch affine Transformation der Chebyshev-Knoten [5, Theorem 1.25] ergibt sich die Fehlerabschätzung

$$\|u - \mathcal{I}_p u\|_{\infty, [0,1]} \leq \frac{4^{-p}}{(p+1)!} \|u^{(p+1)}\|_{\infty, [0,1]} \quad \text{für alle } u \in \mathcal{C}^{p+1}([0, 1])$$

für Chebyshev-Polynome.

Ferner wollen wir nun die Interpolation auf Boxen der Gestalt $[0, 1]^d$ mit $d \in \mathbb{N}$ einführen. Hierzu definieren wir uns mit dem Tensorprodukt den Interpolationsoperator

$$\mathcal{I}_p^d := \bigotimes_{i=1}^d \mathcal{I}_p \quad \text{für Boxen } [0, 1]^d.$$

Weiterhin benötigen wir für die Abschätzung die Lebesgue-Konstante

$$\Lambda_p := \max_{x \in [0,1]} \sum_{j=0}^p |L_j(x)|.$$

Dann können wir die Fehlerabschätzung für den Interpolationsoperator \mathcal{I}_p^d aus [6, Theorem 2.12] anschreiben

$$\|u - \mathcal{I}_p^d u\|_{\infty, [0,1]^d} \leq \frac{4^{-p} \Lambda_p^{d-1}}{(p+1)!} \sqrt{d}^{(p+1)} \sum_{j=1}^d \|\partial_j^{(p+1)} u\|_{\infty, [0,1]^d} \quad \text{für alle } u \in \mathcal{C}^{p+1}([0, 1]^d).$$

3.2 Gauss-Quadratur

Im Folgenden wollen wir die klassische Gauss-Quadratur definieren. Unter einer Quadratur verstehen wir die approximative Berechnung eines Integrals der Form

$$\int_0^1 f(x) dx$$

durch die Summe

$$\mathcal{Q}_n(f) := \sum_{k=0}^n w_k f(t_k).$$

Die t_k sind hierbei die Knoten, die w_k Gewichte. Eine Quadratur heißt exakt für eine Funktion f , falls $\mathcal{Q}_n(f) = \int_0^1 f(x) dx$ ist.

Weiterhin hat eine Quadratur den Exaktheitsgrad m , wenn sie für alle Polynome bis zum Grad

m exakt ist.

Eine Quadratur heißt interpolatorisch (vom Grad n), falls für jede integrierbare, auf $(0, 1)$ stetige Funktion f

$$\mathcal{Q}_n(f) := \sum_{k=0}^n w_k f(t_k) = \sum_{k=0}^n w_k p(t_k) = \int_0^1 p(x) dx$$

gilt, wobei p das Interpolationspolynom von f vom Grad n zu den Knoten t_0, \dots, t_n ist.

3.3 Volle Quadratur

Zunächst wollen wir zeigen, dass wir die vier Integrale aus (3.2) gut durch die Gauss-Quadratur approximieren können. Hierzu werden wir einige Vorüberlegungen benötigen.

Definition 3.2 Die Kern-Funktion $\kappa(\mathbf{x}, \mathbf{y})$ heißt asymptotisch glatt, falls sie glatt ist für $\mathbf{x} \neq \mathbf{y}$ und Konstanten $c_1, c_2 > 0$ und eine Ordnung der Singularität $s \in \mathbb{R}$ existieren, sodass

$$|\partial_{\mathbf{x}}^{\alpha} \partial_{\mathbf{y}}^{\beta} \kappa(\mathbf{x}, \mathbf{y})| \leq c_1 (c_2 (|\mathbf{x} - \mathbf{y}|)^{-(|\alpha|+|\beta|+s)} (|\alpha| + |\beta|)!$$

für alle Multiindizes $\alpha, \beta \in \mathbb{N}_0^d$ mit $|\alpha| + |\beta| \geq 1$ gilt.

Wie wir im Folgenden sehen werden, lassen sich asymptotisch glatte Kernfunktionen außerhalb des Singularitätsbereichs gut durch Polynome interpolieren. Hierzu benötigen wir aus [1, Theorem 3.2] das folgende Lemma:

Lemma 3.3 Die Funktion $u \in C^{\infty}([0, 1]^d)$ erfülle für Konstanten $C_u, \rho_u > 0$

$$\|\partial_j^n u\|_{\infty, [0, 1]^d} \leq C_u \rho_u^n n! \quad \text{für alle } j \in \{1, \dots, d\} \text{ und } n \in \mathbb{N}_0.$$

Dann gilt für alle $p \in \mathbb{N}_0$

$$\|u - \mathcal{I}_p^d u\|_{\infty, [0, 1]^d} \leq C_u 8e (1 + \rho_u \sqrt{d}) \Lambda_p^d (p+1) \left(1 + \frac{2}{\rho_u \sqrt{d}}\right)^{-(p+1)}. \quad (3.3)$$

Weiterhin wollen wir uns kurz die Ableitung der asymptotisch glatten Kernfunktion mit einer Parametrisierung anschauen.

Lemma 3.4 Sei $\kappa(\cdot, \cdot) : \mathbb{R}^3 \times \mathbb{R}^3 \rightarrow \mathbb{R}$ eine asymptotisch glatte Kernfunktion und sei weiterhin $g : \mathbb{R}^4 \rightarrow \mathbb{R}^6$ die Parametrisierung zweier achsenorientierten Rechtecke T_j und T_k , mit $T_j \cap T_k = \emptyset$ sowie

$$g(\lambda) = (\gamma_j(\lambda_1, \lambda_2), \gamma_k(\lambda_3, \lambda_4)), \quad (3.4)$$

wobei γ_j, γ_k die Parametrisierungen aus Definition 2.1 seien.

Mit der Hilfsfunktion $t_{jk} : \mathbb{N}^4 \rightarrow \mathbb{N}^6$

$$t_{jk}(\alpha) = \begin{pmatrix} \alpha_1 \cdot \mathbf{a} + \alpha_2 \cdot \mathbf{b} \\ \alpha_3 \cdot \tilde{\mathbf{a}} + \alpha_4 \cdot \tilde{\mathbf{b}} \end{pmatrix}, \quad (3.5)$$

wobei $\mathbf{a}, \mathbf{b}, \tilde{\mathbf{a}}, \tilde{\mathbf{b}} \in \mathbb{R}^3$ die paarweise verschiedenen Einheitsvektoren zu Parametrisierungen γ_j, γ_k sind, gilt dann für die Verknüpfung $\kappa \circ g$ die Kettenregel

$$|\partial^{\alpha} (\kappa \circ g)(\lambda)| = \mathcal{D}_{\mathbf{a}}(T_j)^{\alpha_1} \mathcal{D}_{\mathbf{b}}(T_j)^{\alpha_2} \mathcal{D}_{\tilde{\mathbf{a}}}(T_k)^{\alpha_3} \mathcal{D}_{\tilde{\mathbf{b}}}(T_k)^{\alpha_4} |\partial^{t_{jk}(\alpha)} \kappa(g(\lambda))|$$

für jeden Multiindex $\alpha = (\alpha_1, \alpha_2, \alpha_3, \alpha_4)$ mit $|\alpha| \geq 1$.

Beweis. Die Ableitung der Funktion $\kappa \circ g : \mathbb{R}^4 \rightarrow \mathbb{R}^6 \rightarrow \mathbb{R}$ ist

$$\partial(\kappa \circ g)(\lambda) = \partial\kappa(g(\lambda)) \circ \partial g(\lambda) \in \mathbb{R}^{1 \times 4}.$$

Mithilfe der Jacobimatrizen $A := \partial\kappa(g(\lambda)) \in \mathbb{R}^{1 \times 6}$, $B := \partial g(\lambda) \in \mathbb{R}^{6 \times 4}$ untersuchen wir zunächst die partiellen Ableitungen

$$\partial_m(\kappa \circ g)(\lambda) = (AB)_{1m} = \sum_{\ell=1}^6 A_{1\ell} B_{\ell m} = \sum_{\ell=1}^6 \partial_\ell \kappa(g(\lambda)) \partial_m g_\ell(\lambda). \quad (3.6)$$

Hierzu treffen wir einige Vorüberlegungen.

Für die ersten drei Komponenten von g gilt

$$g_{1,2,3}(\lambda) = \gamma_j(\lambda_1, \lambda_2) = \mathbf{v} + \lambda_1 \mathbf{a} \mathbf{a} + \lambda_2 \mathbf{b} \mathbf{b},$$

mit den Vektoren $\mathbf{a}, \mathbf{b} \in \{(1, 0, 0)^T, (0, 1, 0)^T, (0, 0, 1)^T\}$, $\mathbf{a} \neq \mathbf{b}$ und Skalaren $a, b \in \mathbb{R}$ mit $a, b > 0$ der Parametrisierung zum Rechteck T_j , wodurch sich die folgenden Ableitungen ergeben.

$$\partial_1 g_{1,2,3}(\lambda) = a \mathbf{a} \quad \partial_2 g_{1,2,3}(\lambda) = b \mathbf{b} \quad \partial_{3,4} g_{1,2,3}(\lambda) = 0$$

Für die letzten drei Komponenten, wobei für die Parametrisierung des Rechtecks T_k die Variablen $\tilde{\mathbf{a}}, \tilde{\mathbf{b}}$ analog definiert seien,

$$g_{4,5,6}(\lambda) = \gamma_k(\lambda_3, \lambda_4) = \tilde{\mathbf{v}} + \lambda_3 \tilde{\mathbf{a}} \tilde{\mathbf{a}} + \lambda_4 \tilde{\mathbf{b}} \tilde{\mathbf{b}}$$

können wir die Ableitungen ebenfalls anschreiben. Hierbei müssen wir nur beachten, dass sich die Indizierung von $\tilde{\mathbf{a}}, \tilde{\mathbf{b}}$ ändert, weshalb wir hier die Komponenten

$$\partial_{1,2} g_\ell(\lambda) = 0 \quad \partial_3 g_\ell(\lambda) = \tilde{\mathbf{a}} \tilde{\mathbf{a}}_{\ell-3} \quad \partial_4 g_\ell(\lambda) = \tilde{\mathbf{b}} \tilde{\mathbf{b}}_{\ell-3}$$

für $\ell \in \{4, 5, 6\}$ erhalten.

Mit diesen Vorüberlegungen erhalten wir, da κ asymptotisch glatt ist, den Gradient $AB \in \mathbb{R}^{1 \times 4}$

$$AB = (\partial_1 \kappa(g(\lambda)) \quad \cdots \quad \partial_6 \kappa(g(\lambda))) \cdot \begin{pmatrix} a \mathbf{a} & b \mathbf{b} & \mathbf{0} & \mathbf{0} \\ \mathbf{0} & \mathbf{0} & \tilde{\mathbf{a}} \tilde{\mathbf{a}} & \tilde{\mathbf{b}} \tilde{\mathbf{b}} \end{pmatrix}. \quad (3.7)$$

Wenn wir die Summen der Einträge $(AB)_{1m}$ genauer betrachten, sehen wir, dass jeweils nur ein Eintrag $\neq 0$ ist, da $\mathbf{a}, \mathbf{b}, \tilde{\mathbf{a}}, \tilde{\mathbf{b}}$ Einheitsvektoren sind.

Mit der Hilfsfunktion

$$\begin{aligned} \text{ind} : \{(1, 0, 0)^T, (0, 1, 0)^T, (0, 0, 1)^T\} &\rightarrow \{1, 2, 3\} \\ \mathbf{x} &\mapsto (1, 2, 3) \cdot \mathbf{x} \end{aligned}$$

für die Einheitsvektoren mit dem Skalarprodukt (\cdot) vereinfachen wir den Gradient zu

$$\begin{aligned} \partial_1(\kappa \circ g)(\lambda) &= a \partial_{\text{ind}(\mathbf{a})} \kappa(g(\lambda)) & \partial_3(\kappa \circ g)(\lambda) &= \tilde{\mathbf{a}} \partial_{\text{ind}(\tilde{\mathbf{a}})+3} \kappa(g(\lambda)) \\ \partial_2(\kappa \circ g)(\lambda) &= b \partial_{\text{ind}(\mathbf{b})} \kappa(g(\lambda)) & \partial_4(\kappa \circ g)(\lambda) &= \tilde{\mathbf{b}} \partial_{\text{ind}(\tilde{\mathbf{b}})+3} \kappa(g(\lambda)), \end{aligned}$$

wobei auch hier wieder auf die richtige Indizierung geachtet werden muss.

Des Weiteren bestehen die ersten Ableitungen nur aus einem Skalar und dem asymptotisch glatten Kern $\partial_\ell \kappa(g(\lambda))$, weshalb wir die Kettenregel beliebig oft anwenden können. Mithilfe der Funktion $t_{jk} : \mathbb{N}^4 \rightarrow \mathbb{N}^6$ erhalten wir abschließend für einen Multiindex $\alpha \in \mathbb{N}_0^4$ die partiellen Ableitungen

$$\partial^\alpha(\kappa \circ g)(\lambda) = a^{\alpha_1} b^{\alpha_2} \tilde{\mathbf{a}}^{\alpha_3} \tilde{\mathbf{b}}^{\alpha_4} \partial^{t_{jk}(\alpha)} \kappa(g(\lambda)).$$

□

Für die Interpolation werden wir folgende Bedingung verwenden.

Definition 3.5 Seien $T_j, T_k \in \mathbb{R}^3$ achsenorientierte Rechtecke und sei $\zeta_Q > 0$ fest. Dann heißt das Paar (T_j, T_k) ζ_Q -zulässig genau dann, wenn

$$\text{dist}(T_j, T_k) \geq \zeta_Q \max\{\mathcal{D}(T_j), \mathcal{D}(T_k)\}. \quad (3.8)$$

Andernfalls heißt das Paar (T_j, T_k) ζ_Q -unzulässig.

Mit diesen Vorüberlegungen zeigen wir nun den folgenden Satz über die Interpolation der asymptotisch glatten Kernfunktion unter der Parametrisierung.

Satz 3.6 Seien $T_j, T_k \subseteq \mathbb{R}^3$ zwei ζ_Q -zulässige Rechtecke. Sei $\kappa(\cdot, \cdot)$ eine asymptotisch glatte Kernfunktion mit Konstanten $c_1, c_2 > 0$ und Singularitätsordnung $s \geq 0$. Dann gilt mit

$$C_{\zeta_Q, j, k} := 8e \frac{c_1}{(c_2 \text{dist}(T_j, T_k))^s} \left(1 + \frac{2}{c_2 \zeta_Q}\right)$$

die Abschätzung

$$\|\kappa(\gamma_j(\cdot), \gamma_k(\cdot)) - \mathcal{I}_p^4 \kappa(\gamma_j(\cdot), \gamma_k(\cdot))\|_{\infty, [0, 1]^4} \leq C_{\zeta_Q, j, k} \Lambda_p^4 (p+1) (1 + c_2 \zeta_Q)^{-(p+1)}.$$

Beweis. Zunächst definieren wir die Konstanten

$$C_{\kappa, j, k} = \frac{c_1}{(c_2 \text{dist}(T_j, T_k))^s} \quad \text{und} \quad \rho_\kappa = \frac{1}{c_2 \zeta_Q}$$

und können dann die Konstante $C_{\zeta_Q, j, k}$ kurz

$$C_{\zeta_Q, j, k} = 8e C_{\kappa, j, k} (1 + 2\rho_\kappa)$$

schreiben.

Bezeichne $g_{jk} : [0, 1]^4 \rightarrow (T_j \times T_k) \subset \mathbb{R}^6$ die Parametrisierung

$$g_{jk}(\lambda) = (\gamma_j(\lambda_1, \lambda_2), \gamma_k(\lambda_3, \lambda_4)) \quad (3.9)$$

mit der jeweiligen Parametrisierung γ_j, γ_k zu T_j, T_k aus Definition 2.1. So gilt aufgrund von Lemma 3.4

$$\begin{aligned} |\partial_\lambda^\alpha \kappa(\gamma_j(\lambda_1, \lambda_2), \gamma_k(\lambda_3, \lambda_4))| &= |\partial_\lambda^\alpha \kappa(g_{jk}(\lambda))| \\ &= \mathcal{D}_a(T_j)^{\alpha_1} \mathcal{D}_b(T_j)^{\alpha_2} \mathcal{D}_{\bar{a}}(T_k)^{\alpha_3} \mathcal{D}_{\bar{b}}(T_k)^{\alpha_4} \left| \partial^{t_{jk}(\alpha)} \kappa(g_{jk}(\lambda)) \right| \\ &\leq \mathcal{D}(T_j)^{\alpha_1 + \alpha_2} \mathcal{D}(T_k)^{\alpha_3 + \alpha_4} \left| \partial^{t_{jk}(\alpha)} \kappa(g_{jk}(\lambda)) \right| \\ &\leq \max\{\mathcal{D}(T_j), \mathcal{D}(T_k)\}^{|\alpha|} \left| \partial^{t_{jk}(\alpha)} \kappa(g_{jk}(\lambda)) \right|, \end{aligned}$$

mit Multiindex $\alpha = (\alpha_1, \dots, \alpha_4)$, wobei $|\alpha| > 0$ sei. Ferner gilt mit Definition 3.2 und den Konstanten $C_{\kappa, j, k}, \rho_\kappa$ die Abschätzung

$$\begin{aligned} \max\{\mathcal{D}(T_j), \mathcal{D}(T_k)\}^{|\alpha|} \left| \partial^{t_{jk}(\alpha)} \kappa(g_{jk}(\lambda)) \right| &\leq \max\{\mathcal{D}(T_j), \mathcal{D}(T_k)\}^{|\alpha|} c_1 (c_2 |\gamma_j(\lambda_1, \lambda_2) - \gamma_k(\lambda_3, \lambda_4)|)^{-(|\alpha|+s)} |\alpha|! \\ &\leq \max\{\mathcal{D}(T_j), \mathcal{D}(T_k)\}^{|\alpha|} c_1 (c_2 \text{dist}(T_j, T_k))^{-(|\alpha|+s)} |\alpha|! \\ &= \frac{c_1}{(c_2 \text{dist}(T_j, T_k))^s} \left(\frac{\max(\mathcal{D}(T_j), \mathcal{D}(T_k))}{c_2 \text{dist}(T_j, T_k)} \right)^{|\alpha|} |\alpha|! \\ &\leq C_{\kappa, j, k} \rho_\kappa^{|\alpha|} |\alpha|!, \end{aligned}$$

wobei $\gamma_j(\lambda_1, \lambda_2) \in T_j$ und $\gamma_k(\lambda_3, \lambda_4) \in T_k$ sei. Daher sind die Voraussetzungen für Lemma 3.3 erfüllt und es gilt die Abschätzung

$$\begin{aligned} & \|\kappa(\gamma_j(\cdot), \gamma_k(\cdot)) - \mathcal{I}_p^4 \kappa(\gamma_j(\cdot), \gamma_k(\cdot))\|_{\infty, [0,1]^4} \\ & \leq C_{\kappa, j, k} 8e(1 + 2\rho_\kappa) \Lambda_p^4(p+1) \left(1 + \frac{1}{\rho_\kappa}\right)^{-(p+1)} \\ & = C_{\zeta_Q, j, k} \Lambda_p^4(p+1) (1 + c_2 \zeta_Q)^{-(p+1)}. \end{aligned}$$

Damit ist der Beweis abgeschlossen. \square

Da sich wie gezeigt die Kernfunktion besonders gut durch Polynome interpolieren lässt, wollen wir dieses Wissen auf die Quadratur übertragen und werden die vier Integrale im Folgenden durch die Gauss-Quadratur approximieren.

Satz 3.7 *Seien T_j, T_k zwei ζ_Q -zulässige Rechtecke mit zugehörigen Parametrisierungen γ_j, γ_k . Sei weiterhin $\kappa : \mathbb{R}^3 \times \mathbb{R}^3 \rightarrow \mathbb{R}, (\mathbf{x}, \mathbf{y}) \mapsto \kappa(\mathbf{x}, \mathbf{y})$ eine asymptotisch glatte Kernfunktion mit Konstanten c_1, c_2, s . Sei*

$$\tilde{C}_{\zeta_Q, j, k} := 8e \frac{c_1 |T_j| |T_k|}{(c_2 \text{dist}(T_j, T_k))^s} \left(1 + \frac{2}{c_2 \zeta_Q}\right) = |T_j| |T_k| C_{\zeta_Q, j, k}. \quad (3.10)$$

Dann gilt mit $\boldsymbol{\lambda}_j = (\lambda_1, \lambda_2)$ und $\boldsymbol{\lambda}_k = (\lambda_3, \lambda_4)$ für das Integral

$$A_{jk} = \int_{T_j} \int_{T_k} \kappa(\mathbf{x}, \mathbf{y}) ds_{\mathbf{y}} ds_{\mathbf{x}} \quad (3.11)$$

$$= |T_j| |T_k| \int_{[0,1]^2} \int_{[0,1]^2} \kappa(\gamma_j(\boldsymbol{\lambda}_j), \gamma_k(\boldsymbol{\lambda}_k)) d\boldsymbol{\lambda}_k d\boldsymbol{\lambda}_j \quad (3.12)$$

und für den durch die Gauss-Quadratur von A_{jk} zum Grad p entstehenden Term

$$(A_p)_{jk} = |T_j| |T_k| \sum_{a=0}^p w_a \sum_{b=0}^p w_b \sum_{c=0}^p w_c \sum_{d=0}^p w_d \kappa(\gamma_j(\lambda_a, \lambda_b), \gamma_k(\lambda_c, \lambda_d))$$

die Abschätzung

$$|A_{jk} - (A_p)_{jk}| \leq \tilde{C}_{\zeta_Q, j, k} \Lambda_{2p+1}^4 2(p+1) (1 + c_2 \zeta_Q)^{-2(p+1)}. \quad (3.13)$$

Weiterhin gilt für die Konstante $\tilde{C}_{\zeta_Q, j, k}$

$$\tilde{C}_{\zeta_Q, j, k} \leq 8e \frac{c_1}{(c_2 \zeta_Q)^s} \max\{\mathcal{D}(T_j), \mathcal{D}(T_k)\}^{2-s} \left(1 + \frac{2}{c_2 \zeta_Q}\right) \sqrt{|T_j| |T_k|},$$

das heißt für $s \leq 2$ bleibt die Konstante $\tilde{C}_{\zeta_Q, j, k}$ gleichmäßig beschränkt.

Beweis. Wir wissen aus [5, Korollar 6.38], dass die Gauss-Quadratur interpolatorisch mit dem Exaktheitsgrad $2p+1$ ist, unter Berücksichtigung, der hier verwendeten Indizierung beginnend mit 0 statt 1. Deshalb gilt

$$\begin{aligned} (A_p)_{jk} &= |T_j| |T_k| \sum_{a=0}^p w_a \sum_{b=0}^p w_b \sum_{c=0}^p w_c \sum_{d=0}^p w_d \kappa(\gamma_j(\lambda_a, \lambda_b), \gamma_k(\lambda_c, \lambda_d)) \\ &= |T_j| |T_k| \int_{[0,1]^2} \int_{[0,1]^2} \mathcal{I}_{2p+1}^4 \kappa(\gamma_j(\boldsymbol{\lambda}_j), \gamma_k(\boldsymbol{\lambda}_k)) d\boldsymbol{\lambda}_k d\boldsymbol{\lambda}_j, \end{aligned}$$

wobei \mathcal{I}_{2p+1} den Chebyshev-Interpolationsoperator vom Grad $2p + 1$ bezeichnet. Wegen der Additivität des Integrals und durch Hineinziehen des Betrags erhält man

$$\begin{aligned}
& |A_{jk} - (A_p)_{jk}| \\
&= |T_j||T_k| \left| \int_{[0,1]^2} \int_{[0,1]^2} \kappa(\gamma_j(\boldsymbol{\lambda}_j), \gamma_k(\boldsymbol{\lambda}_k)) d\boldsymbol{\lambda}_k d\boldsymbol{\lambda}_j \right. \\
&\quad \left. - \int_{[0,1]^2} \int_{[0,1]^2} \mathcal{I}_{2p+1}^4 \kappa(\gamma_j(\boldsymbol{\lambda}_j), \gamma_k(\boldsymbol{\lambda}_k)) d\boldsymbol{\lambda}_k d\boldsymbol{\lambda}_j \right| \\
&\leq |T_j||T_k| \int_{[0,1]^2} \int_{[0,1]^2} \left| \kappa(\gamma_j(\boldsymbol{\lambda}_j), \gamma_k(\boldsymbol{\lambda}_k)) - \mathcal{I}_{2p+1}^4 \kappa(\gamma_j(\boldsymbol{\lambda}_j), \gamma_k(\boldsymbol{\lambda}_k)) \right| d\boldsymbol{\lambda}_k d\boldsymbol{\lambda}_j \\
&\leq |T_j||T_k| \|\kappa(\gamma_j(\cdot), \gamma_k(\cdot)) - \mathcal{I}_{2p+1}^4 \kappa(\gamma_j(\cdot), \gamma_k(\cdot))\|_{\infty, [0,1]^4}
\end{aligned}$$

Mithilfe von Satz 3.6 für den Grad $2p + 1$ erhalten wir die Behauptung

$$\begin{aligned}
|A_{jk} - (A_p)_{jk}| &\leq |T_j||T_k| C_{\zeta_Q, j, k} \Lambda_{2p+1}^4 2(p+1) (1 + c_2 \zeta_Q)^{-2(p+1)} \\
&= \tilde{C}_{\zeta_Q, j, k} \Lambda_{2p+1}^4 2(p+1) (1 + c_2 \zeta_Q)^{-2(p+1)}.
\end{aligned}$$

Da die Konstante $\tilde{C}_{\zeta_Q, j, k}$ durch die Netzverfeinerung, aufgrund der Distanz sehr groß werden könnte, untersuchen wir sie an dieser Stelle noch einmal etwas genauer. Es gilt

$$\begin{aligned}
\tilde{C}_{\zeta_Q, j, k} &= 8e \frac{c_1 |T_j||T_k|}{(c_2 \text{dist}(T_j, T_k))^s} \left(1 + \frac{2}{c_2 \zeta_Q} \right) \\
&\leq 8e \frac{c_1 |T_j||T_k|}{(c_2 \zeta_Q \max\{\mathcal{D}(T_j), \mathcal{D}(T_k)\})^s} \left(1 + \frac{2}{c_2 \zeta_Q} \right) \\
&\leq 8e \frac{c_1 \max\{\mathcal{D}(T_j), \mathcal{D}(T_k)\}^2}{(c_2 \zeta_Q \max\{\mathcal{D}(T_j), \mathcal{D}(T_k)\})^s} \left(1 + \frac{2}{c_2 \zeta_Q} \right) \sqrt{|T_j||T_k|} \\
&= 8e \frac{c_1}{(c_2 \zeta_Q)^s} \max\{\mathcal{D}(T_j), \mathcal{D}(T_k)\}^{2-s} \left(1 + \frac{2}{c_2 \zeta_Q} \right) \sqrt{|T_j||T_k|}.
\end{aligned}$$

□

Bemerkung 3.8 Λ_p wächst für Chebyshev-Polynome im wesentlichen logarithmisch in p . Daher konvergiert $(A_p)_{jk}$ für wachsenden Quadraturgrad p exponentiell schnell gegen A_{jk} .

Im Folgenden wollen wir nun annehmen, dass T_1, T_2, \dots, T_n Randelemente sind. Dann betrachten wir die Matrizen A, A_p , wobei die Einträge von A genau durch (3.2) gegeben sind und A_p eine A approximierende Matrix ist. Bei der Definition der approximierenden Matrix unterscheiden wir hier zwischen zwei Fällen.

Definition 3.9 Seien T_1, T_2, \dots, T_n Rechtecke und $A \in \mathbb{R}^{n \times n}$ gegeben durch (3.1). Dann ist die A approximierende Matrix A_p folgendermaßen definiert.

- Sind T_j und T_k ζ_Q -unzulässig, so ist

$$(A_p)_{jk} := A_{jk}.$$

- Sind T_j und T_k ζ_Q -zulässig, so ist mithilfe von Gauss-Quadratur

$$(A_p)_{jk} := |T_j||T_k| \sum_{a=0}^p w_a \sum_{b=0}^p w_b \sum_{c=0}^p w_c \sum_{d=0}^p w_d \kappa(\gamma_j(\lambda_a), \gamma_k(\lambda_c, \lambda_d)).$$

Wir wollen nun zeigen, dass die approximierende Matrix bezüglich der Frobenius-Norm für wachsenden Quadraturgrad exponentiell schnell gegen die gegebene Matrix konvergiert. Die Frobenius-Norm ist gegeben durch

$$\|A\|_F := \left(\sum_{i=1}^n \sum_{j=1}^n A_{ij}^2 \right)^{1/2} \quad \text{für } A \in \mathbb{R}^{n \times n}.$$

Satz 3.10 *Seien T_1, T_2, \dots, T_n Rechtecke. Sei $\kappa : \mathbb{R}^3 \times \mathbb{R}^3 \rightarrow \mathbb{R}$ eine asymptotisch glatte Kernfunktion mit Konstanten c_1, c_2 und Singularitätsordnung $0 \leq s \leq 2$. Sei $\tilde{C}_{\zeta_Q, j, k}$ wie in (3.10) für ζ_Q -zulässige Rechtecke T_j, T_k und für unzulässige sei $\tilde{C}_{\zeta_Q, j, k} = 0$. Sei $A \in \mathbb{R}^{n \times n}$ eine Matrix, deren Einträge gegeben sind durch*

$$A_{jk} = \int_{T_j} \int_{T_k} \kappa(\mathbf{x}, \mathbf{y}) ds_{\mathbf{y}} ds_{\mathbf{x}}$$

und sei A_p die A approximierende Matrix gemäß Definition 3.9. Dann gilt

$$\|A - A_p\|_F \leq 8e \frac{c_1(c_2\zeta_Q + 2)}{(c_2\zeta_Q)^{s+1}} \Lambda_{2p+1}^4 \frac{2(p+1)}{(1 + c_2\zeta_Q)^{2(p+1)}} |\Omega| \max_{\ell=1, \dots, n} \mathcal{D}(T_\ell)^{2-s}.$$

Beweis. Betrachten wir zunächst die Differenz zwischen A und A_p in einem festen Eintrag $(A - A_p)_{jk}$. Sind T_j und T_k unzulässig, ist die Differenz laut Definition 0 und die Abschätzung mit $\tilde{C}_{\zeta_Q, j, k} = 0$ erfüllt. Sind T_j und T_k hingegen zulässig, können wir Satz 3.7 anwenden. Damit erhalten wir

$$\begin{aligned} \|A - A_p\|_F^2 &= \sum_{j, k=1}^n (A_{jk} - (A_p)_{jk})^2 \\ &\leq \sum_{j, k=1}^n \left(\tilde{C}_{\zeta_Q, j, k} \Lambda_{2p+1}^4 2(p+1) (1 + c_2\zeta_Q)^{-2(p+1)} \right)^2 \\ &\leq \sum_{j, k=1}^n \left(8e \frac{c_1 \sqrt{|T_j| |T_k|}}{c_2^s \zeta_Q^s \max\{\mathcal{D}(T_j), \mathcal{D}(T_k)\}^{s-2}} \left(1 + \frac{2}{c_2\zeta_Q} \right) \Lambda_{2p+1}^4 2(p+1) (1 + c_2\zeta_Q)^{-2(p+1)} \right)^2 \\ &= \left(8e \frac{c_1}{c_2^s \zeta_Q^s} \left(1 + \frac{2}{c_2\zeta_Q} \right) \Lambda_{2p+1}^4 \frac{2(p+1)}{(1 + c_2\zeta_Q)^{2(p+1)}} \right)^2 \sum_{j, k=1}^n \frac{|T_j| |T_k|}{\max\{\mathcal{D}(T_j), \mathcal{D}(T_k)\}^{2s-4}} \\ &\leq \left(8e \frac{c_1(c_2\zeta_Q + 2)}{(c_2\zeta_Q)^{s+1}} \Lambda_{2p+1}^4 \frac{2(p+1)}{(1 + c_2\zeta_Q)^{2(p+1)}} \right)^2 |\Omega|^2 \max_{j, k=1, \dots, n} \max\{\mathcal{D}(T_j), \mathcal{D}(T_k)\}^{4-2s}. \end{aligned}$$

Durch Ziehen der Wurzel auf beiden Seiten, folgt dann die Behauptung. \square

3.4 Quadratur über ein Element

Definition 3.11 *Seien $T_j, T_k \in \mathbb{R}^3$ achsenorientierte Rechtecke und sei $\zeta_E > 0$ fest. Dann heißt das Paar (T_j, T_k) ζ_E -zulässig genau dann, wenn*

$$\text{dist}(T_j, T_k) \geq \zeta_E \min\{\mathcal{D}(T_j), \mathcal{D}(T_k)\}. \quad (3.14)$$

Andernfalls heißt das Paar (T_j, T_k) ζ_E -unzulässig.

Satz 3.12 Seien $T_j, T_k \subseteq \mathbb{R}^3$ zwei ζ_E -zulässige Rechtecke mit $\mathcal{D}(T_j) \leq \mathcal{D}(T_k)$. Sei $\kappa(\cdot, \cdot)$ eine asymptotisch glatte Kernfunktion mit Konstanten $c_1, c_2 > 0$ und Singularitätsordnung $s \geq 0$. Dann gilt mit

$$C_{\zeta_E, j, k} := 8e \frac{c_1}{(c_2 \operatorname{dist}(T_j, T_k))^s} \left(1 + \frac{\sqrt{2}}{c_2 \zeta_E} \right)$$

die Abschätzung

$$\max_{\mathbf{y} \in T_k} \|\kappa(\gamma_j(\cdot), \mathbf{y}) - \mathcal{I}_p^2 \kappa(\gamma_j(\cdot), \mathbf{y})\|_{\infty, [0,1]^2} \leq C_{\zeta_E, j, k} \Lambda_p^2(p+1) \left(1 + \sqrt{2} c_2 \zeta_E \right)^{-(p+1)}.$$

Beweis. Zunächst definieren wir die Konstanten

$$C_{\kappa, j, k} = \frac{c_1}{(c_2 \operatorname{dist}(T_j, T_k))^s} \quad \text{und} \quad \rho_\kappa = \frac{1}{c_2 \zeta_E}$$

und können dann die Konstante $C_{\zeta_E, j, k}$ kurz

$$C_{\zeta_E, j, k} = 8e C_{\kappa, j, k} (1 + \sqrt{2} \rho_\kappa)$$

schreiben.

Sei $\mathbf{y} \in T_k$ fest gewählt. Sei weiterhin γ_j die Parametrisierung zu T_j aus Definition 2.1. So gilt mithilfe von Lemma 3.4

$$\begin{aligned} |\partial_\lambda^\alpha \kappa(\gamma_j(\lambda_1, \lambda_2), \mathbf{y})| &= \mathcal{D}_a(T_j)^{\alpha_1} \mathcal{D}_b(T_j)^{\alpha_2} \left| \partial^{t_{jk}(\alpha)} \kappa(\gamma_j(\lambda_1, \lambda_2), \mathbf{y}) \right|, \\ &\leq \mathcal{D}(T_j)^{|\alpha|} \left| \partial^{t_{jk}(\alpha)} \kappa(\gamma_j(\lambda_1, \lambda_2), \mathbf{y}) \right|, \end{aligned}$$

mit Multiindex $\alpha = (\alpha_1, \alpha_2, 0, 0)$, wobei $|\alpha| > 0$ sei. Ferner gilt mit Definition 3.2 und den Konstanten $C_{\kappa, j, k}, \rho_\kappa$ die Abschätzung

$$\begin{aligned} \mathcal{D}(T_j)^{|\alpha|} \left| \partial^{t_{jk}(\alpha)} \kappa(\gamma_j(\lambda_1, \lambda_2), \mathbf{y}) \right| &\leq \mathcal{D}(T_j)^{|\alpha|} c_1 (c_2 |\gamma_j(\lambda_1, \lambda_2) - \mathbf{y}|)^{-(|\alpha|+s)} |\alpha|! \\ &\leq \mathcal{D}(T_j)^{|\alpha|} c_1 (c_2 \operatorname{dist}(T_j, T_k))^{-(|\alpha|+s)} |\alpha|! \\ &= \frac{c_1}{(c_2 \operatorname{dist}(T_j, T_k))^s} \left(\frac{\mathcal{D}(T_j)}{c_2 \operatorname{dist}(T_j, T_k)} \right)^{|\alpha|} |\alpha|! \\ &\leq C_{\kappa, j, k} \rho_\kappa^{|\alpha|} |\alpha|!, \end{aligned}$$

wobei $\gamma_j(\lambda_1, \lambda_2) \in T_j$ sei. Daher sind die Voraussetzungen für Lemma 3.3 erfüllt und es gilt schließlich die Abschätzung

$$\begin{aligned} \|\kappa(\gamma_j(\cdot), \mathbf{y}) - \mathcal{I}_p^2 \kappa(\gamma_j(\cdot), \mathbf{y})\|_{\infty, [0,1]^2} &\leq C_{\kappa, j, k} 8e (1 + \sqrt{2} \rho_\kappa) \Lambda_p^2(p+1) \left(1 + \frac{\sqrt{2}}{\rho_\kappa} \right)^{-(p+1)} \\ &= C_{\zeta_E, j, k} \Lambda_p^2(p+1) \left(1 + \sqrt{2} c_2 \zeta_E \right)^{-(p+1)}. \end{aligned}$$

□

Satz 3.13 Seien T_j, T_k zwei ζ_E -zulässige Rechtecke, wobei $\mathcal{D}(T_j) \leq \mathcal{D}(T_k)$ sei, mit zugehörigen Parametrisierungen γ_j, γ_k . Sei weiterhin $\kappa : \mathbb{R}^3 \times \mathbb{R}^3 \rightarrow \mathbb{R} : (\mathbf{x}, \mathbf{y}) \mapsto \kappa(\mathbf{x}, \mathbf{y})$ eine asymptotisch glatte Kernfunktion mit Konstanten c_1, c_2, s . Sei

$$\tilde{C}_{\zeta_E, j, k} := 8e \frac{c_1 |T_j| |T_k|}{(c_2 \operatorname{dist}(T_j, T_k))^s} \left(1 + \frac{\sqrt{2}}{c_2 \zeta_E} \right) = |T_j| |T_k| C_{\zeta_E, j, k}. \quad (3.15)$$

Dann gilt für das Integral

$$A_{jk} = \int_{T_j} \int_{T_k} \kappa(\mathbf{x}, \mathbf{y}) ds_{\mathbf{y}} ds_{\mathbf{x}} \quad (3.16)$$

$$= |T_j| \int_0^1 \int_0^1 \int_{T_k} \kappa(\gamma_j(\lambda_1, \lambda_2), \mathbf{y}) d\mathbf{y} d\lambda_2 d\lambda_1 \quad (3.17)$$

und für den durch die Gauss-Quadratur von A_{jk} zum Grad p entstehenden Term

$$(A_p)_{jk} = |T_j| \sum_{a=0}^p w_a \sum_{b=0}^p w_b \int_{T_k} \kappa(\gamma_j(\lambda_a, \lambda_b), \mathbf{y}) d\mathbf{y}$$

die Abschätzung

$$|A_{jk} - (A_p)_{jk}| \leq \tilde{C}_{\zeta_E, j, k} \Lambda_{2p+1}^2 2(p+1) \left(1 + \sqrt{2} c_2 \zeta_E\right)^{-2(p+1)}. \quad (3.18)$$

Weiterhin gilt für die Konstante $\tilde{C}_{\zeta_E, j, k}$

$$\tilde{C}_{\zeta_E, j, k} \leq 8e \frac{c_1}{(c_2 \zeta_E)^s} \max\{\mathcal{D}(T_j), \mathcal{D}(T_k)\}^{2-s} \left(1 + \frac{\sqrt{2}}{c_2 \zeta_E}\right) \sqrt{|T_j| |T_k|}, \quad (3.19)$$

das heißt für $s \leq 1$ bleibt die Konstante $\tilde{C}_{\zeta_E, j, k}$ gleichmäßig beschränkt.

Beweis. Wir wissen aus [5, Korollar 6.38], dass die Gauss-Quadratur interpolatorisch mit dem Exaktheitsgrad $2p+1$ ist, unter Berücksichtigung, der hier verwendeten Indizierung beginnend mit 0 statt 1. Deshalb gilt mit $\boldsymbol{\lambda} = (\lambda_1, \lambda_2)$

$$\begin{aligned} (A_p)_{jk} &= |T_j| \sum_{a=0}^p w_a \sum_{b=0}^p w_b \int_{T_k} \kappa(\gamma_j(\lambda_a, \lambda_b), \mathbf{y}) d\mathbf{y} \\ &= |T_j| \int_0^1 \int_0^1 \int_{T_k} \mathcal{I}_{2p+1} \kappa(\gamma_j(\lambda_1, \lambda_2), \mathbf{y}) d\mathbf{y} d\lambda_2 d\lambda_1 \\ &= |T_j| \int_{[0,1]^2} \int_{T_k} \mathcal{I}_{2p+1} \kappa(\gamma_j(\boldsymbol{\lambda}), \mathbf{y}) d\mathbf{y} d\boldsymbol{\lambda}, \end{aligned}$$

wobei \mathcal{I}_{2p+1} den Chebyshev-Interpolationsoperator vom Grad $2p+1$ bezeichnet. Wegen der Additivität des Integrals und durch Hineinziehen des Betrags erhält man

$$\begin{aligned} &|A_{jk} - (A_p)_{jk}| \\ &= |T_j| \left| \int_{[0,1]^2} \int_{T_k} \kappa(\gamma_j(\boldsymbol{\lambda}), \mathbf{y}) d\mathbf{y} d\boldsymbol{\lambda} - \int_{[0,1]^2} \int_{T_k} \mathcal{I}_{2p+1} \kappa(\gamma_j(\boldsymbol{\lambda}), \mathbf{y}) d\mathbf{y} d\boldsymbol{\lambda} \right| \\ &\leq |T_j| \int_{[0,1]^2} \int_{T_k} \left| \kappa(\gamma_j(\boldsymbol{\lambda}), \mathbf{y}) - \mathcal{I}_{2p+1} \kappa(\gamma_j(\boldsymbol{\lambda}), \mathbf{y}) \right| d\mathbf{y} d\boldsymbol{\lambda} \\ &\leq |T_j| |T_k| \sup_{\mathbf{y} \in T_k} \|\kappa(\gamma_j(\cdot, \cdot), \mathbf{y}) - \mathcal{I}_{2p+1} \kappa(\gamma_j(\cdot, \cdot), \mathbf{y})\|_{\infty, [0,1]^2} \end{aligned}$$

Mithilfe von Satz 3.12 für den Grad $2p+1$ erhalten wir die Behauptung

$$\begin{aligned} |A_{jk} - (A_p)_{jk}| &\leq |T_j| |T_k| C_{\zeta_E, j, k} \Lambda_{2p+1}^2 2(p+1) \left(1 + \sqrt{2} c_2 \zeta_E\right)^{-2(p+1)} \\ &= \tilde{C}_{\zeta_E, j, k} \Lambda_{2p+1}^2 2(p+1) \left(1 + \sqrt{2} c_2 \zeta_E\right)^{-2(p+1)}. \end{aligned}$$

Da die Konstante $\tilde{C}_{\zeta_E, j, k}$ durch die Netzverfeinerung, aufgrund der Distanz sehr groß werden könnte, untersuchen wir sie an dieser Stelle noch einmal etwas genauer. Es gilt

$$\begin{aligned}\tilde{C}_{\zeta_E, j, k} &= 8e \frac{c_1 |T_j| |T_k|}{(c_2 \text{dist}(T_j, T_k))^s} \left(1 + \frac{\sqrt{2}}{c_2 \zeta_E} \right) \\ &\leq 8e \frac{c_1 \mathcal{D}(T_j) \mathcal{D}(T_k)}{(c_2 \zeta_E \min\{\mathcal{D}(T_j), \mathcal{D}(T_k)\})^s} \left(1 + \frac{\sqrt{2}}{c_2 \zeta_E} \right) \sqrt{|T_j| |T_k|} \\ &\leq 8e \frac{c_1}{(c_2 \zeta_E)^s} \max\{\mathcal{D}(T_j), \mathcal{D}(T_k)\}^{2-s} \left(1 + \frac{\sqrt{2}}{c_2 \zeta_E} \right) \sqrt{|T_j| |T_k|}.\end{aligned}$$

□

Lemma 3.14 *Seien T_j, T_k zwei Randstücke mit $\text{dist}(T_j, T_k) > 0$, $\kappa(\mathbf{x}, \mathbf{y})$ eine symmetrische asymptotisch glatte Kernfunktion mit*

$$A_{jk} = \int_{T_j} \int_{T_k} \kappa(\mathbf{x}, \mathbf{y}) ds_{\mathbf{y}} ds_{\mathbf{x}}.$$

Dann gilt

$$A_{jk} = A_{kj},$$

insbesondere ist auch die Integrationsreihenfolge aller Integrale beliebig.

Beweis. Aus der Definition 2.4 für den Abstand zweier Rechtecke folgt $T_j \cap T_k = \emptyset$. Da $\kappa(\mathbf{x}, \mathbf{y})$ asymptotisch glatt ist, ist sie auch glatt auf $T_j \times T_k$. Da die Menge beschränkt und abgeschlossen ist, folgt die Kompaktheit aufgrund vom Satz von Heine-Borel. Weiterhin ist κ als stetige Abbildung auf einem kompakten Intervall auf $T_j \times T_k$ integrierbar. Daher gilt der Satz von Fubini

$$\int_{T_j} \int_{T_k} \kappa(\mathbf{x}, \mathbf{y}) ds_{\mathbf{y}} ds_{\mathbf{x}} = \int_{T_k} \int_{T_j} \kappa(\mathbf{x}, \mathbf{y}) ds_{\mathbf{x}} ds_{\mathbf{y}},$$

weshalb die Behauptung folgt. □

Bemerkung 3.15 *Seien T_j, T_k zwei ζ_E zulässige Rechtecke. Ist $\mathcal{D}(T_j) \leq \mathcal{D}(T_k)$, so kann Satz 3.13 angewendet werden um A_{jk} zu approximieren. Im Fall $\mathcal{D}(T_j) > \mathcal{D}(T_k)$ können wir, da für ζ_E -zulässige Elemente auch $\text{dist}(T_j, T_k) > 0$ gilt, A_{jk} approximieren, indem wir mithilfe von $A_{jk} = A_{kj}$ und Satz 3.13, A_{kj} berechnen.*

Definition 3.16 *Seien T_1, T_2, \dots, T_n Rechtecke und $A \in \mathbb{R}^{n \times n}$ gegeben durch (3.1). Dann ist die A approximierende Matrix A_p folgendermaßen definiert.*

- Sind T_j und T_k ζ_E -unzulässig, so ist

$$(A_p)_{jk} := A_{jk}.$$

- Sind T_j und T_k ζ_E -zulässig und $\mathcal{D}(T_j) \leq \mathcal{D}(T_k)$, so ist

$$(A_p)_{jk} := |T_j| \sum_{a=0}^p w_a \sum_{b=0}^p w_b \int_{T_k} \kappa(\gamma_j(\lambda_a, \lambda_b), \mathbf{y}) d\mathbf{y}.$$

- Sind T_j und T_k ζ_E -zulässig und $\mathcal{D}(T_j) > (T_k)$, so ist

$$(A_p)_{jk} := |T_k| \sum_{c=0}^p w_c \sum_{d=0}^p w_d \int_{T_j} \kappa(\mathbf{x}, \gamma_k(\lambda_c, \lambda_d)) d\mathbf{x}.$$

Satz 3.17 Seien T_1, T_2, \dots, T_n Rechtecke. Sei $\kappa : \mathbb{R}^3 \times \mathbb{R}^3 \rightarrow \mathbb{R}$ eine asymptotisch glatte Kernfunktion mit Konstanten c_1, c_2 und Singularitätsordnung $0 \leq s \leq 1$. Sei $\tilde{C}_{\zeta_E, j, k}$ wie in (3.15) für ζ_E -zulässige Rechtecke T_j, T_k und für unzulässige sei $\tilde{C}_{\zeta_E, j, k} = 0$. Sei $A \in \mathbb{R}^{n \times n}$ eine Matrix, deren Einträge gegeben sind durch

$$A_{jk} = \int_{T_j} \int_{T_k} \kappa(\mathbf{x}, \mathbf{y}) ds_{\mathbf{y}} ds_{\mathbf{x}}$$

und sei A_p die A approximierende Matrix gemäß Definition 3.16. Dann gilt

$$\|A - A_p\|_F \leq 8e \frac{c_1(c_2\zeta_E + \sqrt{2})}{(c_2\zeta_E)^{s+1}} \Lambda_{2p+1}^2 \frac{2(p+1)}{(1 + \sqrt{2}c_2\zeta_E)^{2(p+1)}} |\Omega| \max_{\ell=1, \dots, n} \mathcal{D}(T_\ell)^{2-s}.$$

Beweis. Betrachten wir zunächst die Differenz zwischen A und A_p in einem festen Eintrag $(A - A_p)_{jk}$. Sind T_j und T_k unzulässig, ist die Differenz laut Definition 0 und die Abschätzung mit $\tilde{C}_{\zeta_E, j, k} = 0$ erfüllt. Sind T_j und T_k hingegen zulässig, unterscheiden wir zwei Fälle. Ist $\mathcal{D}(T_j) \leq \mathcal{D}(T_k)$, können wir Satz 3.13 anwenden. Andernfalls ist $A_{jk} = A_{kj}$ durch Lemma 3.14, worauf wir dann Satz 3.13 anwenden können und dadurch dieselbe Abschätzung erhalten. Daraus folgt

$$\begin{aligned} \|A - A_p\|_F^2 &= \sum_{j,k=1}^n (A_{jk} - (A_p)_{jk})^2 \\ &\leq \sum_{j,k=1}^n \left(\tilde{C}_{\zeta_E, j, k} \Lambda_{2p+1}^2 2(p+1) \left(1 + \sqrt{2}c_2\zeta_E\right)^{-2(p+1)} \right)^2 \\ &\leq \sum_{j,k=1}^n \left(8e \frac{c_1 \sqrt{|T_j||T_k|}}{c_2^s \zeta_E^s \max\{\mathcal{D}(T_j), \mathcal{D}(T_k)\}^{s-2}} \left(1 + \frac{\sqrt{2}}{c_2\zeta_E}\right) \Lambda_{2p+1}^2 \frac{2(p+1)}{(1 + \sqrt{2}c_2\zeta_E)^{2(p+1)}} \right)^2 \\ &= \left(8e \frac{c_1}{c_2^s \zeta_E^s} \left(1 + \frac{\sqrt{2}}{c_2\zeta_E}\right) \Lambda_{2p+1}^2 \frac{2(p+1)}{(1 + \sqrt{2}c_2\zeta_E)^{2(p+1)}} \right)^2 \sum_{j,k=1}^n \frac{|T_j||T_k|}{\max\{\mathcal{D}(T_j), \mathcal{D}(T_k)\}^{2s-4}} \\ &\leq \left(8e \frac{c_1(c_2\zeta_E + \sqrt{2})}{(c_2\zeta_E)^{s+1}} \Lambda_{2p+1}^2 \frac{2(p+1)}{(1 + \sqrt{2}c_2\zeta_E)^{2(p+1)}} \right)^2 |\Omega|^2 \max_{j,k=1, \dots, n} \max\{\mathcal{D}(T_j), \mathcal{D}(T_k)\}^{4-2s}. \end{aligned}$$

Durch Ziehen der Wurzel auf beiden Seiten, folgt dann die Behauptung. \square

Bemerkung 3.18 Bei der Randelementemethode mit Galerkin-Verfahren tritt die Steifigkeitsmatrix auf, deren Einträge A_{jk} bis auf einen konstanten Faktor gegeben sind durch

$$\int_{T_j} \int_{T_k} \frac{1}{|\mathbf{x} - \mathbf{y}|} ds_{\mathbf{y}} ds_{\mathbf{x}}. \quad (3.20)$$

Wir werden anstelle der exakten Matrix die approximative Matrix A_p berechnen, da hierbei Auslöschungseffekte vermieden werden können, welche insbesondere für kleine Randelemente auftreten.

Diese Auslöschungseffekte lassen sich durch ein kleines Beispiel leicht erklären. Hierzu betrachten wir beispielsweise die Stammfunktion des Integrals über ein Element von (3.20)

$$F_{\mathbf{x}} = \int \frac{1}{|\mathbf{x} - \mathbf{y}|} ds_{\mathbf{y}}$$

für festes $\mathbf{x} \in \mathbb{R}^3$, inklusive einer geeigneten Parametrisierung $\gamma_k : [0, 1]^2 \rightarrow T_k$

$$\tilde{F}_{\mathbf{x}} = \int \int \frac{1}{|\mathbf{x} - \gamma_k(\boldsymbol{\lambda})|} d\lambda_2 d\lambda_1.$$

Die Stammfunktion ist auch mit der Parametrisierung stetig. Daher gilt für T_k mit geringem Durchmesser $\mathcal{D}(T_k)$ aber $\tilde{F}_{\mathbf{x}}(\lambda) \approx \tilde{F}_{\mathbf{x}}(\tilde{\lambda})$ für alle $\lambda, \tilde{\lambda} \in [0, 1]^2$, wodurch für den Ausdruck

$$\tilde{F}_{\mathbf{x}}(0, 0) - \tilde{F}_{\mathbf{x}}(1, 0) - \tilde{F}_{\mathbf{x}}(0, 1) + \tilde{F}_{\mathbf{x}}(1, 1) = \int_{[0, 1]^2} \frac{1}{|\mathbf{x} - \gamma_k(\boldsymbol{\lambda})|} d\boldsymbol{\lambda} = \int_{T_k} \frac{1}{|\mathbf{x} - \mathbf{y}|} ds_{\mathbf{y}}$$

starke Auslöschungseffekte auftreten.

Deshalb werden wir für zulässige Randelemente Integrale geeignet durch Gauss-Quadratur ersetzen. Dabei wird der Integrand mehrfach ausgewertet und mit stets positiven Quadraturgewichten multipliziert. Da der Integrand in der Praxis immer das gleiche Vorzeichen hat, werden während der Gauss-Quadratur lediglich Werte gleichen Vorzeichens addiert, wodurch keine Auslöschung auftritt. Deshalb lässt sich beobachten, dass die Auswertung mittels Gauss-Quadratur für zulässige Randstücke genauer ist, als die Berechnung mithilfe der Stammfunktion.

Da wir die Integrationsreihenfolge laut Satz 3.14 beliebig vertauschen dürfen, ist es sinnvoll, über die großen Integrationsbereiche zuerst zu integrieren und die Integration über die kleinen nach außen zu stellen. Dadurch wird jene Operation, durch die starke Auslöschungseffekte auftreten, ans Ende der Berechnung gestellt.

Weiterhin kann die Berechnung durch Quadratur abhängig vom gewählten Quadraturgrad sehr aufwändig werden, welches auf die hohe Anzahl der Auswertungsstellen zurückzuführen ist. Für die Quadratur über beispielsweise zwei Integrale mit einem Quadraturgrad von 8 werden dann schon $8^2 = 64$ Auswertungen benötigt, über vier Integrale hingegen schon $8^4 = 4096$. Deshalb werden wir nicht nur die Strategie betrachten, in der für alle zulässigen Randelemente alle Integrale durch Quadratur ersetzt werden, sondern auch eine, in der nur ein Teil der auftretenden Integrale geeignet durch Gauss-Quadratur ersetzt wird.

4 Analytische Berechnung

In diesem Abschnitt wollen wir uns mit der analytischen Berechnung des Integrals

$$A_{jk} = \int_{T_j} \int_{T_k} \frac{1}{|\mathbf{x} - \mathbf{y}|} ds_{\mathbf{y}} ds_{\mathbf{x}} \in \mathbb{R}^3. \quad (4.1)$$

auf zwei beschränkten, achsenorientierten Rechtecken $T_j, T_k \subseteq \mathbb{R}^3$ beschäftigen. Die im Folgenden auftretenden Stammfunktionen $\int f(x)dx$ werden wir der Einfachheit halber jeweils mit additiver Verschiebung 0 schreiben. Dazu wollen wir [4] folgend zwei Stammfunktionen zitieren, welche durch das Aufspalten des Integrals (4.1) auftreten werden.

Lemma 4.1 *Für die Stammfunktion*

$$g(p; y; x; \lambda) := \int \{(x - y)^2 + \lambda^2\}^p dy$$

mit $\lambda = 0$ gilt die Formel mit beliebigen Skalaren $x, y, p \in \mathbb{R}$

$$(2p + 1)g(p; y; x; 0) = \begin{cases} \operatorname{sgn}(y - x) \log|y - x|^{2p} & p = -1/2 \\ (y - x)|y - x|^{2p} & \text{sonst} \end{cases}$$

falls x für $p \leq -1/2$ außerhalb des betrachteten Integrationsbereichs liegt.

Für beliebige $x, p, y, \lambda \in \mathbb{R}$ mit $\lambda \neq 0$ gilt die Rekursionsformel

$$(2p + 1)g(p; y; x; \lambda) = (y - x)\{(y - x)^2 + \lambda^2\}^p + 2p\lambda g(p - 1; y; x; \lambda).$$

Im Weiteren benötigen wir noch die Formeln für $p \in \{1/2, 0, -1/2, -1, -3/2\}$

$$g(1/2; y; x; \lambda) = \frac{y - x}{2} \{(y - x)^2 + \lambda^2\}^{1/2} + \frac{\lambda^2}{2} \operatorname{arsinh} \frac{y - x}{|\lambda|},$$

$$g(0; y; x; \lambda) = y - x,$$

$$g(-1/2; y; x; \lambda) = \operatorname{arsinh} \frac{y - x}{|\lambda|},$$

$$g(-1; y; x; \lambda) = \frac{1}{|\lambda|} \arctan \frac{y - x}{|\lambda|},$$

$$g(-3/2; y; x; \lambda) = \frac{y - x}{\lambda^2} \{(y - x)^2 + \lambda^2\}^{-1/2},$$

welche alle in [4, Seite 2-3] bewiesen wurden.

Da die Stammfunktion für $p = -1$ in [4, Seite 3] falsch ist verwenden wir die hier hergeleitete. Mithilfe von Substitution durch $z = \frac{y-x}{|\lambda|}$ und $dz = \frac{1}{|\lambda|} dy$ gilt

$$\begin{aligned} \int \frac{1}{(x - y)^2 + \lambda^2} dy &= \int \frac{1}{\lambda^2 \left(\left(\frac{y-x}{|\lambda|} \right)^2 + 1 \right)} dy = \frac{1}{|\lambda|} \int \frac{1}{z^2 + 1} dz \\ &= \frac{1}{|\lambda|} \arctan(z) = \frac{1}{|\lambda|} \arctan\left(\frac{y-x}{|\lambda|}\right). \end{aligned}$$

Lemma 4.2 *Des Weiteren werden wir die Stammfunktion*

$$G(p; y_1; y_2; x_1; x_2; \lambda) := \int \int \{(x_1 - y_1)^2 + (x_2 - y_2)^2 + \lambda^2\}^p dy_2 dy_1$$

benötigen, welche sich für den Fall $p = -3/2$ schreiben lässt als

$$G(-3/2; y_1, y_2; x_1, x_2, 0) = -\frac{\sqrt{(y_1 - x_1)^2 + (y_2 - x_2)^2}}{(y_1 - x_1)(y_2 - x_2)} \quad \text{für } \lambda = 0,$$

$$G(-3/2; y_1, y_2; x_1, x_2, \lambda) = -\frac{\operatorname{sgn}\{(y_1 - x_1)(y_2 - x_2)\}}{2|\lambda|} \cdot \arccos\left(\frac{-2(y_1 - x_1)^2(y_2 - x_2)^2}{\{(y_1 - x_1)^2 + \lambda^2\}\{(y_2 - x_2)^2 + \lambda^2\}} + 1\right) \quad \text{für } \lambda \neq 0.$$

Für alle weiteren relevanten Fälle $p = -3/2 + k$ mit $k \in \mathbb{N}$ können wir folgende Rekursionsformel aufstellen

$$(2p + 2)G(p; y_1, y_2; x_1, x_2, \lambda) = 2p\lambda^2 G(p - 1; y_1, y_2; x_1, x_2, \lambda) \\ + (y_1 - x_1)g(p; y_2; x_2; \sqrt{(y_1 - x_1)^2 + \lambda^2}) \\ + (y_2 - x_2)g(p; y_1; x_1; \sqrt{(y_2 - x_2)^2 + \lambda^2}),$$

welche ebenfalls in [4, Seite 5-7] bewiesen wurden.

4.1 Integral über zwei Elemente

Bei der Berechnung von (4.1) werden wir, aufgrund der speziellen Form des Kerns geometrisch zwischen zwei Fällen unterscheiden. Entweder die beiden Elemente liegen geometrisch in parallelen Ebenen oder in orthogonalen Ebenen.

Das heißt, für parallele Elemente T_j, T_k können wir ohne Beschränkung der Allgemeinheit annehmen, dass mit Definition 2.1

$$T_j = \{\mathbf{v} + \lambda_1 \mathbf{a} + \lambda_2 \mathbf{b} \mid \lambda_1, \lambda_2 \in [0, 1]\} \\ T_k = \{\tilde{\mathbf{v}} + \tilde{\lambda}_1 \tilde{\mathbf{a}} + \tilde{\lambda}_2 \tilde{\mathbf{b}} \mid \tilde{\lambda}_1, \tilde{\lambda}_2 \in [0, 1]\}$$

$\mathbf{a} = \tilde{\mathbf{a}}$ und $\mathbf{b} = \tilde{\mathbf{b}}$ gilt. Wir setzen $\boldsymbol{\delta} = \tilde{\mathbf{v}} - \mathbf{v} \in \mathbb{R}^3$. Dann gilt für das gesuchte Integral [4, Seite 13] folgend

$$\int_{T_j} \int_{T_k} \frac{1}{|\mathbf{x} - \mathbf{y}|} ds_{\mathbf{y}} ds_{\mathbf{x}} \\ = \int_{T_j} \int_{T_k} ((x_1 - y_1)^2 + (x_2 - y_2)^2 + (x_3 - y_3)^2)^{-1/2} ds_{\mathbf{y}} ds_{\mathbf{x}} \\ = \int_{T_j} \int_{T_k} (((x_1 + v_1) - (y_1 + \tilde{v}_1))^2 + ((x_2 + v_2) - (y_2 + \tilde{v}_2))^2 + (v_3 - \tilde{v}_3)^2)^{-1/2} ds_{\mathbf{y}} ds_{\mathbf{x}} \\ = \int_0^a \int_0^b \int_0^{\tilde{a}} \int_0^{\tilde{b}} ((x_1 - y_1 - \delta_1)^2 + (x_2 - y_2 - \delta_2)^2 + \delta_3^2)^{-1/2} dy_2 dy_1 dx_2 dx_1.$$

Lemma 4.3 Für die Stammfunktion auf parallelen Elementen

$$F_p(x_1, x_2, y_1, y_2, \boldsymbol{\delta}) := \\ \int \int \int \int \{(x_1 - y_1 - \delta_1)^2 + (x_2 - y_2 - \delta_2)^2 + \delta_3^2\}^{-1/2} dy_2 dy_1 dx_2 dx_1$$

gilt nach [4, Seite 13]

$$\begin{aligned}
F_p(x_1, x_2, y_1, y_2, \boldsymbol{\delta}) &= (x_1 - y_1 - \delta_1)(x_2 - y_2 - \delta_2)G(-1/2; x_1, x_2; y_1 + \delta_1, y_2 + \delta_2, \delta_3) \\
&\quad - (x_1 - y_1 - \delta_1)g(1/2; x_1; y_1 + \delta_1; \{(x_2 - y_2 - \delta_2)^2 + \delta_3^2\}^{1/2}) \\
&\quad - (x_2 - y_2 - \delta_2)g(1/2; x_2; y_2 + \delta_2; \{(x_1 - y_1 - \delta_1)^2 + \delta_3^2\}^{1/2}) \\
&\quad + \frac{1}{3}\{(x_1 - y_1 - \delta_1)^2 + (x_2 - y_2 - \delta_2)^2 + \delta_3^2\}^{3/2}.
\end{aligned} \tag{4.2}$$

Analog können wir orthogonal liegende Elemente mit Definition 2.1 schreiben als

$$\begin{aligned}
T_j &= \{\mathbf{v} + \lambda_1 \mathbf{a} + \lambda_2 \mathbf{b} \mid \lambda_1, \lambda_2 \in [0, 1]\} \\
T_k &= \{\tilde{\mathbf{v}} + \tilde{\lambda}_2 \tilde{\mathbf{b}} + \tilde{\lambda}_1 \tilde{\mathbf{a}} \mid \tilde{\lambda}_1, \tilde{\lambda}_2 \in [0, 1]\}
\end{aligned}$$

wobei wir hier $\mathbf{b} = \tilde{\mathbf{a}}$ und $\mathbf{a} \perp \tilde{\mathbf{b}}$ annehmen. Wir setzen $\boldsymbol{\delta} = \tilde{\mathbf{v}} - \mathbf{v} \in \mathbb{R}^3$. Dann gilt nach [4]

$$\begin{aligned}
&\int_{T_j} \int_{T_k} \frac{1}{|\mathbf{x} - \mathbf{y}|} ds_{\mathbf{y}} ds_{\mathbf{x}} \\
&= \int_{T_j} \int_{T_k} ((x_1 - y_1)^2 + (x_2 - y_2)^2 + (x_3 - y_3)^2)^{-1/2} ds_{\mathbf{y}} ds_{\mathbf{x}} \\
&= \int_{T_j} \int_{T_k} (((x_1 + v_1) - \tilde{v}_1)^2 + ((x_2 + v_2) - (y_2 + \tilde{v}_2))^2 + (v_3 - (y_3 + \tilde{v}_3))^2)^{-1/2} ds_{\mathbf{y}} ds_{\mathbf{x}} \\
&= \int_0^a \int_0^b \int_0^{\tilde{b}} \int_0^{\tilde{a}} ((x_1 - \delta_1)^2 + (x_2 - y_2 - \delta_2)^2 + (y_3 - \delta_3)^2)^{-1/2} dy_3 dy_2 dx_2 dx_1
\end{aligned}$$

Lemma 4.4 Für die Stammfunktion auf orthogonalen Elementen

$$\begin{aligned}
F_o(x_1, x_2, y_2, y_3, \boldsymbol{\delta}) &:= \\
&\int \int \int \int \{(x_1 - \delta_1)^2 + (x_2 - y_2 - \delta_2)^2 + (-y_3 - \delta_3)^2\}^{-1/2} dy_3 dy_2 dx_2 dx_1
\end{aligned}$$

gilt nach [4]

$$\begin{aligned}
2F_o(x_1, x_2, y_2, y_3, \boldsymbol{\delta}) &= -G(1/2; y_3, x_1; -\delta_3, \delta_1, x_2 - y_2 - \delta_2) \\
&\quad - (x_1 - \delta_1)(x_2 - y_2 - \delta_2)G(-1/2; x_2, y_3; y_2 + \delta_2, -\delta_3, x_1 - \delta_1) \\
&\quad + (x_1 - \delta_1)g(1/2; y_3; -\delta_3, \{(x_1 - \delta_1)^2 + (x_2 - y_2 - \delta_2)^2\}^{1/2}) \\
&\quad - (y_3 - \delta_3)(x_2 - y_2 - \delta_2)G(-1/2; x_1, x_2; \delta_1, y_2 + \delta_2, -y_3 - \delta_3) \\
&\quad + (y_3 - \delta_3)g(1/2; x_1; \delta_1, \{(x_2 - y_2 - \delta_2)^2 + (y_3 + \delta_3)^2\}^{1/2}).
\end{aligned} \tag{4.3}$$

4.2 Bestimmtes Integral

Mithilfe der Stammfunktionen F_p und F_o können wir nun das Integral aus (4.1) für orthogonal und parallel liegende achsenorientierte Rechtecke T und \tilde{T} analytisch exakt lösen. Die Lösung

ist für $F_{p/o} \in \{F_p, F_o\}$, geeignete Grenzen $s_1, s_2, \tilde{s}_1, \tilde{s}_2 \in \mathbb{R}^+$ und $\boldsymbol{\delta} \in \mathbb{R}^3$ gegeben durch

$$\begin{aligned}
& \int_{T_j} \int_{T_k} \frac{1}{|\mathbf{x} - \mathbf{y}|} ds_{\mathbf{y}} ds_{\mathbf{x}} \\
&= \int_0^{s_1} \int_0^{s_2} \int_0^{\tilde{s}_1} \int_0^{\tilde{s}_2} \frac{\partial}{\partial y_2} \frac{\partial}{\partial y_1} \frac{\partial}{\partial x_2} \frac{\partial}{\partial x_1} F_{p/o}(x_1, x_2, y_1, y_2, \boldsymbol{\delta}) dy_2 dy_1 dx_2 dx_1 \\
&= \int_0^{s_1} \int_0^{s_2} \int_0^{\tilde{s}_1} \left(\frac{\partial}{\partial y_1} \frac{\partial}{\partial x_2} \frac{\partial}{\partial x_1} F_{p/o}(x_1, x_2, y_1, \tilde{s}_2, \boldsymbol{\delta}) \right. \\
&\quad \left. - \frac{\partial}{\partial y_1} \frac{\partial}{\partial x_2} \frac{\partial}{\partial x_1} F_{p/o}(x_1, x_2, y_1, 0, \boldsymbol{\delta}) \right) dy_1 dx_2 dx_1 \\
&= \int_0^{s_1} \int_0^{s_2} \left(\frac{\partial}{\partial x_2} \frac{\partial}{\partial x_1} F_{p/o}(x_1, x_2, \tilde{s}_1, \tilde{s}_2, \boldsymbol{\delta}) - \frac{\partial}{\partial x_2} \frac{\partial}{\partial x_1} F_{p/o}(x_1, x_2, \tilde{s}_1, 0, \boldsymbol{\delta}) \right. \\
&\quad \left. - \frac{\partial}{\partial x_2} \frac{\partial}{\partial x_1} F_{p/o}(x_1, x_2, 0, \tilde{s}_2, \boldsymbol{\delta}) + \frac{\partial}{\partial x_2} \frac{\partial}{\partial x_1} F_{p/o}(x_1, x_2, 0, 0, \boldsymbol{\delta}) \right) dx_2 dx_1 \\
&= \int_0^{s_1} \left(\frac{\partial}{\partial x_1} F_{p/o}(x_1, s_2, \tilde{s}_1, \tilde{s}_2, \boldsymbol{\delta}) - \frac{\partial}{\partial x_1} F_{p/o}(x_1, s_2, \tilde{s}_1, 0, \boldsymbol{\delta}) \right. \\
&\quad \left. - \frac{\partial}{\partial x_1} F_{p/o}(x_1, s_2, 0, \tilde{s}_2, \boldsymbol{\delta}) + \frac{\partial}{\partial x_1} F_{p/o}(x_1, s_2, 0, 0, \boldsymbol{\delta}) \right. \\
&\quad \left. - \frac{\partial}{\partial x_1} F_{p/o}(x_1, 0, \tilde{s}_1, \tilde{s}_2, \boldsymbol{\delta}) + \frac{\partial}{\partial x_1} F_{p/o}(x_1, 0, \tilde{s}_1, 0, \boldsymbol{\delta}) \right. \\
&\quad \left. + \frac{\partial}{\partial x_1} F_{p/o}(x_1, 0, 0, \tilde{s}_2, \boldsymbol{\delta}) - \frac{\partial}{\partial x_1} F_{p/o}(x_1, 0, 0, 0, \boldsymbol{\delta}) \right) dx_1 \\
&= F_{p/o}(s_1, s_2, \tilde{s}_1, \tilde{s}_2, \boldsymbol{\delta}) - F_{p/o}(s_1, s_2, \tilde{s}_1, 0, \boldsymbol{\delta}) - F_{p/o}(s_1, s_2, 0, \tilde{s}_2, \boldsymbol{\delta}) + F_{p/o}(s_1, s_2, 0, 0, \boldsymbol{\delta}) \\
&\quad - F_{p/o}(s_1, 0, \tilde{s}_1, \tilde{s}_2, \boldsymbol{\delta}) + F_{p/o}(s_1, 0, \tilde{s}_1, 0, \boldsymbol{\delta}) + F_{p/o}(s_1, 0, 0, \tilde{s}_2, \boldsymbol{\delta}) - F_{p/o}(s_1, 0, 0, 0, \boldsymbol{\delta}) \\
&\quad - F_{p/o}(0, s_2, \tilde{s}_1, \tilde{s}_2, \boldsymbol{\delta}) - F_{p/o}(0, s_2, \tilde{s}_1, 0, \boldsymbol{\delta}) - F_{p/o}(0, s_2, 0, \tilde{s}_2, \boldsymbol{\delta}) + F_{p/o}(0, s_2, 0, 0, \boldsymbol{\delta}) \\
&\quad - F_{p/o}(0, 0, \tilde{s}_1, \tilde{s}_2, \boldsymbol{\delta}) + F_{p/o}(0, 0, \tilde{s}_1, 0, \boldsymbol{\delta}) + F_{p/o}(0, 0, 0, \tilde{s}_2, \boldsymbol{\delta}) - F_{p/o}(0, 0, 0, 0, \boldsymbol{\delta})
\end{aligned}$$

5 Fastreguläre Partionierung in MATLAB

In diesem Abschnitt werden wir die Implementierung etwas genauer betrachten. Hierzu werden wir kurz festhalten wie die Diskretisierung des Netzes aus Kapitel 2.2 in MATLAB und C++ umgesetzt wurde. Weiterhin gehen wir auch auf die Implementierung des Verfeinern-Algorithmus aus Kapitel 2.3 ein. Dabei werden wir wichtige Schritte anhand des Codes und kleinen Beispielen hervorheben.

5.1 Datenstruktur

Für die Implementierung in MATLAB und C++ werden wir eine einheitliche Datenstruktur einführen. Die für die Partition $\mathcal{T}_\ell = \{T_1 \dots T_N\}$ benötigten Knoten $\mathcal{K}_\ell = \{\mathbf{k}_1 \dots \mathbf{k}_M\}$ stellen wir in einer $M \times 3$ Matrix *COO* dar. Dabei enthält die j -te Zeile die Koordinaten des Knoten \mathbf{k}_j , d.h. :

$$COO[j, 1 : 3] = \mathbf{k}_j := (x_j, y_j, z_j)^T \text{ wobei } x_j, y_j, z_j \in \mathbb{R}. \quad (5.1)$$

Die Elemente \mathcal{T}_ℓ werden wir ebenfalls zeilenweise in einer $N \times 4$ Matrix *ELE* abspeichern. Dabei soll die i -te Zeile den Indizes der Knoten $\{\mathbf{k}_j, \mathbf{k}_k, \mathbf{k}_\ell, \mathbf{k}_m\}$ des Elements T_i entsprechen, also:

$$ELE[i, 1 : 4] = T_i := (j, k, \ell, m). \quad (5.2)$$

Die Knoten ordnen wir gegen den Uhrzeigersinn an und der Knoten \mathbf{k}_j sei der Punkt \mathbf{v} aus Definition 2.1.

Für die bessere Handhabung der Elemente beim Verfeinern der Partition, müssen wir auch die Nachbarschaftsrelationen geeignet abspeichern. Im Folgenden werden wir maximal zwei Nachbarn pro Kante eines Elements zulassen, damit das Verhältnis der Elementgrößen benachbarter Elemente beschränkt bleibt. Wir legen also eine $M \times 8$ Matrix für die Indizes der Nachbarelemente an, wobei die i -te Zeile die Nachbarelemente $\{T_{n_1}, \dots, T_{n_8}\}$ zum Element T_i enthält.

$$NEI[i, 1 : 8] = N_i := (n_1, \dots, n_8) \quad (5.3)$$

Offensichtlich ist $i \notin N_i$. Wir wollen uns aber noch genauer eine geeignete Anordnung für die Nachbarelemente überlegen. Hierbei bezeichnen wir die Seite $[j, k]$ eines Elements als Seite 1 und gegen den Uhrzeigersinn alle weiteren $[k, \ell]$, $[\ell, m]$ und $[m, j]$ mit 2,3,4. Für den einfacheren Zugriff auf die Elemente einer Seite $s \in \{1, 2, 3, 4\}$ seien die Nachbarelemente zur Seite s unter den Indizes n_s und n_{s+4} abgespeichert. Die Nachbarelemente $\{T_{n_s}, T_{n_{s+4}}\}$ liegen also an der Seite s des Elements. Für Seiten die nur einen Nachbarn T_{n_s} besitzen, setzen wir $n_{s+4} = 0$ und für Seiten mit keinem Nachbarn setzen wir $n_s = n_{s+4} = 0$. Daraus folgt unmittelbar, dass für $n_s = 0$ auch $n_{s+4} = 0$ gilt, die Seite s also keine Nachbarelemente besitzt und umgekehrt folgt aus $n_{s+4} \neq 0$ auch $n_s \neq 0$, womit die Seite s genau zwei Nachbarelemente hat. (Siehe Abbildung 4)

5.2 Verfeinern

Diese Funktion sei die Implementierung von Algorithmus 2.8. Da wir im weiteren Verlauf sowohl adaptive also auch anisotrope Netzverfeinerung zulassen wollen, ist es sinnvoll eine Verfeinerungsfunktion zu implementieren, die alle möglichen Teilungsprozesse auf einem Element realisiert. Dabei sind vier nur wirklich relevant:

1. keine Teilung
2. volle Teilung in vier gleich große Elemente

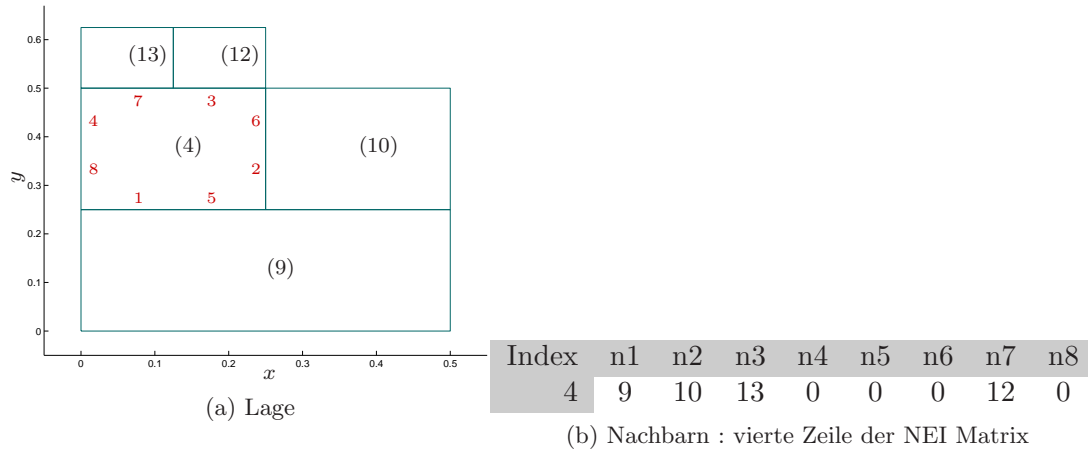


Abbildung 4: An dieser Stelle wollen wir die Nachbarschaftsrelationen des Elements 4 hervorheben, denn das Element hat an den ersten beiden Seiten jeweils einen Nachbarn, an der dritten Seite zwei Nachbarn und an der vierten Seite keinen. Der Index der Nachbarelemente ist jeweils in den Nachbarschaftsrelationen gespeichert. Wobei bei Seiten mit nur einem Nachbar der Nachbar immer im kleineren Index gespeichert wird. Dass das Element 4 selbst Nachbar einer Seite mit zwei Elementen ist, geht aus den Informationen für Element 4 nicht hervor, ist aber dafür in Element 9 vermerkt. Sollte beispielsweise das Element 12 oder 13 horizontal geteilt werden, so muss klarerweise auch Element 4 mindestens horizontal geteilt werden, welches auch eine horizontale Teilung von Element 9 erzwingen würde.

3. halbe Teilung in zwei gleich große vertikal getrennte Elemente
4. halbe Teilung in zwei gleich große horizontal getrennte Elemente

Zusätzlich wurde auch Typ 5 belegt, welcher als Ergebnis eine volle Teilung vom Typ 2 ausführt, diese aber schrittweise durch eine Teilung vom Typ 3 und anschließend durch jeweils eine Typ 4 Teilung. In der Implementierung wird auch jede vierte Teilung vom Typ 2 durch eine Typ 5 Teilung ausgeführt, da sonst kurzzeitig Seiten mit mehr als zwei Nachbarn auftreten könnten. Damit jedem Element T_i eine Teilungsart zugeordnet werden kann, haben wir einen Markierungsvektor $marked \in \{1, 2, 3, 4, 5\}^M$ eingeführt. Dabei entspricht $marked_i$ der Art der Teilung für das Element T_i . Um isotrope und auch uniforme Teilungen zu erleichtern, kann statt dem Vektor $marked$ auch nur ein Skalar übergeben werden $marked \in \{1, 2 \dots 5\}$, wodurch jedes Element mit der gewählten Art verfeinert wird.

Relevant zum Verfeinern eines Netzes sind also die Koordinaten COO , Elemente ELE sowie die Nachbarschaftsrelationen NEI und der Markierungsvektor $marked$.

Da wir später den Fehlerschätzer berechnen wollen, ist es wichtig, sich zu jedem Element seine Teilelemente zu merken. Dazu legen wir während der Teilung eine $M \times 4$ Matrix $F2S$ an, in der die maximal vier Elementindizes gespeichert werden. Wenn wir also ein Element in vier gleich große Teile verfeinern, so wird das neue Element links unten das erste in der VaterSohn-Matrix sein und alle weiteren folgen gegen den Uhrzeigersinn. Teilen wir ein Element in zwei gleich große Elemente, so werden die doppelt belegten Quadranten auch doppelt eingetragen. Ein gar nicht geteiltes Element wird also vier mal den alten Indizes speichern. Dadurch wird sichergestellt, dass das arithmetische Mittel über die Elemente immer gültig auszuführen ist. In Abbildung 5 stellen wir die VaterSohn-Matrizen der Abbildungen 6 und 7 vor. Durch die Funktion A.2.2

```
[COO_fine, ELE_fine, NEI_fine, F2S] = refineQuad(COO, ELE, NEI, marked);
```

kann die Verfeinerung in MATLAB durchgeführt werden.

Index	e1	e2	e3	e4
1	7	6	5	1
2	8	8	2	2
3	3	3	3	3
4	9	9	4	4

(a) VaterSohn aus 6

Index	e1	e2	e3	e4
1	1	1	1	1
2	2	2	2	2
3	3	3	3	3
4	4	10	10	4
5	5	5	5	5
6	6	6	6	6
7	13	12	11	7
8	8	8	8	8
9	9	9	9	9

(b) VaterSohn aus 7

Abbildung 5: Anhand der ersten Zeile der VaterSohn-Matrix aus 6 sehen wir anhand der Indizes der neuen Elemente, dass das erste Element in vier Elemente geteilt wurde, also eine isotrope Teilung durchgeführt wurde. Anhand der Indizes in der zweiten Zeile erkennen wir, dass das Element vertikal in zwei neue Elemente geteilt wurde. Das Element 3 wurde hingegen nicht geteilt. Zum Vergleich mit dem Beispiel 7, wurde hier auch die zugehörige VaterSohn-Matrix dargestellt.

5.3 Berechnung der A Matrix

An dieser Stelle wenden wir uns noch einmal der Berechnung der Matrix $A \in \mathbb{R}^{N \times N}$ zu, deren Einträge bestimmt sind durch das Integral

$$A_{jk} = \int_{T_j} \int_{T_k} \frac{1}{4\pi} \frac{1}{|\mathbf{x} - \mathbf{y}|} ds_{\mathbf{y}} ds_{\mathbf{x}}. \quad (5.4)$$

Da die Berechnung aller Einträge sehr aufwändig ist, haben wir die entsprechenden Funktionen nicht direkt in MATLAB implementiert, sondern mithilfe der MEX-Schnittstelle in C++. MATLAB benötigt dazu die Bibliothek „mex.h“ und die spezielle MEX-Funktion als Einstiegspunkt mit der Gestalt

```
void mexFunction(int nlhs, mxArray *plhs[], int nrhs, const mxArray *prhs[]); .
```

Dabei steht `nlhs` für die erwartete Anzahl der Rückgabe-Parameter, welche im Array `*plhs[]` abgespeichert werden müssen. Im Array `*prhs[]` werden die Eingabe-Parameter von MATLAB übergeben, dessen Anzahl über `nrhs` abgefragt werden kann. Weiterhin stehen noch wichtige MEX-Funktionen zum Umwandeln der Parameter sowie dem Zugriff auf MATLAB-Funktionen und Ausgaben zur Verfügung.

Die Implementierung des Integrals (5.4) wurde in `mex_build_v` (Anhang A.1.1) mithilfe der beiden Bibliotheken `slpRectangle` (Anhang A.1.3, A.1.2) und `gauss` (Anhang A.1.4) umgesetzt. Innerhalb von MATLAB kann der Code dann kompiliert werden mit

```
mex 'mex_build_v.cpp' 'slpRectangle.cpp' CFLAGS="\$CFLAGS -O2 -fopenmp"...
CXXFLAGS="\$CXXFLAGS -O2 -fopenmp" LDFlags="\$LDFlags -O2 -fopenmp".
```

Nach erfolgreichem Kompilieren wurde eine `mex_build_v.mexa64` Datei für ein 64bit System erstellt, welche dann in MATLAB über

```
A = mex_build_v(coo, ele, zeta, typ);
```

aufgerufen werden kann. Hierbei steht, wie in der Datenstruktur beschrieben, `coo` für die Koordinatenmatrix und `ele` für die Elementmatrix. Weiterhin sei `zeta` ein Array mit den Einträgen $zeta = (q, \zeta_Q, \zeta_E)$. Mithilfe des Parameters $q \in \{0, 1, 2, 3, 4, 5\}$ kann die Anzahl 2^q der Auswertungsstellen für die Gauss-Quadratur gewählt werden. Die beiden Parameter $\zeta_Q, \zeta_E \in \mathbb{R}^+$

werden in den Zulässigkeitsbedingungen verwendet. Der Parameter $\tau_{yp} \in \{1, 2, 3, 4\}$ steht für die Art der Berechnung.

Insgesamt wurden vier Arten der Berechnung implementiert.

1. Bei der voll analytischen Berechnung von A werden
 - alle Elemente analytisch mittels Stammfunktion berechnet.
2. In der vollen Quadratur für zulässige Elemente werden
 - ζ_Q -zulässige Elemente mit Gauss-Quadratur über alle Integrale
 - und alle anderen analytisch mittels Stammfunktion berechnet.
3. Bei der geeigneten Quadratur für zulässige Elemente werden
 - ζ_E -zulässige Elemente mit Gauss-Quadratur über ein Element,
 - ζ_Q -zulässige Elemente mit Gauss-Quadratur über alle Integrale
 - und alle anderen analytisch mittels Stammfunktion berechnet.
4. In der Quadratur über ein Element für zulässige Elemente werden
 - ζ_E -zulässige Elemente mit Gauss-Quadratur über ein Element
 - und alle anderen analytisch mittels Stammfunktion berechnet.

Da der Code sehr umfangreich geworden ist, werden wir an dieser Stelle nur einige Details hervorheben.

Wie schon erwähnt, dient die `mex_build_v.cpp` als Einstiegspunkt für MATLAB. In ihr haben wir die Auswertung der Parameter sowie das Ermitteln der Integrationsgrenzen implementiert. Weiterhin iterieren wir hier mittels `for`-Schleifen auch über die Einträge der Matrix, um dann die geeignete Berechnungsfunktion des Eintrags A_{jk} aufzurufen.

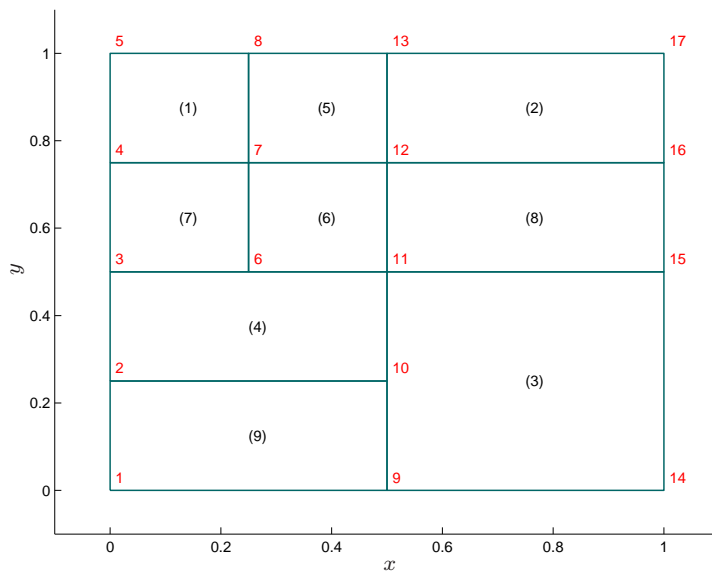
Da die Berechnungen der einzelnen Matrixeinträge unabhängig voneinander sind, haben wir an dieser Stelle die `for`-Schleifen zur Nutzung von paralleler Berechnung auf mehreren Kernen optimiert. Dafür nutzen wir die freie Bibliothek `omp.h`.

Die Implementierung der Berechnung eines Eintrags A_{jk} befindet sich in der `slpRectangle.cpp`. Auch hier haben wir zwischen parallel und orthogonal liegenden Elementen unterschieden. Weiterhin haben wir versucht die Funktionen möglichst direkt von der Analysis aus Kapitel 4 in C++ zu implementieren und auf mögliche Optimierungen zur Fehlervermeidung zu verzichten.

5.4 Beispielnetz mit Verfeinerung

An dieser Stelle wollen wir noch einmal das Netz des Quadrats aus Abbildung 8a betrachten. Wir wenden dazu die Netzverfeinerung aus Kapitel 5.2 mit dem Markierungsvektor $marked = (2, 3, 1, 3)$ auf das Startnetz an und erhalten dadurch das Netz aus Abbildung 6a. Die drei zugehörigen Matrizen COO , ELE und NEI , welche in Kapitel 5.1 genauer beschrieben wurden, finden wir in den Abbildungen 6b, 6c, 6d.

Wenn wir nun in diesem Netz das Element 7 durch eine Teilung vom Typ 2 weiter verfeinern, muss auch das Element 4 geteilt werden. Abbildung 7 stellt dieses neue Netz dar und zeigt, dass der Algorithmus 2.8 die nötigen Teilungen vornimmt.



(a) Lage

Index	x1	x2	x3
1	0	0	0
2	0	0.25	0
3	0	0.5	0
4	0	0.75	0
5	0	1	0
6	0.25	0.5	0
7	0.25	0.75	0
8	0.25	1	0
9	0.5	0	0
10	0.5	0.25	0
11	0.5	0.5	0
12	0.5	0.75	0
13	0.5	1	0
14	1	0	0
15	1	0.5	0
16	1	0.75	0
17	1	1	0

(b) Koordinatenmatrix

Index	c1	c2	c3	c4
1	4	7	8	5
2	12	16	17	13
3	9	14	15	11
4	2	10	11	3
5	7	12	13	8
6	6	11	12	7
7	3	6	7	4
8	11	15	16	12
9	1	9	10	2

(c) Elementmatrix

Index	n1	n2	n3	n4	n5	n6	n7	n8
1	7	5	0	0	0	0	0	0
2	8	0	0	5	0	0	0	0
3	0	0	8	9	0	0	0	4
4	9	3	7	0	0	0	6	0
5	6	2	0	1	0	0	0	0
6	4	8	5	7	0	0	0	0
7	4	6	1	0	0	0	0	0
8	3	0	2	6	0	0	0	0
9	0	3	4	0	0	0	0	0

(d) Nachbarschaftsrelationen

Abbildung 6: Dieses Beispielnetz entsteht durch die Verfeinerung von Netz 8 mit dem Markierungsvektor $marked = (2, 3, 1, 3)$. Zum Verfeinern wurde der Algorithmus 2.8 mit der Implementierung aus A.2.2 verwendet. In schwarz wurde der Index der Elemente und in rot der Index der Koordinaten eingezeichnet.

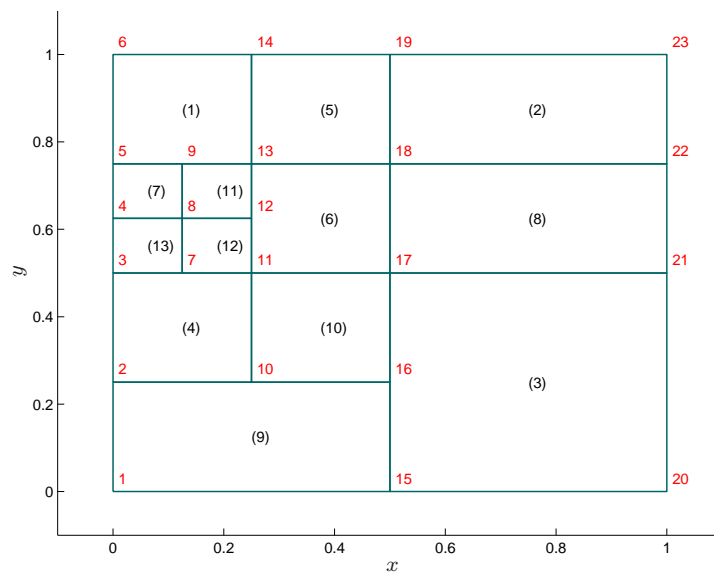


Abbildung 7: Dieses Netz entsteht durch die Verfeinerung von Element 7 aus dem Netz 6. In schwarz wurde der Index der Elemente und in rot der Index der Koordinaten eingezeichnet. Es zeigt, dass zusätzlich Elemente verfeinert werden, um die Forderung von maximal drei Knoten auf einer Kante zu erfüllen.

6 Numerische Experimente

In diesem Abschnitt werden wir anhand von zwei Beispielgeometrien die gezeigten Zusammenhänge genauer untersuchen. Hierzu werden wir zunächst einige Fehlerschätzer definieren, welche auch lokale Aussagen auf den Netzen zulassen. Weiterhin werden wir eine Strategie zum Markieren von Elementen vorstellen, die die Definition eines adaptiven Algorithmus ermöglicht. Da wir durch verschiedene Strategien die Stabilität der Berechnungen sicherstellen wollen, werden wir unsere Berechnungen auf das Lösen der Gleichung

$$V\phi = 1$$

mit konstanter rechter Seite beschränken.

Alle Experimente wurden auf einem Rechner mit acht Intel(R) Xeon(R) Prozessoren mit jeweils 2.5GHz durchgeführt. Auf dem Betriebssystem Ubuntu 3.0.0-32-server mit 32GB verfügbaren Arbeitsspeicher wurde die gcc Version 4.6.1 und MATLAB R2011a (7.12.0) 64bit verwendet. Während den Berechnungen konnte eine Systemauslastung von etwa 700 % beobachtet werden, welches der Benutzung von sieben Kernen entspricht.

6.1 Fehlerschätzer

Mithilfe des Galerkin-Verfahrens berechnen wir nur eine approximative Lösung von (2.2), für die wir eine Aussage über die Genauigkeit der Lösung treffen wollen. Da wir für den Fehler $\|\phi - \phi_\ell\|$ nur die Galerkin-Lösung ϕ_ℓ kennen und die exakte Lösung ϕ unbekannt ist, werden wir im Folgenden verschiedene Fehlerschätzer betrachten. Im Wesentlichen werden wir hierzu die $h - h/2$ Strategie aus [3] verwenden. Im Folgenden bezeichnen wir mit $\hat{\mathcal{T}}_\ell$ das Gitter, welches entsteht, wenn das Gitter \mathcal{T}_ℓ uniform, also entlang aller Kanten geteilt wird. Weiterhin bezeichne ϕ die exakte Lösung des Galerkin-Verfahrens und ϕ_ℓ die Galerkin-Lösung zum Gitter \mathcal{T}_ℓ sowie $\hat{\phi}_\ell$ die Galerkin-Lösung zum uniformen Gitter $\hat{\mathcal{T}}_\ell$.

Definition 6.1 *Es bezeichne ϕ die exakte Lösung von (2.2), ϕ_ℓ die Galerkin-Lösung von (2.4) auf dem Gitter \mathcal{T}_ℓ und $\hat{\phi}_\ell$ die Galerkin-Lösung auf dem uniform verfeinerten Gitter $\hat{\mathcal{T}}_\ell$. Dann gilt, der Schätzer*

$$\eta_\ell := \|\hat{\phi}_\ell - \phi_\ell\|$$

ist effizient

$$\eta_\ell \leq \|\phi - \phi_\ell\|$$

und unter der Saturationsannahme

$$\|\phi - \hat{\phi}_\ell\| \leq C_{sat} \|\phi - \phi_\ell\| \quad \text{mit } 0 < C_{sat} < 1$$

zuverlässig

$$\|\phi - \phi_\ell\| \leq \frac{1}{\sqrt{1 - C_{sat}^2}} \eta_\ell.$$

Der Schätzer ist berechenbar, liefert aber keine lokalen Beiträge und kann daher nicht unmittelbar verwendet werden, um einen adaptiven Algorithmus zu steuern. Hierzu definieren wir weitere Schätzer. Für jedes $T_j \in \mathcal{T}_\ell$ bezeichnen wir mit $\varrho_j := \min\{\mathcal{D}_a(T_j), \mathcal{D}_b(T_j)\} > 0$ die Länge der kürzesten Seite von T_j und mit $h_j := \mathcal{D}(T_j) > 0$ den Durchmesser von T_j . Weiterhin definieren wir die lokalen Netzweiten $\varrho, h \in L^\infty$ durch $\varrho|_{T_j} = \varrho_j$ und $h|_{T_j} = h_j$.

Definition 6.2 (A-posteriori Fehlerschätzer) Es bezeichne ϕ die exakte Lösung von (2.2), ϕ_ℓ die Galerkin-Lösung von (2.4) auf dem Gitter \mathcal{T}_ℓ und $\hat{\phi}_\ell$ die Galerkin-Lösung auf dem uniform verfeinerten Gitter $\hat{\mathcal{T}}_\ell$. Dann gilt nach [3, Theorem 3.2 und 3.4], die Fehlerschätzer

$$\mu_\ell = \|\varrho^{1/2}(\hat{\phi}_\ell - \phi_\ell)\|_{L^2(\Gamma)} \quad (6.1)$$

$$\tilde{\eta}_\ell = \|\hat{\phi}_\ell - \Pi_\ell \hat{\phi}_\ell\| \quad (6.2)$$

$$\tilde{\mu}_\ell = \|\varrho^{1/2}(\hat{\phi}_\ell - \Pi_\ell \hat{\phi}_\ell)\|_{L^2(\Gamma)}, \quad (6.3)$$

wobei Π_ℓ die L_2 Projektion auf $P^0(\mathcal{T}_\ell)$ ist,

- sind mit Konstanten $C_3, C_4 > 0$ äquivalent
 $\eta_\ell \leq \tilde{\eta}_\ell \leq C_4 \|(h/\varrho)^{1/2}\|_{L^\infty(\Gamma)} \tilde{\mu}_\ell$ und $\tilde{\mu}_\ell \leq \mu_\ell \leq \sqrt{2}C_3 \eta_\ell$,
- sind effizient und
- sind unter Saturationsannahme auch zuverlässig.

6.2 Markieren

Im adaptiven Algorithmus werden wir die Elemente abhängig vom Fehlerschätzer $\tilde{\mu}$ verfeinern. Dazu wählen wir mithilfe der Dörfler-Markierung [2] eine Teilmenge aus.

Definition 6.3 (Dörfler-Markierung) Bestimme für feste Konstante $\theta \in (0, 1]$ die Menge $M_\ell \subseteq \mathcal{T}_\ell$ mit minimaler Kardinalität

$$\theta \sum_{T \in \mathcal{T}_\ell} \tilde{\mu}_\ell(T)^2 \leq \sum_{T \in M_\ell} \tilde{\mu}_\ell(T)^2.$$

Um die Symmetrie des Netzes zu erhalten, bestimme weiterhin für feste Konstante $\vartheta \in (0, 1)$ die kleinste Teilmenge $\tilde{M}_\ell \subseteq \mathcal{T}_\ell \setminus M_\ell$ für die gilt

$$\vartheta \sum_{T \in M_\ell} \tilde{\mu}_\ell(T)^2 < \sum_{T \in \tilde{M}_\ell} \tilde{\mu}_\ell(T)^2.$$

Die Menge der markierten Elemente ist dann gegeben durch $M_\ell \cup \tilde{M}_\ell$.

Im Folgenden werden wir $\vartheta = 10^{-2}$ wählen. Da wir im Adaptiven Algorithmus auch anisotrope Verfeinerungen zulassen wollen, definieren wir an dieser Stelle eine Auswahlstrategie zum Bestimmen der Verfeinerungsart für jedes Element.

Definition 6.4 Seien $\phi_j^{(1)}, \dots, \phi_j^{(4)}$ die Lösungen der isotropen Verfeinerung $T_j^{(1)}, \dots, T_j^{(4)} \in \hat{\mathcal{T}}_\ell$ von $T_j \in \mathcal{T}_\ell$, dann sei C_j zum Element T_j definiert durch

$$\begin{pmatrix} C_j^{(1)} \\ C_j^{(2)} \\ C_j^{(3)} \\ C_j^{(4)} \end{pmatrix} = \frac{1}{4} \begin{pmatrix} 1 & 1 & 1 & 1 \\ 1 & -1 & 1 & -1 \\ 1 & 1 & -1 & -1 \\ 1 & -1 & -1 & 1 \end{pmatrix} \begin{pmatrix} \phi_j^{(1)} \\ \phi_j^{(2)} \\ \phi_j^{(3)} \\ \phi_j^{(4)} \end{pmatrix}.$$

Dann ist mit fester Konstante $\nu \in [0, 1)$ die Art der Markierung marked_j zu einem Element $T_j \in \tilde{M}_\ell$ wie in [3, Kapitel 4.5] bestimmt durch

$$\text{marked}_j := \begin{cases} 3 & (\text{vertikal}) & \text{falls } \nu |C_j^{(3)}| \geq \sqrt{|C_j^{(2)}|^2 + |C_j^{(4)}|^2} \\ 4 & (\text{horizontal}) & \text{falls } \nu |C_j^{(4)}| \geq \sqrt{|C_j^{(2)}|^2 + |C_j^{(3)}|^2} \\ 2 & (\text{isotrop}) & \text{sonst.} \end{cases}$$

Weiterhin sei $\text{marked}_j = 1$ für alle $T_j \in \mathcal{T}_\ell \setminus \tilde{M}_\ell$.

Die Funktion A.2.3

```
marked = mark(xF2S, tmu, theta, nu);
```

implementiert die Definitionen zum Bestimmen der Markierung. Hierbei seien die Einträge der Matrix $xF2S \in \mathbb{R}^{N \times 4}$ geben durch $(xF2S)_{ij} = \langle \hat{\phi}_\ell, \chi_{(F2S_{ij})} \rangle$.

6.3 Adaptivität

Mithilfe der oben definierten Funktionen ist es uns nun möglich den Ablauf der Berechnungen zusammen zu fassen.

Algorithmus 6.5 (Adaptives Verfahren) Sei $\theta, \nu \in (0, 1)$ fest gewählt und das Startnetz \mathcal{T}_ℓ gegeben.

- (i). Verfeinere \mathcal{T}_ℓ um $\hat{\mathcal{T}}_\ell$ zu erhalten
- (ii). Berechne die Galerkin-Lösung $\hat{\phi}_\ell \in P^0(\hat{\mathcal{T}}_\ell)$ von (2.4)
- (iii). Berechne Fehlerschätzer $\tilde{\mu}_i := \|\varrho^{1/2}(\hat{\phi}_\ell - \Pi_\ell \hat{\phi}_\ell)\|$
- (iv). Wähle Teilmenge $M_\ell \subseteq \mathcal{T}_\ell$ durch Definition 6.3 und 6.4
- (v). Verfeinere mindestens die markierten Elemente M_ℓ durch Algorithmus 2.8, um $\mathcal{T}_{\ell+1}$ zu erhalten
- (vi). $\ell \mapsto \ell + 1$, gehe zu (i)

6.4 Beispiel Quadrat-Schirm

Im Folgenden werden wir die Laplace-Gleichung

$$\begin{aligned} -\Delta u &= 0 & \text{in } \Omega \subset \mathbb{R}^3, \\ u|_\Gamma &= 1 & \text{auf } \Gamma, \end{aligned} \tag{6.4}$$

mit dem Startnetz aus Abbildung 8a, einem Quadrat in der $z = 0$ Ebene, genauer betrachten. Die vier Eckpunkte des Quadrat-Schirms sind hierbei gegeben durch

$$\{(0, 0, 0), (1, 0, 0), (1, 1, 0), (0, 1, 0)\}.$$

Die Lösung ϕ kann nicht exakt bestimmt werden, weist aber an den vier Eckpunkten Singularitäten auf. Wir werden aber trotzdem die Energienorm als Referenzlösung mithilfe des *Aitken'schen* Δ^2 -Verfahren bestimmen. Das Verfahren dient zum Beschleunigen der Konvergenz von Folgen. Damit schätzen wir für die exakte Lösung ϕ die Energienorm $\|\phi\|^2 \approx 4.609193$.

6.4.1 Vergleich verschiedener Verfeinerungsstrategien

Zunächst wollen wir drei Verfeinerungs-Strategien genauer untersuchen. Hierzu betrachten wir zum einen die Strategie „uniform“ ($\theta = 1, \nu = 0$), bei der das verfeinerte Netz $\mathcal{T}_{\ell+1}$ durch isotrope Verfeinerung aller Elemente entsteht, also jedes Element wird in vier gleich große Elemente geteilt. In der zweiten Strategie „adaptiv isotrop“ ($\theta = 0.5, \nu = 0$) werden wir zulassen, dass nicht alle Elemente verfeinert werden, also nur eine Teilmenge wird jeweils in vier gleich große Elemente geteilt. Und in der letzten Strategie „adaptiv anisotrop“ ($\theta = 0.5, \nu = 0.5$) werden wir außerdem anisotrope Teilungen zulassen, also ein Teil der Elemente wird geeignet in

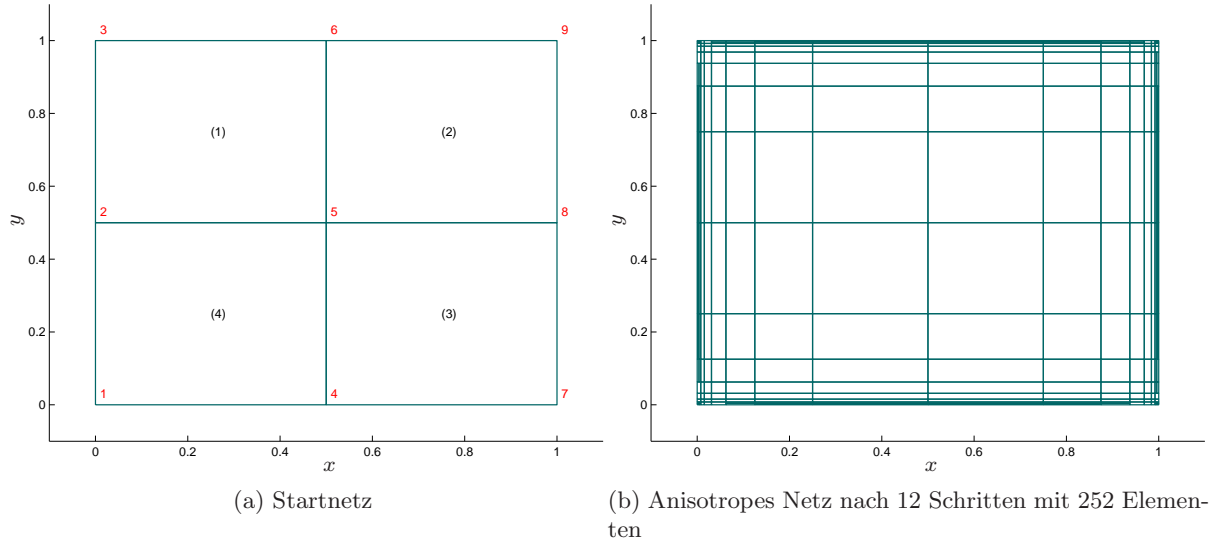


Abbildung 8: Das Startnetz zeigt die Geometrie Quadrat in der $z = 0$ Ebene für die Beispiele 6.4. Anhand des Netzes der anisotropen Verfeinerung lässt sich gut erkennen, dass die Geometrie wie erwartet vorwiegend an den Singularitäten, also am Rand verfeinert wird.

zwei oder vier gleich große Elemente geteilt. Für alle drei Strategien werden wir den Algorithmus 6.5 mit entsprechenden Parametern θ, ν zum Lösen von (6.4) verwenden.

In Abbildung 9a betrachten wir für die jeweilige Strategie jeweils die Fehlerschätzer $\tilde{\mu}$ und η sowie den Fehler gegenüber der tatsächlichen Lösung. Die Werte wurden jeweils über die Elementanzahl des \mathcal{T}_ℓ Netzes aufgetragen. Anhand der dunkelgrünen Linien erkennen wir, dass der Fehler bei der „uniformen“ Strategie mit etwa $\mathcal{O}(N^{-1/4})$ gegen 0 strebt. Gerechnet wurde hier bis zu einer Elementanzahl des \mathcal{T}_ℓ Netzes von etwa 3000, für das der Fehler der Energienorm im Bereich von 1 liegt.

Anhand der Linien in zyan, beobachten wir eine schnellere Konvergenz der „adaptiv isotropen“ Strategie. Denn hier lässt sich eine Konvergenzrate von $\mathcal{O}(N^{-1/2})$ gegen 0 erkennen. Bei dieser Strategie erreichen wir für die gleiche Elementanzahl des \mathcal{T}_ℓ Gitters schon einen Fehler im Bereich von 0.1.

Betrachten wir nun die Strategie „adaptiv anisotrop“ in magenta, so beobachten wir eine kurzzeitig sehr starke Konvergenz, welche dann gegen eine sehr gute Konvergenzrate von $\mathcal{O}(N^{-3/4})$ strebt. Hierbei erkennen wir, dass der Fehler der Energienorm schon im Bereich von 0.01 für die gleiche Elementanzahl liegt. Jedoch sehen wir auch, dass der Fehlerschätzer $\tilde{\mu}$ ab dieser Elementanzahl seine Konvergenzrate verliert und damit unzuverlässig wird.

Weiterhin können wir für alle drei Strategien anhand der Parallelität der Fehlerschätzer zum tatsächlichen Fehler, die Effizienz und Zuverlässigkeit der Fehlerschätzer erkennen. Ebenso ist die Äquivalenz des $h - h/2$ Schätzers zum lokalen $\tilde{\mu}$ Schätzers, aufgrund der Parallelität zu beobachten. Außerdem beschreiben die Fehlerschätzer den tatsächlichen Fehler auch in der Größenordnung sehr gut.

In Abbildung 9b betrachten wir bestimmte Eigenschaften zwischen den Seitenverhältnissen der Elemente aus dem \mathcal{T}_ℓ Netz für die jeweilige Strategie. h_{\min} steht hierbei für die kürzere Seite eines Rechtecks $T \in \mathcal{T}_\ell$ und h_{\max} für die längere der beiden Seiten. Weiterhin verstehen wir das Minimum $\min()$ und Maximum $\max()$ über alle Elemente $T \in \mathcal{T}_\ell$. Wir werden nun das Verhältnis der kleinsten kurzen Seite gegenüber der größten langen Seite $\min(h_{\min})/\max(h_{\max})$, das Verhältnis der kleinsten langen gegenüber der größten langen Seite $\min(h_{\max})/\max(h_{\max})$

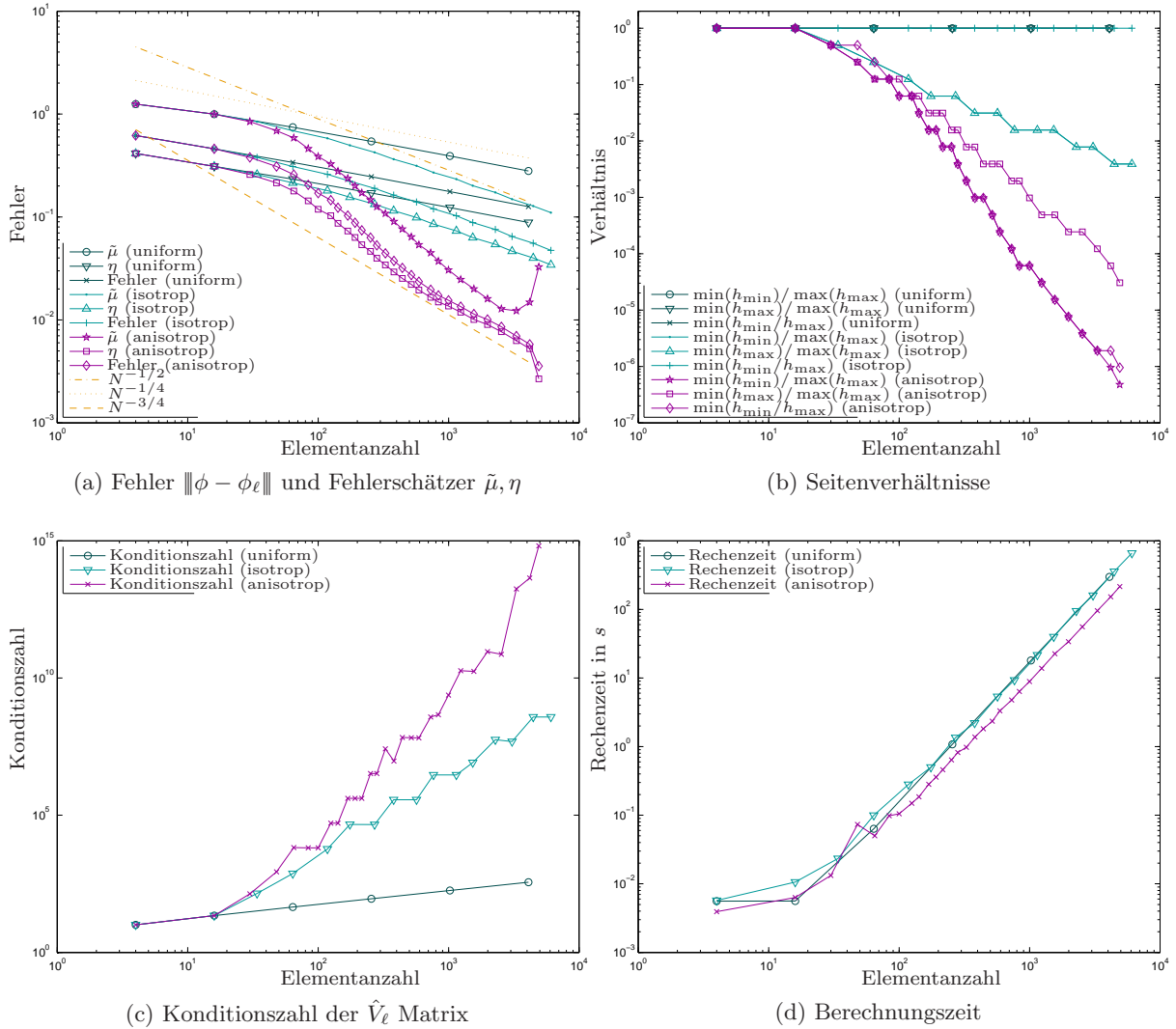


Abbildung 9: Vergleich der Verfeinerungsstrategien auf dem Quadrat in Beispiel 6.4.1

sowie das kleinste Verhältnis der kurzen gegenüber der langen Seiten $\min(h_{\min}/h_{\max})$ für die drei Strategien genauer betrachten.

Bei der „uniformen“ Strategie, dargestellt durch die **dunkelgrüne** Linien, sind wie erwartet, alle Verhältnisse gleich 1, da alle Elemente deckungsgleich sind.

Bei der „adaptiv isotropen“ Strategie in **zyan** ist am Verhältnis $\min(h_{\min}/h_{\max}) = 1$ gut zu erkennen, dass alle Elemente Quadrate sind. Die beiden anderen Verhältnisse zeigen, dass bei zunehmender Elementanzahl die Differenz der Elementgrößen zunimmt.

Anhand der **magenta** farbigen Linien, also der „adaptiv anisotropen“ Strategie, beobachten wir am kleiner werdenden Verhältnis $\min(h_{\min}/h_{\max})$, dass mit zunehmender Elementanzahl lange schmale Elemente entstehen. Am kleiner werden der anderen beiden Verhältnisse erkennen wir auch hier, dass die Differenz der Elementgrößen zunimmt.

Um auch die Stabilität der drei Strategien untersuchen zu können, sehen wir in der Abbildung 9c die Konditionszahlen der Matrix \hat{V}_ℓ in Abhängigkeit der Elementanzahl. Für die „uniforme“ Strategie in **dunkelgrün** erkennen wir sehr gute Konditionszahlen, wissen aber, dass auch der Fehler der Galerkin-Lösung nur langsam gegen 0 konvergiert. Die Konditionszahlen der „adaptiv anisotropen“ Strategie in **magenta** wachsen hingegen am schnellsten und steigen bei etwa 3000

Elementen sogar sprunghaft an.

Weiterhin können wir in Abbildung 9d die benötigte Rechenzeit für einen Berechnungsschritt ablesen. In einem Berechnungsschritt wird die Matrix \hat{V}_ℓ und V_ℓ aufgestellt und die Galerkin-Lösung inklusive aller Fehlerschätzer berechnet. Hierbei fällt auf, dass die Wahl der Strategie keinen Einfluss auf die benötigte Rechenzeit hat, sondern nur die Anzahl der Elemente. Für die Berechnung mit 3000 Elementen benötigen alle drei Strategien etwa 100 Sekunden, was etwa zwei Minuten entspricht.

Diese Ergebnisse zeigen also, dass die „adaptiv anisotrope“ Strategie die beste Konvergenzrate aufweist, wir dafür jedoch eine schlechtere Konditionszahl der Matrix in Kauf nehmen müssen. Dies ist letztendlich auf die Größe und Form der Elemente zurückzuführen. An dieser Stelle wollen wir noch zusätzlich Abbildung 8b betrachten, welche das „adaptiv anisotrop“ verfeinerte Netz nach 12 Schritten darstellt. Denn hier erkennen wir sehr gut, dass diese Strategie das Netz insbesondere an den Singularitäten verfeinert.

Ziel wird es nun sein, die Instabilitäten, die bei der analytischen Berechnung auftreten, durch Quadratur zu vermeiden. Dafür werden wir vorher noch Berechnungen mit verschiedenen Quadraturgraden genauer untersuchen.

6.4.2 Vergleich verschiedener Quadraturgrade

Bei der folgenden Berechnung verwenden wir wieder den Algorithmus 6.5 mit Parametern $\theta = 0.5, \nu = 0.5$ zum Lösen von (6.4), wobei alle Integrale von ζ_Q -zulässigen Elementen durch die vorgestellte Gauss-Quadratur approximiert werden. Hierbei wählen wir jeweils 1, 2, 4 oder 8 Auswertungsstellen. Alle vier Berechnungsarten führen wir auf denselben Netzen aus, um die Ergebnisse nicht durch die Wahl des Netzes zu beeinflussen. Zum Berechnen des $\tilde{\mu}_\ell$ -Schätzers, welcher die Verfeinerung steuert, verwenden wir in jedem Schritt die Lösung der Quadratur mit 8 Auswertungsstellen.

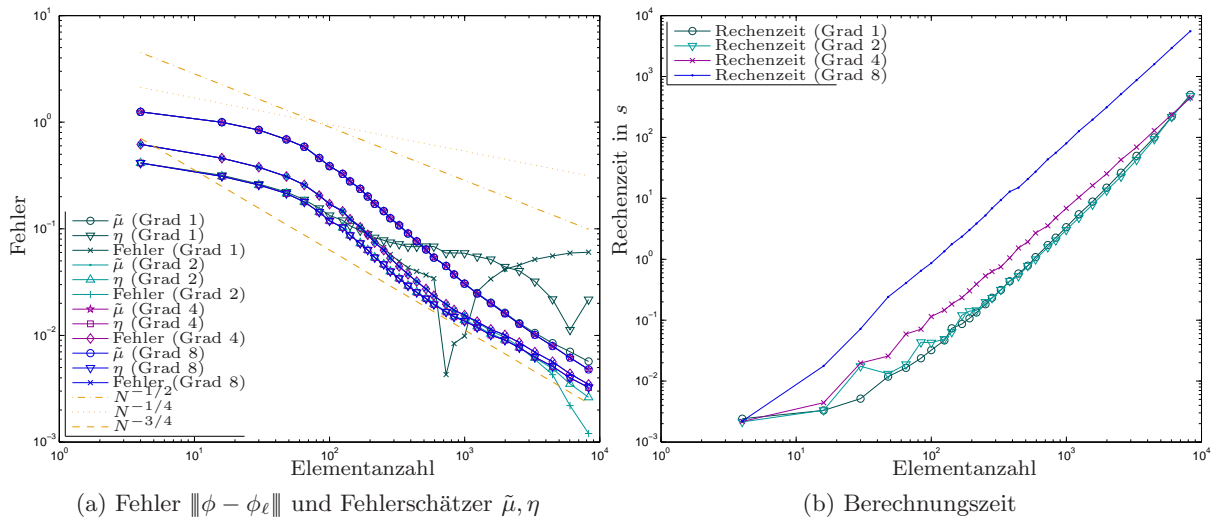


Abbildung 10: Vergleich der Quadraturgrade auf dem Quadrat in Beispiel 6.4.2

In Abbildung 10a haben wir die Ergebnisse der Fehler und Fehlerschätzer für die verschiedenen Quadraturgrade dargestellt. Wir beobachten, dass eine sowie zwei Auswertungsstellen, dargestellt durch die Linien in dunkelgrün und zyan, instabil werden. Für die Quadraturgrade vier und acht, dargestellt durch die Linien in magenta und blau, erkennen wir, dass die Berechnungen stabil bleiben und das auch für Elementanzahlen, bei denen die analytische Berechnung

(vergleiche Abbildung 9) versagt.

Da wir möglichst ökonomisch arbeiten wollen, haben wir auch die Berechnungszeiten für die Matrix \hat{V}_ℓ in Abbildung 10b untersucht. Wie sich leicht erkennen lässt, benötigt die Berechnung mit Quadraturgrad 8, dargestellt durch die Linie in **blau**, für 3000 Elemente etwa 1000 Sekunden. Die Berechnungszeiten für die Quadraturgrade 1,2,4 benötigen hingegen wesentlich weniger Rechenzeit und sind fast äquivalent. Sie berechnen die Matrix \hat{V}_ℓ mit 3000 Elementen in etwa 100 Sekunden und sind damit etwa 16 Mal schneller als die Quadratur vom Grad 8.

Aufgrund dieser Ergebnisse werden wir für die folgenden Berechnungen einen Quadraturgrad von 4 wählen. Da wir zum einen die Berechnungszeiten gering halten und zum anderen die Stabilität der Berechnungen sicherstellen wollen.

6.4.3 Vergleich verschiedener Berechnungsarten

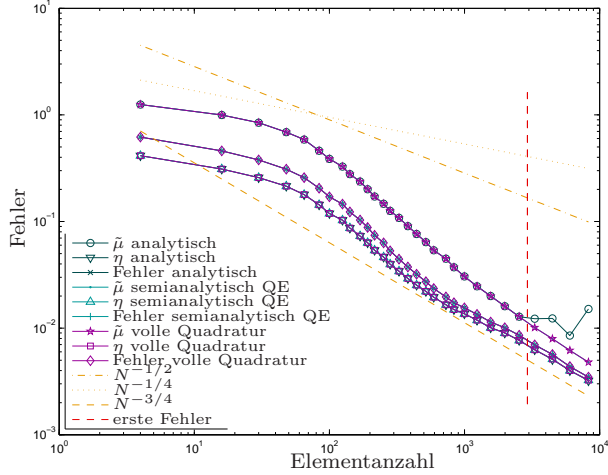
Wie wir für die analytische Berechnung mit adaptiv anisotroper Netzverfeinerung in Abbildung 9a gesehen haben, wird der Fehlerschätzer $\tilde{\mu}_\ell$ ab etwa 3000 Elementen instabil. Deswegen wollen wir an dieser Stelle verschiedene Strategien zur Approximation der Matrix \hat{V}_ℓ vorstellen.

Bei den folgenden Berechnungen werden wir wieder den Algorithmus 6.5 mit Parametern $\theta = 0.5, \nu = 0.5$ zum Lösen von (6.4) verwenden, wobei für alle auftretenden Gauss-Quadraturen der Grad 4 gewählt wurde. Alle Berechnungsarten werden auf denselben Netzen ausgeführt um die Ergebnisse nicht durch die Wahl des Netzes zu beeinflussen.

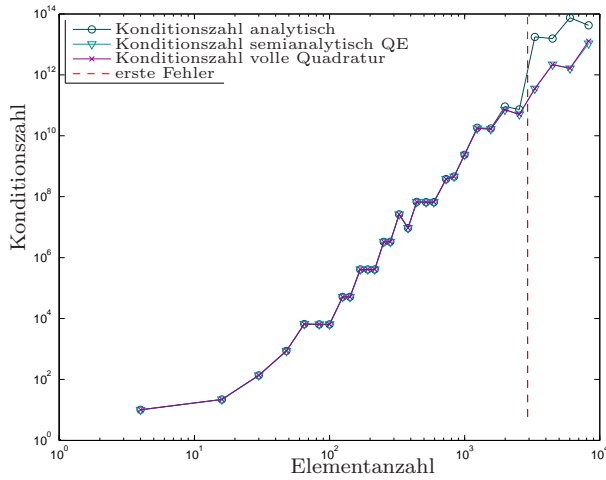
Wir werden nun die Matrix \hat{V}_ℓ in der „analytischen“ Strategie durch die in Kapitel 4 vorgestellten Stammfunktionen analytisch berechnen. Dann werden wir für ζ_E -zulässige Elemente wie in Kapitel 3.4 das Integral über das kleinere Element durch Gauss-Quadratur ersetzen. Alle anderen Elemente werden bei dieser „semianalytischen“ Strategie weiterhin analytisch berechnet. In der letzten Strategie „volle Quadratur“ berechnen wir alle ζ_Q -zulässige Elemente wie in Kapitel 3.3 durch Gauss-Quadratur und unzulässige wieder analytisch. Da wir annehmen, dass die letzte Strategie stabil sein wird, werden wir den zugehörigen $\tilde{\mu}_\ell$ Schätzer zum Steuern der Verfeinerung verwenden.

In Abbildung 11a haben wir die Ergebnisse des Fehlers gegenüber der tatsächlichen Lösung und der Fehlerschätzer $\tilde{\mu}, \eta$ für die drei Strategien in Abhängigkeit der Elementanzahl vom Netz \mathcal{T}_ℓ eingezeichnet. Anhand der **dunkelgrün**farbenen Linie, welche den Fehler und Fehlerschätzer der „analytischen“ Strategie zeigt, beobachten wir wieder eine gute Konvergenzrate bis etwa 2000 Elemente. Ab dieser Grenze, die auch in **rot** eingetragen wurde, erkennen wir deutlich, dass der $\tilde{\mu}$ Schätzer im Gegensatz zu den anderen Strategien wieder steigt. Der Fehler und η Schätzer bleibt für die „analytische“ Strategie in diesem Vergleich jedoch weiterhin stabil, was auf die Wahl des Steuerparameters der Verfeinerung zurückzuführen ist. An den Linien in **zyan** und **magenta** können wir die Ergebnisse für die „semianalytische“ und „volle Quadratur“ Strategie ablesen. Beide Strategien führen zu denselben Ergebnissen und zeigen auch für Berechnungen über 2000 Elemente eine gute Konvergenzrate von $N^{-3/4}$.

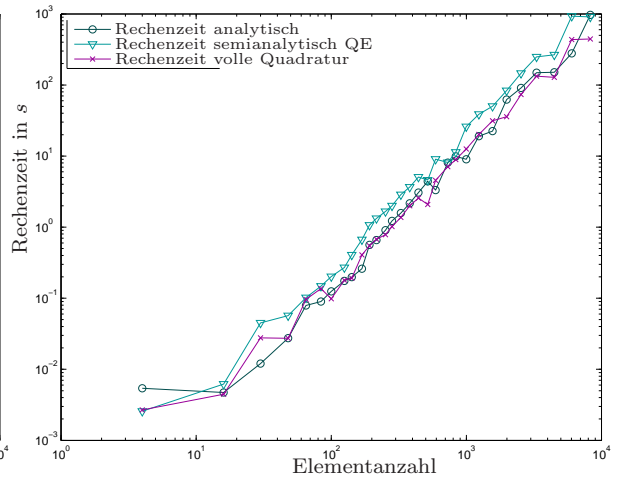
In Abbildung 11b vergleichen wir noch einmal die Konditionszahlen der \hat{V}_ℓ Matrix für die verschiedenen Strategien. Auch hier wurde die **rote** Grenzlinie bei etwa 2000 Elementen eingezeichnet. Anhand der Linie in **dunkelgrün** erkennen wir deutlich, dass ab der 2000 Elemente Grenze die Konditionszahlen für die analytische Berechnung sprunghaft gegenüber den Konditionszahlen der beiden Quadraturen in **zyan** und **magenta** ansteigen. Wir erkennen an dieser Stelle aber auch, dass die Konditionszahlen der „analytischen“ Berechnung schon ab 1000 Elementen von den Quadraturen geringfügig abweichen und damit auf eine ungünstige Berechnung hindeuten. Weiterhin wollen wir noch einmal die Laufzeit der drei Strategien in Abbildung 11c betrachten. Gemessen wurde die Zeit eines Berechnungsschritts, welches wieder das Aufstellen der Matrizen und Lösen des Gleichungssystems beinhaltet. Hier erkennen wir, dass sich die Laufzeiten der



(a) Fehler $\|\phi - \phi_\ell\|$ und Fehlerschätzer $\tilde{\mu}, \eta$



(b) Konditionszahlen der \hat{V}_ℓ Matrix



(c) Berechnungszeit

Abbildung 11: Vergleich der Berechnungsarten von \hat{V}_ℓ auf dem Quadrat in Beispiel 6.4.3

drei Strategien nur minimal voneinander unterscheiden. Für fast 10^4 Elemente benötigen alle drei Berechnungsarten etwa 10^3 Sekunden, was etwa 20 Minuten entspricht.

Die Ergebnisse zeigen, dass wir durch Gauss-Quadratur über das kleinere Element auf ζ_E -zulässigen Elementen bis an die Speichergrenze stabil rechnen können und es nicht nötig ist, alle Integrale durch Quadratur zu ersetzen. Weiterhin nimmt die Art der Berechnung von \hat{V}_ℓ kaum Einfluss auf die Laufzeit. Damit haben wir in der semianalytischen Berechnung und adaptiv anisotroper Verfeinerung ein stabile Strategie für parallele Elemente gefunden.

6.5 Beispiel Figuera Würfel

Im Folgenden werden wir die Laplace-Gleichung

$$\begin{aligned} -\Delta u &= 0 & \text{in } \Omega \subset \mathbb{R}^3, \\ u|_\Gamma &= 1 & \text{auf } \Gamma, \end{aligned} \tag{6.5}$$

mit dem Startnetz aus Abbildung 12a, einem Figuera Würfel genauer betrachten. Der Figuera Würfel ist gegeben durch einen $[-1, 1]^3$ Würfel aus dem ein $[-1, 0] \times [0, 1]^2$ Würfel heraus

geschnitten wurde. Die Lösung ϕ strebt in diesem Fall an allen außen liegenden Eckpunkten gegen $+\infty$ und an dem innen liegenden Eckpunkt $(0, 0, 0)$ gegen $-\infty$. Auch hier wurde die Energienorm $\|\phi\|^2 \approx 16.2265$ der exakten Lösung ϕ mithilfe des *Aitken'schen* Δ^2 -Verfahrens geschätzt.

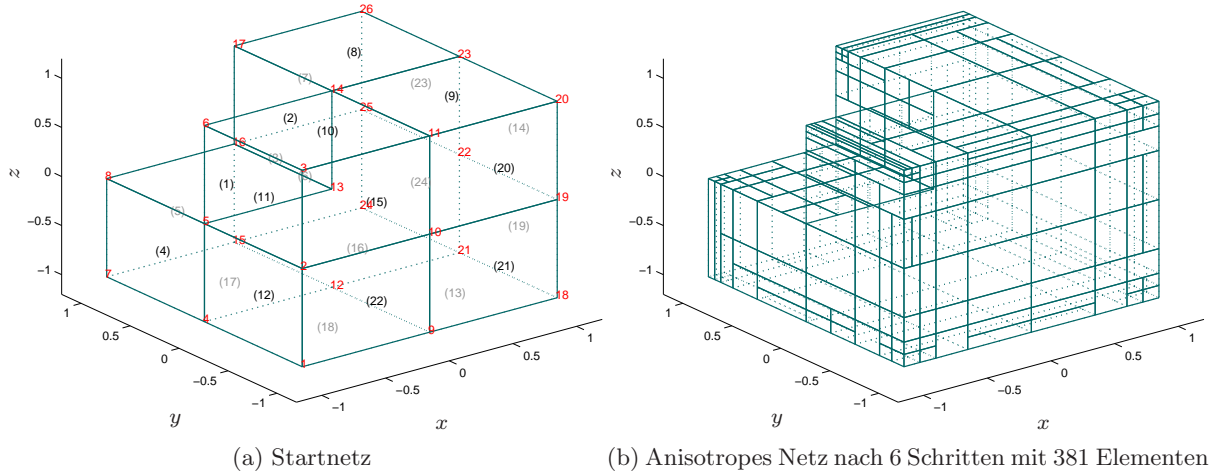


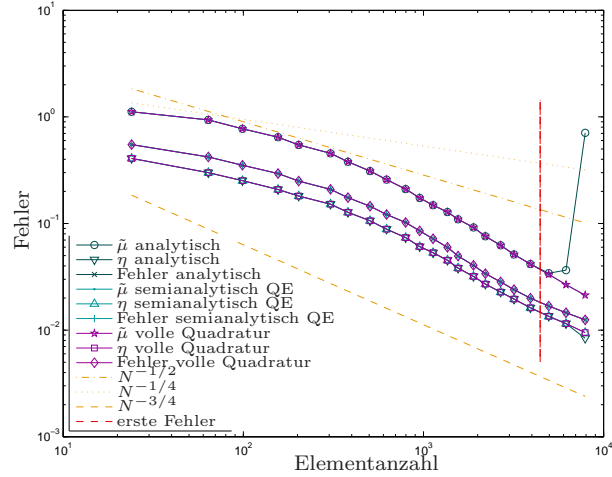
Abbildung 12: Das Startnetz zeigt die Geometrie Figuera Würfel für das Beispiel 6.5. Anhand des Netzes der anisotropen Verfeinerung lässt sich gut erkennen, dass die Geometrie wie erwartet vorwiegend an den Singularitäten, also an den Kanten verfeinert wird.

Bei den folgenden Berechnungen werden wir wieder den Algorithmus 6.5 mit Parametern $\theta = 0.5, \nu = 0.5$ zum Lösen von (6.5) verwenden, wobei für alle auftretenden Gauss-Quadraturen der Grad 4 gewählt wurde. Alle Berechnungsarten werden auf denselben Netzen ausgeführt, um die Ergebnisse nicht durch die Wahl des Netzes zu beeinflussen.

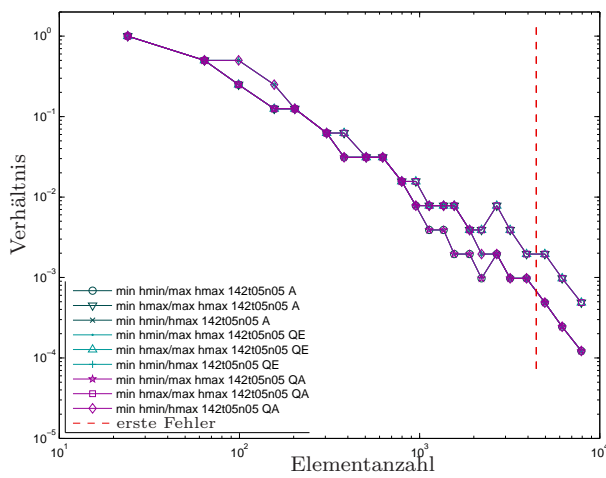
Wir werden nun die Matrix \hat{V}_ℓ in der „analytischen“ Strategie durch die in Kapitel 4 vorgestellten Stammfunktionen analytisch berechnen. Dann werden wir für ζ_E -zulässige Elemente wie in Kapitel 3.4 das Integral über das kleinere Element durch Gauss-Quadratur ersetzen. Alle anderen Elemente werden bei dieser „semianalytischen“ Strategie weiterhin analytisch berechnet. Weiterhin werden wir in der Strategie „volle Quadratur“ alle auftretenden Integrale für ζ_Q zulässige Elemente durch Gauss-Quadratur ersetzen. Da wir annehmen, dass diese Strategie wieder die zuverlässigste sein wird, werden wir den zugehörigen $\tilde{\mu}$ Schätzer zum Steuern der Netzverfeinerung verwenden.

In Abbildung 13a betrachten wir den Fehler und die Fehlerschätzer $\eta, \tilde{\mu}$ der Galerkin-Lösung für die verschiedenen Strategien. Gerechnet wurde hierbei bis zu einer Elementanzahl von etwa 8000. Anhand der Linien in **dunkelgrün** erkennen wir für die „analytische“ Berechnung wieder die erwartete Konvergenzrate von $N^{-3/4}$. Da die Kurven des $\tilde{\mu}$ und η Schätzers wieder parallel zum Fehler verlaufen, sind die Fehlerschätzer $\tilde{\mu}$ und η effektiv und zuverlässig. Ab 4000 Elementen beobachten wir am $\tilde{\mu}$ Schätzer, dass die Lösung instabil wird. Diese Grenze haben wir in **rot** eingezeichnet. Weiterhin erkennen wir anhand der Linien in **zyan** und **magenta**, dass die Berechnungen mithilfe von Quadratur weiterhin stabil bleiben und wir dadurch einen Fehler der Energienorm von etwa 0.01 erreichen.

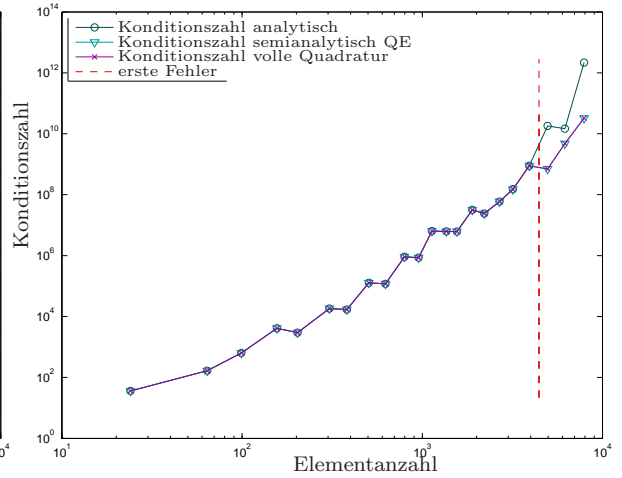
Die Konditionszahlen der \hat{V}_ℓ Matrix sehen wir in Abbildung 13c. Bis zu der Elementanzahl 4000 steigt die Kondition der Matrix für alle Strategien auf 10^9 an. Für feinere Netze erkennen wir ab der Grenze von 4000 Elementen wieder den sprunghaften Anstieg der Konditionszahl für die „analytische“ Berechnung in **dunkelgrün**.



(a) Fehler $\|\phi - \phi_\ell\|$ und Fehlerschätzer $\tilde{\mu}, \eta$



(b) Seitenverhältnisse



(c) Konditionszahlen der \hat{V}_ℓ Matrix

Abbildung 13: Vergleich der Berechnungsarten von \hat{V}_ℓ auf dem Figuera Würfel in Beispiel 6.5

Diese Beobachtungen zeigen für dreidimensionale Geometrien, dass die analytische Berechnung auf feinen Netzen instabil wird. Vergleichen wir unsere Ergebnisse mit denen aus dem Paper [3, Abbildung 13], so erreichen wir mit der „analytischen“ Strategie die gleiche Genauigkeit. Dass das Netz die Ergebnisse beeinflusst, können wir fast ausschließen, da wir vergleichbare Forderungen und Parameter an die Netzverfeinerung gestellt haben. Durch geeignetes Ersetzen der Integrale durch Gauss-Quadratur können wir jedoch die Genauigkeit der Lösung beliebig erhöhen und erreichen bis zur Netzgröße von 9000 Elementen einen Fehler der Galerkin-Lösung von 0.01. Wenn wir den Fehler für feinere Netze berechnen wollen, müssten wir entweder einen größeren Arbeitsspeicher verwenden oder andere Strategien entwickeln, welche zum Beispiel unter Verwendung von h -Matrizen durch Approximation eine Komprimierung der Matrix zulassen.

A Anhang Code

Abschließend werden wir die für die numerischen Experimente verwendeten Funktionen vorstellen. Hierbei wollen wir anmerken, dass wir im Laufe der Untersuchungen eine Erweiterung eingeführt haben, auf die wir in den vorherigen Kapiteln nicht eingegangen sind.

Um Berechnungsfehler für die Seitenlängen und Flächeninhalte in MATLAB zu vermeiden, haben wir die zusätzliche Matrix $sites \in \mathbb{N}^{N \times 2}$ eingeführt. Eine Zeile $sites_j = (a_j, b_j)$ mit $j \in \{1, \dots, N\}$ der Matrix entspricht der Anzahl der Halbierungen der Seitenlängen a, b aus Definition 2.1 vom Element T_j , gelten muss hierbei $a = 2^{-a_j}$ und $b = 2^{-b_j}$. Dadurch können wir den Flächeninhalt von T_j durch $|T_j| = 2^{-(a_j+b_j)}$ bestimmen.

In der Implementierung für die Berechnung der Matrixeinträge $A_{jk} = \int_{T_j} \int_{T_k} \frac{1}{|x-y|} ds_y ds_x$ wurde diese Erweiterung nicht verwendet.

A.1 C++

An dieser Stelle werden wir den Quellcode für die Berechnung der Matrix A aus Kapitel 3 und 4 vorstellen.

A.1.1 mex_build_V.cpp

Diese Datei enthält die Implementierung für die Berechnung der Matrix A in MEX. Sie benötigt zum Kompilieren die Dateien `slpRectangle.hpp`, `slpRectangle.cpp` und `gauss.hpp`.

Innerhalb von MATLAB kann die Funktion aufgerufen werden mit

```
[A] = mex_build_V(coo, ele, zeta, typ);
```

Hierbei ist $coo \in \mathbb{R}^{M \times 3}$ die Koordinatenmatrix aus Kapitel 5.1 und $ele \in \mathbb{N}^{N \times 4}$ die zugehörige Elementmatrix, in der die Zeilenindizes der Koordinaten coo stehen. Eine Zeile der Koordinatenmatrix entspricht einer Koordinate und eine Zeile aus der Elementmatrix steht für die Indizes der Koordinaten eines Elements. Weiterhin steht $zeta = (p, \zeta_Q, \zeta_E)$ für den Koordinatenvektor. Mithilfe des Parameters $q \in \{0, 1, 2, 3, 4, 5\}$ kann die Anzahl 2^q der Auswertungsstellen für die Gauss-Quadratur gewählt werden. Die beiden Parameter $\zeta_Q, \zeta_E \in \mathbb{R}^+$ werden in den Zulässigkeitsbedingungen verwendet. Der Parameter $typ \in \{1, 2, 3\}$ steht für die Art der Berechnung aus Kapitel 5.3. Zurückgegeben wird die zur Parametrisierung gehörende Matrix $A \in \mathbb{R}^{N \times N}$.

```
29 /*
30  * wenn gesetzt wird, paralleles Rechnen benutzt
31  */
32 #define PARALLEL
33 #include <cmath>
34 #include <mex.h>
35
36 #ifndef PARALLEL
37 #include <omp.h>
38 #endif
39
40 #include "slpRectangle.hpp"
41
42 /*
43  * Gibt vom Vektor vec die Dimension != 0 zurueck
44  */
45 int inline dimOfVec(double* vec) {
46     if (vec[2] != 0)
47         return 2;
48     else if (vec[1] != 0)
```

```

49     return 1;
50 else if (vec[0] != 0)
51     return 0;
52 else {
53     mexErrMsgTxt("length of Site is zero");
54     return -1;
55 }
56 }
57
58 /*
59 * Gibt von [0 1 2] die fehlende Zahl zurueck
60 */
61 int inline dimOfThird(int a, int b) {
62     switch (a + b) {
63     case 1:
64         return 2;
65     case 2:
66         return 1;
67     case 3:
68         return 0;
69     default:
70         return -1;
71     }
72 }
73
74 /*
75 * addiert Vektor b zu Vektor a
76 */
77 void inline add(double* a, double* b) {
78     for (int i = 0; i < 3; ++i)
79         a[i] += b[i];
80 }
81
82 /*
83 * vergleicht zwei Vektoren a, b
84 */
85 bool inline iseq(double* a, double* b) {
86     for (int i = 0; i < 3; ++i)
87         if (a[i] != b[i])
88             return false;
89     return true;
90 }
91
92 /*
93 * vergleicht Vektor a mit Konstante b
94 */
95 bool inline iseq(double* a, double b) {
96     for (int i = 0; i < 3; ++i)
97         if (a[i] != b)
98             return false;
99     return true;
100 }
101
102 /*
103 * speichert die Summe der Vektoren a,b in Vektor c
104 */
105 void inline add(double* a, double* b, double* c) {
106     for (int i = 0; i < 3; ++i)
107         a[i] = b[i] + c[i];
108 }

```

```

109
110 /*
111  * subtrahiert Vektor b von Vektor a
112  */
113 void inline sub(double* a, double* b) {
114     for (int i = 0; i < 3; ++i)
115         a[i] -= b[i];
116 }
117
118 /*
119  * speichert die Differenz der Vektoren a,b in Vektor c
120  */
121 void inline sub(double* a, double* b, double* c) {
122     for (int i = 0; i < 3; ++i)
123         a[i] = b[i] - c[i];
124 }
125
126 /*
127  * speichert Vektor b in Vektor a
128  */
129 void inline set(double* a, double* b) {
130     for (int i = 0; i < 3; ++i)
131         a[i] = b[i];
132 }
133
134 /*
135  * setzt alle Werte in Vektor a auf Konstante b
136  */
137 void inline set(double* a, double b) {
138     for (int i = 0; i < 3; ++i)
139         a[i] = b;
140 }
141
142 /*
143  * speichert die kleinste Zeile von Matrix x in Vektor d
144  */
145 void inline getSCorner(double* d, double x[4][3]) {
146     set(d, x[0]);
147     for (int i = 1; i < 4; ++i) {
148         for (int j = 0; j < 3; ++j) {
149             if (d[j] > x[i][j])
150                 set(d, x[i]);
151             else if (d[j] < x[i][j])
152                 break;
153         }
154     }
155 }
156
157 /*
158  * berechnet den Abstand von zwei parallelen Elementen * 4Pi
159  */
160 double inline distT_par(double b, double d, double t, double v, double d1,
161     double d2, double d3, double * dummy) {
162     double dis1 = 0, dis2 = 0;
163
164     if (d1 < 0)
165         dis1 = -d1 - t;
166     else if (d1 > 0)
167         dis1 = d1 - b;
168     if (dis1 < 0)

```

```

169     dis1 = 0;
170
171     if (d2 < 0)
172         dis2 = -d2 - v;
173     else if (d2 > 0)
174         dis2 = d2 - d;
175     if (dis2 < 0)
176         dis2 = 0;
177
178     return sqrt(dis1 * dis1 + dis2 * dis2 + d3 * d3) * (4 * M_PI);
179 }
180
181 /*
182  * berechnet den Abstand von zwei orthogonalen Elementen * 4Pi
183  */
184 double inline distT_ort(double b, double d, double t, double v, double d1,
185     double d2, double d3, double * dummy) {
186     double dis1 = 0, dis2 = 0, dis3 = 0;
187     if (d1 < 0)
188         dis1 = -d1;
189     else
190         dis1 = d1 - b;
191     if (dis1 < 0)
192         dis1 = 0;
193
194     if (d2 < 0)
195         dis2 = -d2 - t;
196     else
197         dis2 = d2 - d;
198     if (dis2 < 0)
199         dis2 = 0;
200
201     if (d3 < 0)
202         dis3 = -d3 - v;
203     else
204         dis3 = d3;
205     if (dis3 < 0)
206         dis3 = 0;
207
208     return sqrt(dis1 * dis1 + dis2 * dis2 + dis3 * dis3) * (4 * M_PI);
209 }
210
211 /*
212  * mexFunktion zum Aufbauen der Galerkin Matrix
213  */
214 void mexFunction(int nlhs, mxArray *plhs[], int nrhs, const mxArray *prhs[]) {
215
216     int i, j, k; //Schleifenindizes
217     bool count = false;
218
219     /*
220     * Sicherheitsueberpruefung der Parameter
221     */
222     if ((nrhs != 4))
223         mexErrMsgTxt(
224             "erwarte (coordinates(Nx3), elements(Mx4), zeta(double), type(int))");
225     if (nlhs > 2 || nlhs == 0)
226         mexErrMsgTxt("Funktion hat maximal 2 Rueckgabewerte [A counts]");
227
228     int cm = mxGetM(prhs[0]);

```

```

229  int cn = mxGetN(prhs[0]);
230  if (cn != 3)
231      mexErrMsgTxt("erwarte Koordinatenmatrix im (Nx3) Format");
232
233  int em = mxGetM(prhs[1]);
234  int en = mxGetN(prhs[1]);
235  if (en != 4)
236      mexErrMsgTxt("erwarte Elementmatrix im (Mx4) Format");
237
238  /*
239   * Parameter fuer parallele Berechnung setzen
240   */
241  #ifndef PARALLEL
242  #define MINSIZE_PER_WORKER 3
243  #define MAX_WORKER 10
244
245  int actualNumberOfThreads = omp_get_max_threads();
246
247  if (MAX_WORKER < actualNumberOfThreads)
248      actualNumberOfThreads = MAX_WORKER;
249
250  int firstRow = 0, lastRow = -1;
251  int targetSize = em * (em + 1) / (2 * actualNumberOfThreads);
252
253  if (targetSize < MINSIZE_PER_WORKER) {
254      actualNumberOfThreads = (int) em * (em + 1) / (2 * MINSIZE_PER_WORKER);
255      if (actualNumberOfThreads < 1) {
256          actualNumberOfThreads = 1;
257          targetSize = em;
258      } else {
259          targetSize = MINSIZE_PER_WORKER;
260      }
261  }
262  #endif
263
264  /*
265   * Variablen initialisieren
266   */
267  plhs[0] = mxCreateDoubleMatrix(em, em, mxREAL);
268
269  double * A = mxGetPr(plhs[0]);
270  double * C = mxGetPr(prhs[0]);
271  double * E = mxGetPr(prhs[1]);
272  double * COUNT = NULL;
273
274  if(nlhs==2){
275      count = true;
276      plhs[1] = mxCreateDoubleMatrix(2, 2, mxREAL);
277      COUNT = mxGetPr(plhs[1]);
278  }
279
280  int type = (int) *(mxGetPr(prhs[3]));
281  double * zeta = { 0 };
282
283  if (mxGetN(prhs[2]) > 1)
284      zeta = mxGetPr(prhs[2]) + 1;
285
286  //setzen der Quadraturpunkte
287  int quad = (int) *mxGetPr(prhs[2]);
288  quad = setQuad(quad);

```

```

289
290 //Art der Berechnung bestimmen
291 double (*ctypeP)(double, double, double, double, double, double, double,
292 double*);
293 double (*ctypeO)(double, double, double, double, double, double, double,
294 double*);
295
296 switch (type) {
297 default: // voll analytisch
298     ctypeP = cPar01;
299     ctypeO = cOrt01;
300     break;
301 case 2: // analytisch oder Quadratur
302     ctypeP = cPar02;
303     ctypeO = cOrt02;
304     break;
305 case 3: // analytisch oder Quadratur oder Qy[1]x2
306     ctypeP = cPar03;
307     ctypeO = cOrt03;
308     break;
309 case 4: // analytisch oder Qy[1]x2
310     ctypeP = cPar04;
311     ctypeO = cOrt04;
312 //     ctypeO = cOrt02;
313     break;
314 case 0: // Distanz der Elemente
315     ctypeP = distT_par;
316     ctypeO = distT_ort;
317     break;
318 }
319
320 //Lageinformationen
321 int rx, rxa, rxb, ry, rya, ryb;
322 double tmp;
323 double x[4][3] = { { 0, 0, 0 }, { 0, 0, 0 }, { 0, 0, 0 }, { 0, 0, 0 } };
324 double y[4][3] = { { 0, 0, 0 }, { 0, 0, 0 }, { 0, 0, 0 }, { 0, 0, 0 } };
325 double xa[3] = { 0, 0, 0 };
326 double xb[3] = { 0, 0, 0 };
327 double ya[3] = { 0, 0, 0 };
328 double yb[3] = { 0, 0, 0 };
329 double d[3] = { 0, 0, 0 };
330
331 /*
332 * Schleife ueber Elemente initialisieren
333 */
334 #ifndef PARALLEL
335 {
336 #pragma omp parallel for schedule(static,1)
337     private(i, j, k, tmp, x, y, xa, xb, ya, yb, d, rx, rxa, rxb, ry, rya, ryb, lastRow, firstRow)
338     shared(C, E, ctypeO, ctypeP, em, targetSize, actualNumberOfThreads)
339
340     for (i = 0; i < actualNumberOfThreads; ++i) {
341         firstRow = (int) sqrt(2 * i * targetSize);
342         if (i == actualNumberOfThreads - 1) {
343             lastRow = em - 1;
344         } else {
345             lastRow = (int) sqrt(2 * (i + 1) * targetSize) - 1;
346         }
347
348         for (j = firstRow; j <= lastRow; ++j) {

```



```

347 #else
348     {
349         {
350             for (j = 0; j < em; ++i) {
351
352 #endif
353         // Eckdaten zwischenspeichern
354         x[0][0] = C[(int) E[j] - 1];
355         x[0][1] = C[cm + (int) E[j] - 1];
356         x[0][2] = C[2 * cm + (int) E[j] - 1];
357
358         x[1][0] = C[(int) E[em + j] - 1];
359         x[1][1] = C[cm + (int) E[em + j] - 1];
360         x[1][2] = C[2 * cm + (int) E[em + j] - 1];
361
362         x[2][0] = C[(int) E[2 * em + j] - 1];
363         x[2][1] = C[cm + (int) E[2 * em + j] - 1];
364         x[2][2] = C[2 * cm + (int) E[2 * em + j] - 1];
365
366         x[3][0] = C[(int) E[3 * em + j] - 1];
367         x[3][1] = C[cm + (int) E[3 * em + j] - 1];
368         x[3][2] = C[2 * cm + (int) E[3 * em + j] - 1];
369
370         // Seitenvektoren aufbauen
371         sub(xa, x[1], x[0]);
372         sub(xb, x[3], x[0]);
373
374         // Lageeigenschaften des Flaechenstuecks
375         rxa = dimOfVec(xa);
376         rxb = dimOfVec(xb);
377         rx = dimOfThird(rxa, rxb);
378
379         if (xa[rxa] <= 0 || xb[rxb] <= 0)
380             mexWarnMsgTxt("X Element hat Seitenlaengen <=0!");
381
382         if (rxa == rxb)
383             mexWarnMsgTxt("X Laenge ist nur in eine Richtung");
384
385         for (k = 0; k <= j; ++k) {
386
387             //Eckdaten zwischenspeichern
388             y[0][0] = C[(int) E[k] - 1];
389             y[0][1] = C[cm + (int) E[k] - 1];
390             y[0][2] = C[2 * cm + (int) E[k] - 1];
391
392             y[1][0] = C[(int) E[em + k] - 1];
393             y[1][1] = C[cm + (int) E[em + k] - 1];
394             y[1][2] = C[2 * cm + (int) E[em + k] - 1];
395
396             y[2][0] = C[(int) E[2 * em + k] - 1];
397             y[2][1] = C[cm + (int) E[2 * em + k] - 1];
398             y[2][2] = C[2 * cm + (int) E[2 * em + k] - 1];
399
400             y[3][0] = C[(int) E[3 * em + k] - 1];
401             y[3][1] = C[cm + (int) E[3 * em + k] - 1];
402             y[3][2] = C[2 * cm + (int) E[3 * em + k] - 1];
403
404             // Seiten Vektoren aufbauen
405             sub(ya, y[1], y[0]);
406             sub(yb, y[3], y[0]);

```

```

407
408 // Lageeigenschaften des Flaechenstuecks
409 rya = dimOfVec(ya);
410 ryb = dimOfVec(yb);
411 ry = dimOfThird(rya, ryb);
412
413 if (ya[rya] <= 0 || yb[ryb] <= 0)
414     mexWarnMsgTxt("Y Element hat Seitenlaengen <=0!");
415
416 if (rya == ryb)
417     mexWarnMsgTxt("Y Laenge ist nur in einer Richtung");
418
419 //delta berechnen
420 sub(d, y[0], x[0]);
421
422 /*
423  * Matrix Eintrag berechnen
424  */
425 if (rx == ry) {
426     if (rxa == rya) {
427         tmp = ctypeP((xa[rx], (xb[rx], (ya[rx],
428             (yb[rx], d[rx], d[rx], d[rx], zeta);
429
430     } else {
431         tmp = ctypeP((xa[rx], (xb[rx], (yb[rx],
432             (ya[rx], d[rx], d[rx], d[rx], zeta);
433     }
434
435 } else {
436
437     if (rxa == rya) {
438         tmp = ctypeO((xb[rx], (xa[rx], (ya[ry],
439             (yb[ry], d[rx], d[rx], d[rx], zeta);
440     } else if (rxa == ryb) {
441         tmp = ctypeO((xb[rx], (xa[rx], (yb[ry],
442             (ya[ry], d[rx], d[rx], d[rx], zeta);
443     } else if (rx == rya) {
444         tmp = ctypeO((xa[rx], (xb[rx], (ya[ry],
445             (yb[ry], d[rx], d[rx], d[rx], zeta);
446     } else {
447         tmp = ctypeO((xa[rx], (xb[rx], (yb[ry],
448             (ya[ry], d[rx], d[rx], d[rx], zeta);
449     }
450
451 }
452 #ifndef PARALLEL
453 #pragma omp critical
454 #endif
455
456 A[(k * em) + j] = 1. / (4 * M_PI) * tmp;
457 if (k != j)
458     A[(j * em) + k] = 1. / (4 * M_PI) * tmp;
459
460 #ifndef PARALLEL
461 #pragma omp end critical
462 #endif
463 }
464 }
465 }
466 }

```

```

467
468     return;
469 }

```

A.1.2 slpRectangle.hpp

Diese Datei stellt die Funktionen zur Berechnung eines Matrixeintrages A_{jk} bereit, welcher dann für parallele Elemente über

```
double cPar01(b,d,t,v,d1,d2,d3,zeta*);
```

berechnet werden kann. b, d entspricht den Seitenlängen des Elements T_j und t, v denen des Elements T_k und $\delta = (d_1, d_2, d_3)$ dem Abstandsvektor, wie in Kapitel 4.1. Hierbei ist zu beachten, dass b, t in der selben Dimension liegen, wie auch d_1 und wie auch d, v, d_2 in der selben Dimension liegen. Die Zulässigkeitsbedingungen werden durch $zeta^* = (\zeta_Q, \zeta_E)$ bestimmt. Für orthogonale Elemente steht analog die Funktion

```
double cOrt01(b,d,t,v,d1,d2,d3,zeta*);
```

zur Verfügung. Hier liegen jedoch, wie in Kapitel 4.1 für orthogonale Elemente vorgestellt, b, d_1 und d, t, d_2 und v, d_3 in jeweils der selben Dimension.

```

13 #ifndef HILBERT3D_LAPLACE_SLPRECTANGLE_HPP_GUARD_
14 #define HILBERT3D_LAPLACE_SLPRECTANGLE_HPP_GUARD_
15
16 /*
17  * voll analytisch rechnen
18  */
19 double cPar01(double, double, double, double, double, double, double, double, double*);
20 double cOrt01(double, double, double, double, double, double, double, double, double*);
21
22 /*
23  * volle Quadratur fuer zeta_Q zulaessige Elemente
24  * analytisch sonst
25  */
26 double cPar02(double, double, double, double, double, double, double, double, double*);
27 double cOrt02(double, double, double, double, double, double, double, double, double*);
28
29 /*
30  * Quadratur ueber ein Element fuer zeta_E zulaessige Elemente
31  * volle Quadratur fuer zeta_Q zulaessige Elemente
32  * analytisch sonst
33  */
34 double cPar03(double, double, double, double, double, double, double, double, double*);
35 double cOrt03(double, double, double, double, double, double, double, double, double*);
36
37 /*
38  * Quadratur ueber ein Element fuer zeta_E zulaessige Elemente
39  * analytisch sonst
40  */
41 double cPar04(double, double, double, double, double, double, double, double, double*);
42 double cOrt04(double, double, double, double, double, double, double, double, double*);
43
44 /*
45  * setzt die 2^Anzahl der Auswertungsstellen
46  */
47 int setQuad(int);
48
49 #endif

```

A.1.3 slpRectangle.cpp

Diese Datei implementiert die Funktionen aus slpRectangle.hpp. Hierzu wurden die vorgestellten Funktionen aus Kapitel 4 umgesetzt, wie auch die zugehörigen Quadraturen.

```
13 #include <math.h>
14
15 #include <mex.h>
16
17 #include "slpRectangle.hpp"
18 #include "gauss.hpp"
19
20 int GAUSS_size = GAUSS_SIZE[2];
21 gauss * GAUSS_nodes = GAUSS_NODES[2];
22
23
24
25 /*
26  * setzt den Quadraturgrad, also 2^q Auswertungsstellen
27  */
28 int setQuad(int q) {
29     GAUSS_size = GAUSS_SIZE[q];
30     GAUSS_nodes = GAUSS_NODES[q];
31     return GAUSS_size;
32 }
33
34 /*
35  * gibt das Signum von x zurueck
36  */
37 int inline sign(double x) {
38     return x > 0 ? 1 : (x < 0 ? -1 : 0);
39 }
40
41 /*
42  * gibt das Maximum der beiden Zahlen x,y zurueck
43  */
44 double inline max(double x, double y) {
45     return x < y ? y : x;
46 }
47
48 /*
49  * gibt das Minimum der beiden Zahlen x,y zurueck
50  */
51 double inline min(double x, double y) {
52     return x > y ? y : x;
53 }
54
55 /*
56  * kleinere Seiten nach vorn und dadurch kleinerer Durchmesser nach vorn
57  */
58 void inline switch_site_par(double& b, double& d, double& t, double& v,
59     double& d1, double& d2) {
60     double tmp = 0;
61
62     // kleine Seite nach vorn (x1 y1)
63     if (b > t) {
64         tmp = b;
65         b = t;
66         t = tmp;
67         d1 = -d1;
68     }
```

```

69
70 // kleine Seite nach vorn (x2 y2)
71 if (d > v) {
72     tmp = d;
73     d = v;
74     v = tmp;
75     d2 = -d2;
76 }
77 }
78
79 /*
80 * kleinere Seiten nach vorn und dadurch kleinerer Durchmesser nach vorn
81 */
82 void inline switch_site_ort(double& b, double& d, double& t, double& v,
83     double& d1, double& d2, double& d3) {
84     double tmp = 0;
85
86     // kleine Seite nach vorn (x2 y2)
87     if (d > t) {
88         tmp = d;
89         d = t;
90         t = tmp;
91         d2 = -d2;
92     }
93
94     // kleine Seite nach vorn (x1 y3)
95     if (b > v) {
96         tmp = b;
97         b = v;
98         v = tmp;
99         tmp = -d1;
100        d1 = -d3;
101        d3 = tmp;
102    }
103 }
104
105 /*
106 * kleinere Achse nach vorn
107 */
108 void inline switch_dim_par(double& b, double& d, double& t, double& v,
109     double& d1, double& d2) {
110     //
111     if (b * b + t * t > d * d + v * v) {
112         double tmp = 0;
113
114         tmp = b;
115         b = d;
116         d = tmp;
117         tmp = t;
118         t = v;
119         v = tmp;
120
121         tmp = d1;
122         d1 = d2;
123         d2 = tmp;
124     }
125 }
126
127 /*
128 * gibt den Abstand zum Quadrat zurueck

```

```

129  */
130  double inline dist2_par(double b, double d, double t, double v, double d1,
131      double d2, double d3) {
132      double dis1 = 0, dis2 = 0;
133      if (d1 < 0)
134          dis1 = -d1 - t;
135      else
136          dis1 = d1 - b;
137      if (dis1 < 0)
138          dis1 = 0;
139
140      if (d2 < 0)
141          dis2 = -d2 - v;
142      else
143          dis2 = d2 - d;
144      if (dis2 < 0)
145          dis2 = 0;
146
147      return dis1 * dis1 + dis2 * dis2 + d3 * d3;
148  }
149
150  /*
151   * gibt den Abstand zum Quadrat zurueck
152   */
153  double inline dist2_ort(double b, double d, double t, double v, double d1,
154      double d2, double d3) {
155      double dis1 = 0, dis2 = 0, dis3 = 0;
156      if (d1 < 0)
157          dis1 = -d1;
158      else
159          dis1 = d1 - b;
160      if (dis1 < 0)
161          dis1 = 0;
162
163      if (d2 < 0)
164          dis2 = -d2 - t;
165      else
166          dis2 = d2 - d;
167      if (dis2 < 0)
168          dis2 = 0;
169
170      if (d3 < 0)
171          dis3 = -d3 - v;
172      else
173          dis3 = d3;
174      if (dis3 < 0)
175          dis3 = 0;
176
177      return dis1 * dis1 + dis2 * dis2 + dis3 * dis3;
178  }
179
180  /*
181   * gibt den Abstand in einer Richtung zum Quadrat zurueck
182   */
183  double inline dist_s2(double b, double t, double d1) {
184      double dis1 = 0;
185      if (d1 < 0)
186          dis1 = -d1 - t;
187      else
188          dis1 = d1 - b;

```

```

189     if (dis1 < 0)
190         dis1 = 0;
191
192     return dis1 * dis1;
193 }
194
195 /*
196  * Kernfunktion 1 /|x-y|
197  */
198 double inline f_par(double x1, double x2, double y1, double y2, double d1,
199     double d2, double d3) {
200     return 1.
201         / sqrt(
202             (x1 - y1 - d1) * (x1 - y1 - d1)
203             + (x2 - y2 - d2) * (x2 - y2 - d2) + d3 * d3);
204 }
205 /*
206  * Kernfunktion 1 /|x-y|
207  */
208 double inline f_ort(double x1, double x2, double y2, double y3, double d1,
209     double d2, double d3) {
210     return 1.
211         / sqrt(
212             (x1 - d1) * (x1 - d1) + (x2 - y2 - d2) * (x2 - y2 - d2)
213             + (y3 + d3) * (y3 + d3));
214 }
215
216 /*
217  * 1 mal integrierte Kernfunktion int 1 /|x-y| dy (QUADRATUR)
218  */
219 double inline g_QY(double p, double y, double x, double l) {
220     double sol = 0;
221     for (int i = 0; i < GAUSS_size; ++i) {
222         sol += pow(
223             (x - GAUSS_nodes[i].n * y) * (x - GAUSS_nodes[i].n * y) + l * l,
224             p) * GAUSS_nodes[i].w * y;
225     }
226
227     return sol;
228 }
229
230 /*
231  * Stammfunktion g
232  * 1 mal integrierte Kernfunktion int 1 /|x-y| dy (ANALYTISCH)
233  */
234 double inline g_AY(double p, double y, double x, double l) {
235     double sol = 0;
236
237     if (l != 0) {
238         if (p == 0.5) {
239             sol = (y - x) / 2 * sqrt((y - x) * (y - x) + l * l)
240                 + l * l / 2 * asinh((y - x) / fabs(l));
241         } else if (p == 0)
242             sol = y - x;
243         else if (p == -0.5)
244             sol = asinh((y - x) / fabs(l));
245         else if (p == -1)
246             sol = atan((y - x) / fabs(l)) / fabs(l);
247         else if (p == -1.5)
248             sol = (y - x) / ((l * l) * sqrt((y - x) * (y - x) + l * l));

```

```

249     else
250         sol = (y - x) * pow((y - x) * (y - x) + 1 * 1, p)
251             + 2 * p * 1 * 1 * g_AY(p - 1, y, x, 1) / (2 * p + 1);
252     } else {
253         if (p == -0.5)
254             sol = sign(y - x) * log(fabs(y - x));
255         else
256             sol = (y - x) * pow(fabs(y - x), 2 * p) / (2 * p + 1);
257     }
258
259     return sol;
260 }
261
262 /*
263  * 2 mal integrierte Kernfunktion int int 1 /|x-y| dy_2 dy_1 (QUADRATUR)
264  */
265 double inline G_QY1Y2(double p, double y1, double y2, double x1, double x2,
266     double l) {
267
268     double sol = 0;
269     for (int i = 0; i < GAUSS_size; ++i) {
270         for (int j = 0; j < GAUSS_size; ++j) {
271             sol += pow(
272                 (x1 - y1 * GAUSS_nodes[i].n) * (x1 - y1 * GAUSS_nodes[i].n)
273                 + (x2 - y2 * GAUSS_nodes[j].n)
274                 * (x2 - y2 * GAUSS_nodes[j].n) + 1 * 1, p)
275                 * y1 * GAUSS_nodes[i].w * y2 * GAUSS_nodes[j].w;
276         }
277     }
278     return sol;
279 }
280
281 /*
282  * 2 mal integrierte Kernfunktion int int 1 /|x-y| dy_2 dx_2 (ANALYTISCH)
283  */
284 double inline G_AY2X2(double y1, double y2, double x1, double x2, double d3) {
285     double hlp = ((x1 - y1) * (x1 - y1) + (x2 - y2) * (x2 - y2) + d3 * d3);
286     double sol = sqrt(hlp);
287
288     if ((x2 - y2) != 0)
289         sol += (x2 - y2) * log(sqrt(hlp) - (x2 - y2));
290
291     return sol;
292 }
293
294 /*
295  * Stammfunktion G
296  * 2 mal integrierte Kernfunktion int int 1 /|x-y| dy_2 dy_1 (ANALYTISCH)
297  */
298 double inline G_AY1Y2(double p, double y1, double y2, double x1, double x2,
299     double l) {
300     double pt = p + 1.5;
301     double sol = 0;
302     if (pt == 0) {
303         if (l == 0) {
304             sol = -sqrt((y1 - x1) * (y1 - x1) + (y2 - x2) * (y2 - x2))
305                 / ((y1 - x1) * (y2 - x2));
306         } else {
307             sol = sign((y1 - x1) * (y2 - x2)) / (2 * fabs(l))
308                 * acos(

```



```

309         -2 * (y1 - x1) * (y1 - x1) * (y2 - x2) * (y2 - x2)
310         / (((y1 - x1) * (y1 - x1) + 1 * 1)
311           * ((y2 - x2) * (y2 - x2) + 1 * 1))
312         + 1);
313     }
314 } else if ((pt > 0) && ((int) pt == pt)) {
315     if (l != 0)
316         sol = 2 * p * l * l * G_AY1Y2(p - 1, y1, y2, x1, x2, l);
317     if ((y1 - x1) != 0)
318         sol += (y1 - x1)
319             * g_AY(p, y2, x2, sqrt((y1 - x1) * (y1 - x1) + 1 * 1));
320     if ((y2 - x2) != 0)
321         sol += (y2 - x2)
322             * g_AY(p, y1, x1, sqrt((y2 - x2) * (y2 - x2) + 1 * 1));
323     sol /= 2 * p + 2;
324 } else {
325     //Fall wird nicht benoetigt
326     sol = NAN;
327     mexWarnMsgTxt("G_AY1Y2 fuer Parameter nicht implementiert!");
328 }
329
330 return sol;
331 }
332
333 /*
334 * Stammfunktion F
335 * 4 mal integrierte Kernfunktion int int 1 /|x-y| dy dx (ANALYTISCH)
336 */
337 double inline F_par(double x1, double x2, double y1, double y2, double d1,
338                   double d2, double d3) {
339     double sol = (x1 - y1 - d1) * (x2 - y2 - d2);
340
341     if (sol != 0)
342         sol *= G_AY1Y2(-0.5, x1, x2, y1 + d1, y2 + d2, d3);
343
344     if ((x1 - y1 - d1) != 0)
345         sol -= (x1 - y1 - d1)
346             * g_AY(0.5, x1, y1 + d1,
347                 sqrt((x2 - y2 - d2) * (x2 - y2 - d2) + d3 * d3));
348
349     if ((x2 - y2 - d2) != 0)
350         sol -= (x2 - y2 - d2)
351             * g_AY(0.5, x2, y2 + d2,
352                 sqrt((x1 - y1 - d1) * (x1 - y1 - d1) + d3 * d3));
353
354     double hlp = ((x1 - y1 - d1) * (x1 - y1 - d1)
355                 + (x2 - y2 - d2) * (x2 - y2 - d2) + d3 * d3);
356     sol += 1. / 3 * hlp * sqrt(hlp);
357     return sol;
358 }
359
360 /*
361 * Stammfunktion F
362 * 4 mal integrierte Kernfunktion int int 1 /|x-y| dy dx (ANALYTISCH)
363 */
364 double inline F_ort(double x1, double x2, double y2, double y3, double d1,
365                   double d2, double d3) {
366     double sol = -G_AY1Y2(0.5, y3, x1, -d3, d1, x2 - y2 - d2);
367
368     if ((x1 - d1) * (x2 - y2 - d2) != 0)

```

```

369     sol -= (x1 - d1) * (x2 - y2 - d2)
370         * G_AY1Y2(-0.5, x2, y3, y2 + d2, -d3, x1 - d1);
371
372     if ((x1 - d1) != 0)
373         sol += (x1 - d1)
374             * g_AY(0.5, y3, -d3,
375                   sqrt(
376                       (x1 - d1) * (x1 - d1)
377                       + (x2 - y2 - d2) * (x2 - y2 - d2));
378
379     if ((y3 + d3) * (x2 - y2 - d2) != 0)
380         sol -= (y3 + d3) * (x2 - y2 - d2)
381             * G_AY1Y2(-0.5, x1, x2, d1, y2 + d2, -y3 - d3);
382
383     if ((y3 + d3) != 0)
384         sol += (y3 + d3)
385             * g_AY(0.5, x1, d1,
386                   sqrt(
387                       (x2 - y2 - d2) * (x2 - y2 - d2)
388                       + (y3 + d3) * (y3 + d3));
389
390     return sol / 2.;
391 }
392
393 /*
394  * Stammfunktion (fuer Quadratur)
395  * 2 mal integrierte Kernfunktion int int 1 /|x-y| dy_2 dy_1 (ANALYTISCH)
396  */
397 double inline FY1Y2_par(double x1, double x2, double y1, double y2, double d1,
398                       double d2, double d3) {
399     return G_AY1Y2(-0.5, y1, y2, x1 - d1, x2 - d2, d3);
400 }
401
402 /*
403  * Stammfunktion (fuer Quadratur)
404  * 2 mal integrierte Kernfunktion int int 1 /|x-y| dy_2 dy_3 (ANALYTISCH)
405  */
406 double inline FY2Y3_ort(double x1, double x2, double y2, double y3, double d1,
407                       double d2, double d3) {
408     return G_AY1Y2(-0.5, y2, y3, x2 - d2, -d3, x1 - d1);
409 }
410
411 /*
412  * Quadratur ueber zwei Integrale und Grenzen in Stammfunktion ueber zwei Integrale
413  * b,d - Grenzen fuer Quadratur
414  * t,v - Grenzen in Stammfunktion
415  */
416 template<double (F)(double, double, double, double, double, double, double, double)>
417 double intQ2A2(double b, double d, double t, double v, double d1, double d2,
418              double d3) {
419     double sol = 0;
420     double w1, x1, x2;
421
422     for (int i = 0; i < GAUSS_size; ++i) {
423         x1 = b * GAUSS_nodes[i].n;
424         w1 = GAUSS_nodes[i].w;
425         for (int j = 0; j < GAUSS_size; ++j) {
426             x2 = d * GAUSS_nodes[j].n;
427             sol += (F(x1, x2, t, v, d1, d2, d3) - F(x1, x2, 0, v, d1, d2, d3)
428                 - F(x1, x2, t, 0, d1, d2, d3) + F(x1, x2, 0, 0, d1, d2, d3))

```

```

429         * w1 * GAUSS_nodes[j].w;
430     }
431 }
432
433     return sol * b * d;
434 }
435
436 /*
437  * Quadratur ueber vier Integrale
438  * b,d,t,v - Grenzen fuer Quadratur
439  */
440 template<double (F)(double, double, double, double, double, double, double)>
441 double intQ4(double b, double d, double t, double v, double d1, double d2,
442             double d3) {
443
444     double sol = 0;
445     int i, j, k, l;
446     double x1, x2, y1;
447     double w1, w2, w3;
448
449     for (i = 0; i < GAUSS_size; ++i) {
450         x1 = b * GAUSS_nodes[i].n;
451         w1 = GAUSS_nodes[i].w;
452         for (j = 0; j < GAUSS_size; ++j) {
453             x2 = d * GAUSS_nodes[j].n;
454             w2 = w1 * GAUSS_nodes[j].w;
455             for (k = 0; k < GAUSS_size; ++k) {
456                 y1 = t * GAUSS_nodes[k].n;
457                 w3 = w2 * GAUSS_nodes[k].w;
458                 for (l = 0; l < GAUSS_size; ++l) {
459                     sol += F(x1, x2, y1, v * GAUSS_nodes[l].n, d1, d2, d3) * w3
460                          * GAUSS_nodes[l].w;
461                 }
462             }
463         }
464     }
465
466     return sol * b * d * t * v;
467 }
468
469 /*
470  * Grenzen in Stammfunktion ueber vier Integrale
471  * b,d,t,v - Grenzen fuer Stammfunktion
472  */
473 template<double (F)(double, double, double, double, double, double, double)>
474 double inline intA4(double b, double d, double t, double v, double d1,
475                   double d2, double d3) {
476
477     return F(b, d, t, v, d1, d2, d3) - F(b, d, t, 0, d1, d2, d3)
478        - F(b, d, 0, v, d1, d2, d3) + F(b, d, 0, 0, d1, d2, d3)
479        - F(b, 0, t, v, d1, d2, d3) + F(b, 0, t, 0, d1, d2, d3)
480        + F(b, 0, 0, v, d1, d2, d3) - F(b, 0, 0, 0, d1, d2, d3)
481        - F(0, d, t, v, d1, d2, d3) + F(0, d, t, 0, d1, d2, d3)
482        + F(0, d, 0, v, d1, d2, d3) - F(0, d, 0, 0, d1, d2, d3)
483        + F(0, 0, t, v, d1, d2, d3) - F(0, 0, t, 0, d1, d2, d3)
484        - F(0, 0, 0, v, d1, d2, d3) + F(0, 0, 0, 0, d1, d2, d3);
485
486 }
487
488 /*

```

```

489  * fuer parallele Elemente
490  * voll analytisch
491  */
492  double cPar01(double b, double d, double t, double v, double d1, double d2,
493             double d3, double* zeta) {
494      return intA4<F_par>(b, d, t, v, d1, d2, d3);
495  }
496  /*
497  * fuer orthogonale Elemente
498  * voll analytisch
499  */
500  double cOrt01(double b, double d, double t, double v, double d1, double d2,
501             double d3, double* zeta) {
502      return intA4<F_ort>(b, d, t, v, d1, d2, d3);
503  }
504
505  /*
506  * fuer parallele Elemente
507  * volle Quadratur fuer zeta_Q zulaessige Elemente
508  * analytisch sonst
509  */
510  double cPar02(double b, double d, double t, double v, double d1, double d2,
511             double d3, double* zeta) {
512      double tmp = 0;
513
514      //kurze Seite nach vorn
515      switch_site_par(b, d, t, v, d1, d2);
516
517      if (zeta[0] * zeta[0] * (t * t + v * v) < dist2_par(b, d, t, v, d1, d2, d3))
518          return intQ4<f_par>(b, d, t, v, d1, d2, d3);
519
520      return intA4<F_par>(b, d, t, v, d1, d2, d3);
521  }
522
523  /*
524  * fuer orthogonale Elemente
525  * volle Quadratur fuer zeta_Q zulaessige Elemente
526  * analytisch sonst
527  */
528  double cOrt02(double b, double d, double t, double v, double d1, double d2,
529             double d3, double* zeta) {
530      double tmp = 0, dis2 = 0;
531
532      //kurze Seite nach vorn
533      switch_site_ort(b, d, t, v, d1, d2, d3);
534
535      if (zeta[0] * zeta[0] * (t * t + v * v) < dist2_ort(b, d, t, v, d1, d2, d3))
536          return intQ4<f_ort>(b, d, t, v, d1, d2, d3);
537
538      return intA4<F_ort>(b, d, t, v, d1, d2, d3);
539  }
540
541  /*
542  * fuer parallele Elemente
543  * Quadratur ueber ein Element fuer zeta_E zulaessige Elemente
544  * volle Quadratur fuer zeta_Q zulaessige Elemente
545  * analytisch sonst
546  */
547  double cPar03(double b, double d, double t, double v, double d1, double d2,
548             double d3, double* zeta) {

```

```

549
550 //kurze Seite nach vorn
551 switch_site_par(b, d, t, v, d1, d2);
552
553 if (zeta[1] * zeta[1] * (b * b + d * d) < dist2_par(b, d, t, v, d1, d2, d3))
554     return intQ2A2<FY1Y2_par>(b, d, t, v, d1, d2, d3);
555
556 if (zeta[0] * zeta[0] * (t * t + v * v) < dist2_par(b, d, t, v, d1, d2, d3))
557     return intQ4<f_par>(b, d, t, v, d1, d2, d3);
558
559 return intA4<F_par>(b, d, t, v, d1, d2, d3);
560 }
561
562 /*
563  * fuer orthogonale Elemente
564  * Quadratur ueber ein Element fuer zeta_E zulaessige Elemente
565  * volle Quadratur fuer zeta_Q zulaessige Elemente
566  * analytisch sonst
567  */
568 double cOrtO3(double b, double d, double t, double v, double d1, double d2,
569              double d3, double* zeta) {
570     double tmp = 0, dis2 = 0;
571
572     //kurze Seite nach vorn
573     switch_site_ort(b, d, t, v, d1, d2, d3);
574
575     if (zeta[1] * zeta[1] * (b * b + d * d) < dist2_ort(b, d, t, v, d1, d2, d3))
576         return intQ2A2<FY2Y3_ort>(b, d, t, v, d1, d2, d3);
577
578     if (zeta[0] * zeta[0] * (t * t + v * v) < dist2_ort(b, d, t, v, d1, d2, d3))
579         return intQ4<f_ort>(b, d, t, v, d1, d2, d3);
580
581     return intA4<F_ort>(b, d, t, v, d1, d2, d3);
582 }
583
584 /*
585  * fuer parallele Elemente
586  * Quadratur ueber ein Element fuer zeta_E zulaessige Elemente
587  * analytisch sonst
588  */
589 double cParO4(double b, double d, double t, double v, double d1, double d2,
590              double d3, double* zeta) {
591
592     //kurze Seite nach vorn
593     switch_site_par(b, d, t, v, d1, d2);
594
595     if (zeta[1] * zeta[1] * (b * b + d * d) < dist2_par(b, d, t, v, d1, d2, d3))
596         return intQ2A2<FY1Y2_par>(b, d, t, v, d1, d2, d3);
597
598     return intA4<F_par>(b, d, t, v, d1, d2, d3);
599 }
600 /*
601  * fuer orthogonale Elemente
602  * Quadratur ueber ein Element fuer zeta_E zulaessige Elemente
603  * analytisch sonst
604  */
605 double cOrtO4(double b, double d, double t, double v, double d1, double d2,
606              double d3, double* zeta) {
607     double tmp = 0, dis2 = 0;
608

```

```

609 //kurze Seite nach vorn
610 switch_site_ort(b, d, t, v, d1, d2, d3);
611
612 if (zeta[1] * zeta[1] * (b * b + d * d) < dist2_ort(b, d, t, v, d1, d2, d3))
613     return intQ2A2<FY2Y3_ort>(b, d, t, v, d1, d2, d3);
614
615 return intA4<F_ort>(b, d, t, v, d1, d2, d3);
616 }

```

A.1.4 gauss.hpp

Diese Datei wurde automatisch von der MATLAB-Funktion `export_gauss.m` erstellt. Durch den Befehl

```
export_gauss(start, stop, steps, file);
```

wird die Datei `file` angelegt, welche dann in C++-verwendet werden kann. In ihr sind die Gauss-Quadraturpunkte und Gewichte für das Intervall $[start, stop]$ gespeichert. `steps` steht hierbei für einen Vektor, welcher die zur Verfügung stehenden Grade steuert.

In C++ kann die Quadratur dann wie im folgenden Beispiel mit Quadraturgrad 2^3 benutzt werden.

```

1 double sol;
2 for(int i=0; i<GAUSS_SIZE[3]; ++i)
3     sol += sin(GAUSS_NODES[3][i].n) * GAUSS_NODES[3][i].w;

```

Da die Datei fast nur Quadraturpunkte und Gewichte enthält, wollen wir hier nur den Anfang vorstellen.

```

26 #ifndef GAUSS_NODES_
27 #define GAUSS_NODES_
28
29 typedef struct _gauss {
30     double n;
31     double w;
32 } gauss;
33
34 double GAUSS_SIZE[] = { 1, 2, 4, 8, 16, 32 };
35
36 gauss GAUSS_NODES[][32] = {
37 {
38     { 0.5, 1 }},
39 {
40     { 0.211324865405187078959, 0.499999999999999888978 },
41     { 0.788675134594812865529, 0.499999999999999888978 }},

```

A.2 MATLAB

Hier wollen wir alle MATLAB-Funktionen für den adaptiven Algorithmus 6.5 vorstellen. Funktionen, die lediglich zum Erstellen von Grafiken und zum Testen dienen, werden wir hier nicht zeigen.

A.2.1 compute.m

Diese Funktion implementiert im Wesentlichen den Algorithmus 6.5. Nachdem das Startnetz aus der Datei `file` geladen wurde, werden $times \in \mathbb{N}$ Verfeinerungsschritte durchgeführt. Sollte $times$ größer als 40 sein, wird nicht nach 40 Schritten abgebrochen, sondern nachdem die Elementanzahl $times$ vom Netz \mathcal{T}_ℓ erreicht wurde. Die Berechnungsarten werden über den Vektor

$\text{typ} \in \{1, 2, 3, 4\}^n$ bestimmt. Hierbei werden in jedem Verfeinerungsschritt alle n Berechnungsarten aus typ auf dem selben Netz durchgeführt. zeta ist ein Array, welcher zu den n Berechnungsarten den entsprechenden $\zeta = (p, \zeta_Q, \zeta_E)$ Vektor enthält. Zum Steuern des Verfeinerungs-Algorithmus 2.8 dienen die Parameter $\text{theta}, \text{nu} \in [0, 1]$ und über den Parameter $\text{vcon} \in \{0, 1\}$ kann die Vorkonditionierung der A Matrix eingeschaltet werden. Das neue Netz $\mathcal{T}_{\ell+1}$ wird durch die letzte Berechnungsart bestimmt. Zurückgegeben wird die Matrix data , in der alle wichtigen Auswertungen gespeichert sind. Die folgende Zeile

```
compute('exmpl_2DQuad', 500, {[0 0 0] [3 2 2]}, [1 2], 0.5, 0.5, 0);
```

führt eine adaptiv anisotrope ($\theta = 0.5, \nu = 0.5$) voll analytische und volle Quadratur für $\zeta_Q = 2$ -zulässige Elemente, ($\text{typ}=[1 \ 2]$) Berechnung bis $\text{times}=500$ Elemente auf einem Quadrat durch. Hierbei wird eine Gauss-Quadratur vom Grad 8 verwendet, keine Vorkonditionierung und zum Markieren der zu verfeinernden Elemente die Galerkin-Lösung zum Typ „volle Quadratur“. Gelöst wird das Problem aus (6.4).

```
1 function [data er fileo] = compute(file,times,zeta,typ,theta,nu,vcon)

19 % Datei laden
20 load(file)
21
22 % Container fuer Messungen initialisieren
23 if(~exist('data','var'))
24     data=[];
25 end
26
27 kap3 = 0;
28
29 tic
30
31 %times mal verfeinern oder bis Elementanzahl fuer times > 40
32 for j = 1:times
33     %beende Schleife wenn Elementanzahl erreicht
34     if(times>40 && size(elements,1) > times)
35         break;
36     end
37
38     %altes Netz mit Loesung merken
39     if(exist('coo_fine','var'))
40         old_C_fine = coo_fine;
41         old_F_fine = f2s;
42         old_E_fine = ele_fine;
43         old_x_fine = x_fine;
44     end
45
46     %uniformIsotrop verfeinern
47     [coo_fine,ele_fine,neigh_fine,f2s,sit_fine]...
48     =refineQuad(coordinates,elements,neigh,sites,2);
49
50     %Flaecheninhalte berechnen (rhs)
51     b_fine = 2.^-sum(sit_fine,2);
52
53     b = 2.^-sum(sites,2);
54     hmin = 2.^-max(sites,[],2);
55     hmax = 2.^-min(sites,[],2);
56
57
58     %data -> Ergebnisvektor
59     dataS = size(elements,1);
60
```

```

61 %zeta vorbereiten
62 if(~iscell(zeta))
63     zeta_tmp = zeta;
64     clear zeta;
65     for i = 1:length(typ)
66         zeta{i} = zeta_tmp;
67     end
68 end
69
70 %alle MatrixBerechnungsarten mit dem selben Netz berechnen
71 for i = 1:length(typ)
72     start_time = toc;
73     disp([ '[' num2str(j) ', ' num2str(i) ' ] ' ...
74         num2str(size(elements,1)) ' : ' t2str(toc) ' ->' num2str(typ(i))])
75     %Matrix aufbauen -> MEX
76     V_fine = mex_build_V(coo_fine,ele_fine,zeta{i},typ(i));
77     build_time = toc;
78     %testet auf fehlerhafte Eintraege (NaN +/-Inf)
79     [r c] = find(isnan(V_fine)~=isinf(V_fine));
80     if(~isempty(r))
81         figure(9)
82         plotShape(coo_fine,ele_fine(unique([r c]),:),'')
83         plotMark([r';c'],coo_fine,ele_fine)
84         title('Fehlerhafte Elemente')
85     end
86
87     if(~vcon)
88         %Loesung berechnen
89         x_fine = V_fine\b_fine;
90
91     else
92         %Vorkonditionierte Loesung!
93         D = diag(V_fine).^(-1/2);
94         for k = 1:length(V_fine)
95             for l = 1:length(V_fine)
96                 V_fine(k,l) = V_fine(k,l)*D(k)*D(l);
97             end
98         end
99         c = D.*b_fine;
100        y = V_fine\c;
101        x_fine = D.*y;
102    end
103
104    solve_time = toc;
105
106    %Konditionszahl aufstellen
107    con = cond(V_fine);
108
109    clear V_fine
110
111    % \tilde{\mu} ( \rho h^{-h} + L_2 )
112    tmu = hmin.* b .* ...
113        sum((x_fine(f2s)'-repmat(sum(x_fine(f2s)',1)/4,4,1)).^2)'/4;
114
115    %Fehlerschaetzer 2 aufbauen
116    V = mex_build_V(coordinates,elements,zeta{i},typ(i));
117
118    if(~vcon)
119        x = V\b;
120    else

```



```

121     D = diag(V).^(-1/2);
122     for k = 1:length(V)
123         for l = 1:length(V)
124             V(k,l) = V(k,l)*D(k)*D(l);
125         end
126     end
127     c = D.*b;
128     y = V\c;
129     x = D.*y;
130 end
131
132 clear V
133
134 xo_fine(f2s) = repmat(x,1,4);
135 xd_fine = abs(xo_fine'-x_fine);
136
137 % \mu ( h/2 -h + L_2 )
138 mu = hmin.*b.*sum((x_fine(f2s)'-repmat(x',4,1)).^2)'/4;
139
140
141 %Energienorm^2 berechnen |||h||| & |||h/2|||
142 %     xe_fine = x_fine'*A_fine*x_fine;
143 xe_fine = b_fine'*x_fine;
144 %     xe = x'*A*x;
145 xe = b'*x;
146
147
148 %Enorm^2 Elementweise vergleichen
149 if(exist('old_F_fine','var'))
150     for k = 1:size(ele_fine,1)
151         e_f = find(sum(k==f2s,2));
152         e_f_p = find(f2s(e_f,:)==k);
153         assert(size(e_f_p,1)==1,'Error: e_f_p wurde mehrfach gefunden')
154         e_ff = find(sum(e_f==f,2));
155         e_ff_p = find(f(e_ff,:)==e_f);
156         assert(size(e_ff_p,1)==1,'Error: e_ff_p wurde mehrfach gefunden')
157         e_ff_s = length(e_ff_p);
158         if e_ff_s==4
159             e_p = e_f_p;
160         elseif e_ff_s == 1
161             e_p = e_ff_p;
162         elseif e_ff_s == 2
163             if(sum(e_ff_p) == 5)
164                 e_p = e_ff_p(floor((e_f_p-1)/2)+1);
165             else
166                 inh = [1 2 4 3];
167                 e_p = inh(e_ff_p(mod(floor((e_f_p)/2),2)+1));
168             end
169         end
170         xf_fine(k,1) = abs(x_fine(k) - old_x_fine(old_F_fine(e_ff,e_p)));
171     end
172
173     kap3 = b_fine'*(xf_fine);
174 end
175
176
177 %\tilde \mu 2 = ( ||\Pi h|| - ||h||)
178 tmu2 = hmin.* b.* (sum((x_fine(f2s)').^2)')...
179     -sum(repmat(sum(x_fine(f2s)',1)/4,4,1).^2)') /4;
180

```

```

181 % |||h/2 -h|||
182 % eta = xd_fine'*A_fine*xd_fine;
183 eta = abs(xe_fine-xe);
184
185 end_time = toc - start_time;
186 % disp(['Relative Zeit ' num2str(100*(build_time - start_time)/end_time)...
187 % '% absolute Zeit ' t2str(build_time - start_time)]);
188 time_build = build_time - start_time;
189 time_solve = solve_time - build_time;
190
191 dataS = [dataS ...
192 typ(i) ... berechnet mit Typ
193 sqrt(sum(tmu))... tilde mu
194 sqrt(eta) ... eta
195 xe ... error (kappa 2)
196 sqrt(sum(mu))... mu
197 min(hmin)/max(hmax)...
198 min(hmax)/max(hmax)...
199 min(hmin./hmax)...
200 con... Kondition
201 sqrt(sum(tmu2))... tilde mu 2
202 xe_fine... (kappa)
203 kap3 ... kappa 3
204 time_build ... benoetigte Zeit (Aufbauen)
205 time_solve ... benoetigte Zeit (Berechnen)
206 ];
207 end
208
209 % markieren mit gewaehlten Parametern
210 marked = mark(x_fine(f2s)', tmu, theta, nu);
211
212 % Netz bunt plotten!
213 % figure(1)
214 % plotShape(G_C, G_E, 's', tmu);
215 % title('Elemente mit Fehlerschaetzer')
216 % colorbar
217 % view(2)
218 % plotMark(find(marked>1), G_C, G_E);
219
220 assert(size(elements,1)==length(marked), ...
221 'Markierungsvektor ist fehlerhaft')
222
223 old_C = coordinates;
224 old_E = elements;
225 old_S = sites;
226
227 %Netz verfeinern, wie durch marked bestimmt
228 [coordinates, elements, neigh, f, sites, er]...
229 = refineQuad(coordinates, elements, neigh, sites, marked);
230
231 %Vater Sohn test
232 assert(sum(2.^-sum(old_S,2))==sum(2.^-sum(sites,2)), ...
233 'Gesamtinhalt Fehlerhaft')
234
235 e = 0;
236 for k = 1:size(data,1)
237 e = e + abs(2.^-sum(old_S(k,:))...
238 - sum(2.^-sum(sites(unique(f(k,:))',:),2)));
239 end
240 assert(e==0, 'Einzelne Inhalte Fehlerhaft')

```

```

241
242 % Fehlerhafte Elemente Plotten
243 %   if(~isempty(er))
244 %       figure(10)
245 %       plotShape(G_C,G_E,'');
246 %       plotMark(er,G_C,G_E);
247 %   end
248
249 p1 = find(file=='/',1,'last')+1;
250 if isempty(p1)
251     p1=1;
252 end
253
254 p2 = find(file(p1:end)=='_',2)+p1;
255 if length(p2)<2
256     p2(2) = length(file);
257 else
258     p2(2) = p2(2) -2;
259 end
260
261 %ErgebnisWerte speichern
262 data(size(data,1)+1,1:length(dataS)) = dataS;
263 typeN = int2str(typ);
264 fileo = [typeN(typeN~' ')...
265     't' regexprep(num2str(theta,2),'\.','')...
266     'n' regexprep(num2str(nu,2),'\.','') '_'...
267     file(p2(1):p2(2)) '_'];
268 save(['meshSave/' fileo int2str(size(data,1))]'...
269     , 'coordinates', 'elements','neigh','data', 'sites')
270
271 end
272 end
273
274
275 function str = t2str(time)
276     type = 's';
277
278     if(time/60>1)
279         time = time/60;
280         type = 'm';
281
282         if(time/60>1)
283             time = time/60;
284             type = 'h';
285         end
286     end
287
288 str = [num2str(round(time*1000)/1000) type];
289 end

```

A.2.2 refineQuad.m

Diese Funktion implementiert den Verfeinern-Algorithmus 2.8. Übergeben werden vom Netz \mathcal{T}_ℓ , die Koordinatenmatrix $\text{coordinates} \in \mathbb{R}^{M \times 3}$, die Elementmatrix $\text{elements} \in \{1, \dots, M\}^{N \times 4}$, die Nachbarschaftsrelationen $\text{neigh} \in \{0, 1, \dots, N\}^{N \times 8}$. Weiterhin wird auch die Seitenmatrix $\text{sites} \in \mathbb{N}^{N \times 2}$ übergeben. Die j te Zeile (a_j, b_j) entspricht der Anzahl der Halbierungen der Seitenlängen a, b vom Element T_j , gelten muss hierbei $a = 2^{-a_j}$ und $b = 2^{-b_j}$. Außerdem entspricht $\text{typ} \in \{1, \dots, 5\}^N$ der Markierung. Bei der Rückgabe des verfeinerten Netzes $\tilde{\mathcal{T}}_\ell$

werden zusätzlich die VaterSohn-Beziehungen f2s zurückgegeben.

```
1 function [coo,ele,nei,f2s,sit,err] =  
    refineQuad(coordinates,elements,neigh,sites,typ)  
  
18 err = [];  
19  
20 %Type: wenn nur ein Wert: aufblaehen  
21 if([1 1] == size(typ))  
22     typ = repmat(typ, size(elements,1),1);  
23 end  
24  
25 assert(size(elements,1)==size(neigh,1)&&size(elements,1)==length(typ),...  
26     'Dimensionen passen nicht');  
27  
28  
29 %Globale Variablen aufbauen  
30 global G_ref_E;  
31 global G_ref_C;  
32 global G_ref_N;  
33 global G_ref_S;  
34 global G_ref_f2s; %finale Beziehung (VaterSohn)  
35 global G_ref_t; %wie soll verfeinert werden  
36 global G_ref_tD; %wie wurde bereits verfeinert (in diesem Durchlauf)  
37 global G_ref_f2sT; %temporaere Beziehung  
38  
39 %INTERNE globale Variablen zuweisen  
40 G_ref_E = elements;  
41 G_ref_C = coordinates;  
42 G_ref_N = neigh;  
43 G_ref_S = sites;  
44 G_ref_t = typ;  
45 G_ref_f2s = repmat((1:size(elements,1))',1,4);  
46 G_ref_tD = ones(size(elements,1),1);  
47  
48 %Parameter freigeben (Speicher...)  
49 clear elements coordinates neigh typ  
50  
51 % figure(11)  
52 % plotShape(G_ref_C,G_ref_E,'s',G_ref_t);  
53 % view(2)  
54 % colorbar  
55 % title('zuVerfeinern')  
56  
57 ref_old = [];  
58 ref_old2 = [];  
59  
60 %jedes Element verfeinern  
61 while(1==1)  
62     %jeden vierten 2er durch schrittweise Verfeinerung (5) ersetzen  
63     t_ref=find(G_ref_t==2);  
64     G_ref_t(t_ref(2:4:end)) = 5;  
65  
66     %welche Elemente muessen bearbeitet werden  
67     ref = find(G_ref_t>1);  
68     ref = reshape(ref,1,length(ref));  
69  
70     %muss noch weiter Verfeinert werden?  
71     if(isequal(ref,ref_old))  
72         assert(~isequal(ref_old2,G_ref_t,'Markierte sind verschieden'));  
73         break;
```

```

74 end
75 ref_old = ref;
76 ref_old2 = G_ref_t;
77 if isempty(ref)
78     break;
79 end
80
81 % Elementweise bearbeiten
82 for ele = ref % ref(randperm(length(ref)))
83
84     % HangingNode Check
85     Nt = find(G_ref_N(ele,5:8)==0);
86     N = G_ref_N(ele,Nt);
87     N2t = find(N~=0);
88     N2 = N(N2t); %Nachbarn der Kanten mit nur einem Nachbar
89     N2tt = Nt(N2t); %Kante mit Nachbar ^
90
91     % Nur Nachbarn verfeinern an Kanten die geteilt werden
92     if(G_ref_t(ele)==3 || G_ref_t(ele)==5)
93         N2 = N2(mod(N2tt,2)==0);
94     elseif(G_ref_t(ele)==4)
95         N2 = N2(mod(N2tt,2)==1);
96     end
97
98     %hat noch zu teilende Nachbarn?
99     if(~isempty(N2))
100         N3t = mod(find((G_ref_N(N2',:)==ele)')-1,4)+1; %Nachbarseiten
101         N4t = find(diag(G_ref_N(N2',(N3t + 4)'))~=0)'; %Nachbarn mit 2Nachbarn
102         if(~isempty(N4t))
103             for i = N4t %Elemente die noch verfeinert werden muessen
104                 assert(G_ref_tD(N2(i))~=2,'Element wurde schon voll verfeinert')
105
106
107                 %Element ist schon markiert
108                 if(G_ref_t(N2(i)) == 2 || G_ref_t(N2(i)) ==5)
109                     continue;
110                 end
111
112                 %Wie muss das Element verfeinert werden.
113                 if(G_ref_tD(N2(i)) ~= 1)
114                     assert(G_ref_tD(N2(i))~=mod(N3t(i),2)+3,...
115                             'Element wurde in der Richtung schon verfeinert')
116                     G_ref_t(N2(i)) = mod(N3t(i),2)+3;
117                 elseif(G_ref_t(N2(i)) == 1)
118                     G_ref_t(N2(i))=mod(N3t(i),2)+3;
119                 elseif(G_ref_t(N2(i)) == mod(N3t(i)+1,2)+3)
120                     G_ref_t(N2(i)) = 2;
121                 end
122             end
123
124
125             % Da Nachbarn noch verfeinert werden muessen, erst mal weiter
126             continue;
127         end
128     end
129
130     % Wenn alle Ueberpruefungen durchgelaufen sind
131     assert(G_ref_tD(ele)~=2,'Element ist schon verfeinert')
132     assert(G_ref_t(ele)>1,'Element ist nicht Markiert')
133     G_ref_f2sT = ones(1,4)*ele;

```

```

134     refineE(ele); %Element teilen
135     updateN(ele); %Nachbarn des Elements aktualisieren
136     updateF2S(ele); %VaterSohn Relation setzen
137     end
138 end
139
140 %Rueckgabe zuweisen
141 coo = G_ref_C;
142 ele = G_ref_E;
143 nei = G_ref_N;
144 f2s = G_ref_f2s;
145 sit = G_ref_S;
146
147 %doppelte Koordinaten loeschen
148 [coo , ~, pos] = unique(coo,'rows');
149 pos = pos';
150 ele = pos(ele);
151
152 %INTERNE globale Variablen freigeben
153 clear G_ref_E G_ref_C G_ref_N G_ref_f2s G_ref_t G_ref_tD G_ref_s
154 end
155
156 %% Element verfeinern ! sollte nur ausgefuehrt werden wenn wirklich moeglich
157 function refineE(ele)
158 % Element wird gnadenlos Verfeinert
159
160 global G_ref_E;
161 global G_ref_C;
162 global G_ref_S;
163 global G_ref_f2sT;
164 global G_ref_t;
165
166     c_ele = size(G_ref_E,1);
167     c_coo = size(G_ref_C,1);
168
169
170     el = G_ref_E(ele,:);
171     if(G_ref_t(ele)==2)
172         G_ref_C(c_coo+1,:) = (G_ref_C(el(1),:)+G_ref_C(el(2),:))/2;
173         G_ref_C(c_coo+2,:) = (G_ref_C(el(2),:)+G_ref_C(el(3),:))/2;
174         G_ref_C(c_coo+3,:) = (G_ref_C(el(3),:)+G_ref_C(el(4),:))/2;
175         G_ref_C(c_coo+4,:) = (G_ref_C(el(1),:)+G_ref_C(el(4),:))/2;
176         G_ref_C(c_coo+5,:) = (G_ref_C(el(1),:)+G_ref_C(el(3),:))/2;
177
178         G_ref_E(ele,:) = [c_coo+4,c_coo+5,c_coo+3,el(4)];
179         G_ref_E(c_ele+1,:) = [c_coo+5,c_coo+2,el(3),c_coo+3];
180         G_ref_E(c_ele+2,:) = [c_coo+1,el(2),c_coo+2,c_coo+5];
181         G_ref_E(c_ele+3,:) = [el(1),c_coo+1,c_coo+5,c_coo+4];
182
183         G_ref_S([ele (c_ele+1):(c_ele+3)]',:) = repmat(G_ref_S(ele,:)+[1 1],4,1);
184
185         G_ref_f2sT(1:3)=c_ele+3:-1:c_ele+1;
186     elseif(G_ref_t(ele)==3||G_ref_t(ele)==5)
187         G_ref_C(c_coo+1,:) = (G_ref_C(el(1),:)+G_ref_C(el(4),:))/2;
188         G_ref_C(c_coo+2,:) = (G_ref_C(el(2),:)+G_ref_C(el(3),:))/2;
189
190         G_ref_E(ele,1) = c_coo+1;
191         G_ref_E(ele,2) = c_coo+2;
192         G_ref_E(c_ele+1,:) = [el(1),el(2),c_coo+2,c_coo+1];
193

```

```

194     G_ref_S([ele (c_ele+1)]', :) = repmat(G_ref_S(ele, :)+[0 1], 2, 1);
195
196     G_ref_f2sT([1 2])=c_ele+1;
197     elseif(G_ref_t(ele)==4)
198         G_ref_C(c_coo+1, :) = (G_ref_C(el(1), :)+G_ref_C(el(2), :))/2;
199         G_ref_C(c_coo+2, :) = (G_ref_C(el(4), :)+G_ref_C(el(3), :))/2;
200
201         G_ref_E(ele, 2) = c_coo+1;
202         G_ref_E(ele, 3) = c_coo+2;
203         G_ref_E(c_ele+1, :) = [c_coo+1, el(2), el(3), c_coo+2];
204
205         G_ref_S([ele (c_ele+1)]', :) = repmat(G_ref_S(ele, :)+[1 0], 2, 1);
206
207         G_ref_f2sT([2 3])=c_ele+1;
208     end
209 end
210
211 %% Aktualisieren der Nachbarn ! sollte nur ausgefuehrt werden wenn wirklich
212    moeglich
213 function updateN(ele)
214 % Nachbarschaften werden neu gesetzt (nach N und f2s)
215
216 global G_ref_E;
217 global G_ref_N;
218 global G_ref_f2sT;
219 global G_ref_t;
220
221 this = G_ref_N(ele, :);
222 %an welchen Kanten habe ich Nachbarn
223 S = find(mod((this(1:4)~=0).* (this(5:8)==0), 2))'; %einen Nachbar (Single)
224 D = find(this(5:8)~=0)'; %zwei Nachbarn (Double)
225
226 %an welchen Kanten bin ich Nachbar
227 MSt = mod(find((G_ref_N(this(S), :)==ele)')-1, 8)+1;
228 MS = mod(MSt-1, 4)+1; % (Single) %OHNE MOD????
229 MD = mod(find((G_ref_N(this([D D+4]), :)==ele)')-1, 4)+1;
230 MD = reshape(MD, length(MD)/2, 2); % (Double)
231
232 G_ref_N(G_ref_f2sT, 1:8) = 0;
233
234 if(G_ref_t(ele)==3||G_ref_t(ele)==5)
235     G_ref_N(G_ref_f2sT([1 3]'), 1:4) = [ 0 0 G_ref_f2sT(3) 0;G_ref_f2sT(1) 0 0 0];
236     %Innere Beziehung
237
238     % Beziehungen fuer Kanten mit einem Nachbar
239     for i = 1:length(S)
240         if(mod(S(i), 2)==0)
241             G_ref_N(this(S(i), [MS(i) MS(i)+4]) = [G_ref_f2sT(S(i))
242                 G_ref_f2sT(mod(S(i), 4)+1)]);
243             G_ref_N([G_ref_f2sT(S(i)) G_ref_f2sT(mod(S(i), 4)+1)]', S(i))=this(S(i));
244         else
245             G_ref_N(this(S(i), MSt(i)) = G_ref_f2sT(S(i));
246             G_ref_N(G_ref_f2sT(S(i)), S(i)) = this(S(i));
247         end
248     end
249
250 % Beziehungen fuer Kanten mit zwei Nachbarn
251 for i = 1:length(D)
252     if(mod(D(i), 2)==0)

```

```

251     if(length(unique([G_ref_E(this(D(i)), :) G_ref_E(G_ref_f2sT(D(i)), :)])) == 7)
252         G_ref_N(this(D(i)), MD(i,1)) = G_ref_f2sT(D(i));
253         G_ref_N(this(D(i)+4), MD(i,2)) = G_ref_f2sT(mod(D(i),4)+1);
254         G_ref_N(G_ref_f2sT(D(i)), D(i)) = this(D(i));
255         G_ref_N(G_ref_f2sT(mod(D(i),4)+1), D(i)) = this(D(i)+4);
256     else
257         G_ref_N(this(D(i)), MD(i,1)) = G_ref_f2sT(mod(D(i),4)+1);
258         G_ref_N(this(D(i)+4), MD(i,2)) = G_ref_f2sT(D(i));
259         G_ref_N(G_ref_f2sT(D(i)), D(i)) = this(D(i)+4);
260         G_ref_N(G_ref_f2sT(mod(D(i),4)+1), D(i)) = this(D(i));
261     end
262     else
263         G_ref_N(this(D(i)), MD(i,1)) = G_ref_f2sT(D(i));
264         G_ref_N(this(D(i)+4), MD(i,2)) = G_ref_f2sT(D(i));
265         G_ref_N(G_ref_f2sT(D(i)), [D(i) D(i)+4]) = [this(D(i)) this(D(i)+4)];
266     end
267 end
268
269 elseif(G_ref_t(ele) == 4)
270     G_ref_N(G_ref_f2sT([1 2])', 1:4) = [ 0 G_ref_f2sT(2) 0 0; 0 0 0 G_ref_f2sT(1)];
271     % Beziehungen fuer Kanten mit einem Nachbar
272     for i = 1:length(S)
273         if(mod(S(i),2) == 1)
274             G_ref_N(this(S(i)), [MS(i) MS(i)+4]) = [G_ref_f2sT(S(i))
275                 G_ref_f2sT(mod(S(i),4)+1)];
276             G_ref_N([G_ref_f2sT(S(i)) G_ref_f2sT(mod(S(i),4)+1)]', S(i)) = this(S(i));
277         else
278             G_ref_N(this(S(i)), MSt(i)) = G_ref_f2sT(S(i));
279             G_ref_N(G_ref_f2sT(S(i)), S(i)) = this(S(i));
280         end
281     end
282
283     % Beziehungen fuer Kanten mit zwei Nachbarn
284     for i = 1:length(D)
285         if(mod(D(i),2) == 1)
286             if(length(unique([G_ref_E(this(D(i)), :) G_ref_E(G_ref_f2sT(D(i)), :)])) == 7)
287                 G_ref_N(this(D(i)), MD(i,1)) = G_ref_f2sT(D(i));
288                 G_ref_N(this(D(i)+4), MD(i,2)) = G_ref_f2sT(mod(D(i),4)+1);
289                 G_ref_N(G_ref_f2sT(D(i)), D(i)) = this(D(i));
290                 G_ref_N(G_ref_f2sT(mod(D(i),4)+1), D(i)) = this(D(i)+4);
291             else
292                 G_ref_N(this(D(i)), MD(i,1)) = G_ref_f2sT(mod(D(i),4)+1);
293                 G_ref_N(this(D(i)+4), MD(i,2)) = G_ref_f2sT(D(i));
294                 G_ref_N(G_ref_f2sT(D(i)), D(i)) = this(D(i)+4);
295                 G_ref_N(G_ref_f2sT(mod(D(i),4)+1), D(i)) = this(D(i));
296             end
297             else
298                 G_ref_N(this(D(i)), MD(i,1)) = G_ref_f2sT(D(i));
299                 G_ref_N(this(D(i)+4), MD(i,2)) = G_ref_f2sT(D(i));
300                 G_ref_N(G_ref_f2sT(D(i)), [D(i) D(i)+4]) = [this(D(i)) this(D(i)+4)];
301             end
302         end
303
304     elseif(G_ref_t(ele) == 2)
305         G_ref_N(G_ref_f2sT', 1:4) = [0 G_ref_f2sT(2) G_ref_f2sT(4) 0; 0 0 G_ref_f2sT(3)
306             G_ref_f2sT(1); ...
307             G_ref_f2sT(2) 0 0 G_ref_f2sT(4); G_ref_f2sT(1)
308             G_ref_f2sT(3) 0 0];
309
310     % Beziehungen fuer Kanten mit einem Nachbar

```



```

308     for i = 1:length(S)
309         G_ref_N(this(S(i)), [MS(i) MS(i)+4]) = [G_ref_f2sT(S(i))
310             G_ref_f2sT(mod(S(i), 4)+1)];
311         G_ref_N([G_ref_f2sT(S(i)) G_ref_f2sT(mod(S(i), 4)+1)]', S(i))=this(S(i));
312     end
313
314     % Beziehungen fuer Kanten mit zwei Nachbarn
315     for i = 1:length(D)
316         if(length(unique([G_ref_E(this(D(i)), :) G_ref_E(G_ref_f2sT(D(i)), :)])) == 7)
317             G_ref_N(this(D(i)), MD(i, 1)) = G_ref_f2sT(D(i));
318             G_ref_N(this(D(i)+4), MD(i, 2)) = G_ref_f2sT(mod(D(i), 4)+1);
319             G_ref_N(G_ref_f2sT(D(i)), D(i)) = this(D(i));
320             G_ref_N(G_ref_f2sT(mod(D(i), 4)+1), D(i)) = this(D(i)+4);
321         else
322             G_ref_N(this(D(i)), MD(i, 1)) = G_ref_f2sT(mod(D(i), 4)+1);
323             G_ref_N(this(D(i)+4), MD(i, 2)) = G_ref_f2sT(D(i));
324             G_ref_N(G_ref_f2sT(D(i)), D(i)) = this(D(i)+4);
325             G_ref_N(G_ref_f2sT(mod(D(i), 4)+1), D(i)) = this(D(i));
326         end
327     end
328
329 end
330
331
332 %% aktualisieren der VaterSohn Beziehung ! sollte nur ausgefuehrt werden wenn
333     wirklich moeglich
334 function updateF2S(ele)
335 %VaterSohn Beziehungen richtig Setzen
336     global G_ref_f2s;
337     global G_ref_f2sT;
338     global G_ref_t;
339     global G_ref_tD;
340
341     if(G_ref_tD(ele)==1) %wenn Element zum ersten Mal verfeinert wird
342         G_ref_f2s(ele, :) = G_ref_f2sT;
343         if(G_ref_t(ele)<5)
344             G_ref_tD(G_ref_f2sT) = G_ref_t(ele);
345             G_ref_t(G_ref_f2sT) = 0;
346         else %Element muss noch mal geteilt werden
347             G_ref_tD(G_ref_f2sT) = 3;
348             G_ref_t(G_ref_f2sT) = 4;
349         end
350     else %wenn Element zum zweiten Mal verfeinert wird
351         G_ref_tD(G_ref_f2sT) = 2;
352         org=floor((find(G_ref_f2s'==ele, 1)-1)/4)+1;
353         pos=find(G_ref_f2s(org, :)==ele, 1);
354
355         if(G_ref_t(ele)==3)
356             if(pos==1)
357                 G_ref_f2s(org, [1 4]) = G_ref_f2sT([1 3]);
358             else
359                 G_ref_f2s(org, [2 3]) = G_ref_f2sT([3 1]);
360             end
361         else
362             if(pos==1)
363                 G_ref_f2s(org, [1 2]) = G_ref_f2sT([1 2]);
364             else
365                 G_ref_f2s(org, [3 4]) = G_ref_f2sT([2 1]);
366             end
367         end
368     end

```

```

366         end
367         G_ref_t(G_ref_f2sT) = 0;
368     end
369 end

```

A.2.3 mark.m

Diese Funktion implementiert die Definition 6.3. Die Funktion wird mit der Matrix $xF2S$, dem Fehlerschätzer $\tilde{\mu}$ und den beiden Parametern θ, ν aufgerufen. Hierbei seien die Einträge der Matrix $xF2S \in \mathbb{R}^{N \times 4}$ geben durch $(xF2S)_{ij} = \langle \hat{\phi}_\ell, \chi_{(F2S_{ij})} \rangle$, wobei $F2S \in \mathbb{N}^{N \times 4}$ die Matrix der VaterSohn-Relationen und $\hat{\phi}_\ell$ die Galerkin-Lösung zum \hat{T}_ℓ Netz ist. Zurückgeben wird der Markierungsvektor $marked \in \{1, 2, 3, 4\}^N$.

```

1  function REF = mark(xF2S, ind, theta, nu)

9  if(size(xF2S,1)==1)
10     xF2S = xF2S';
11  end
12
13  T4 = [1 1 1 1; 1 -1 1 -1; 1 1 -1 -1; 1 -1 -1 1]/4;
14
15  REF=ones(1,size(xF2S,2));
16  t1=zeros(1,size(xF2S,2));
17  t3 =0; t4 = 0;
18
19  Ct = T4*xF2S;
20
21  %% muss ueberhaupt verfeinert werden (welche sollen nicht verfeinert werden)
22  if(theta <1)
23     [s_ind idx] = sort(ind,'descend');
24
25     sum_ind = cumsum(s_ind,1);
26
27     ell = find(sum_ind >= sum_ind(end) * theta,1);
28
29     %Symmetrisieren
30     ell = ell + find(abs((sum_ind(ell)-sum_ind(ell:end)))/sum_ind(ell)>10^-2,1);
31
32     t1(idx(ell+1:end)) = 1;    % Nicht verfeinern
33  end
34
35
36  %% wie muss verfeinert werden
37  if(nu > 0) % Horizontal oder Vertikal
38     t3 = (nu*abs(Ct(3,:)) >= sqrt(Ct(2,:).^2+Ct(4,:).^2));
39     REF(t3-t1==1) = 3;
40     t4 = (nu*abs(Ct(4,:)) >= sqrt(Ct(2,:).^2+Ct(3,:).^2));
41     REF(t4-t1==1) = 4;
42  end
43  REF(~(t4+t3+t1)) = 2;    % Rest wird horizontal UND vertikal geteilt
44
45
46  end

```

Literatur

- [1] BÖRM, S. und L. GRASEDYCK: *Low-Rank Approximation of Integral Operators by Interpolation*. Computing, 72:325–332, 2004.
- [2] DÖRFLER, W.: *A Convergent Adaptive Algorithm for Poisson's Equation*. SIAM Journal on Numerical Analysis, 33(3):1106–1124, 1996.
- [3] FERRAZ-LEITE, S. und D. PRAETORIUS: *Simple a posteriori error estimators for the h-version of the boundary element method*. Computing, 83(4):135–162, 2008.
- [4] MAISCHAK, M.: *The analytical computation of the Galerkin elements for the Laplace, Lamé and Helmholtz equation in 3D-BEM*. Techn. Ber., Institut für Angewandte Mthematik, University of Hannover, Juli 2000.
- [5] PLATO, R.: *Numerische Mathematik kompakt*. Vieweg Verlag, 2006.
- [6] PRAETORIUS, D.: *Hierarchische Matrizen und Fast Multipole Method*. 2009.
- [7] STEINBACH, O.: *Numerische Näherungsverfahren für elliptische Randwertprobleme*. Teubner & Springer Vieweg, 2003.